

МІНІСТЕРСТВО ОСВІТИ І НАУКИ УКРАЇНИ
ДОНЕЦЬКИЙ НАЦІОНАЛЬНИЙ ТЕХНІЧНИЙ УНІВЕРСИТЕТ

МЕТОДИЧНІ ВКАЗІВКИ

до курсового проекту з курсу "Архітектура комп'ютерів" для
студентів спеціальностей "Комп'ютерні системи і мережі" і "Системне
програмування" денної і заочної форм навчання

Донецьк ДНТУ 2006

МІНІСТЕРСТВО ОСВІТИ І НАУКИ УКРАЇНИ
ДОНЕЦЬКИЙ НАЦІОНАЛЬНИЙ ТЕХНІЧНИЙ УНІВЕРСИТЕТ

МЕТОДИЧНІ ВКАЗІВКИ

до курсового проекту з курсу "Архітектура комп'ютерів"
для студентів спеціальностей "Комп'ютерні системи і мережі" і
"Системне програмування" денної і заочної форм навчання

Затверджено
на засіданні кафедри
Електронних
обчислювальних машин.
Протокол № 9 від
28. 03. 2005 р.

Затверджено
на засіданні учебово-видавничої
ради ДНТУ.
Протокол № 3 від 17. 06. 2005 р.

Донецьк ДНТУ 2006

УДК 681.3

Методичні вказівки до курсового проекту з курсу "Архітектура комп'ютерів" для підготовки фахівців і магістрів за напрямком "Комп'ютерна інженерія" / Укл. В. В. Лапко, Ю.В. Губарь. – Донецьк: Видавництво ДНТУ, 2006. - 84 с.

Посібник містить методичні вказівки і індивідуальні завдання до курсового проекту для спеціальностей за напрямком "Комп'ютерна інженерія". Методичні вказівки охоплюють питання проектування різноманітних архітектур, вузлів і модулів комп'ютерних систем на базі мікропроцесорного комплекта з розрядно – модульною організацією на основі мікросхем серії K1804 (аналог мікросхем серії Am2900 фірми Advanced Micro Devices, США). Розглянуті питання зчитування із оперативній пам'яті та виконання набору команд різноманітної довжини (RR, RX та RS), виконання арифметичних операцій для операндів з рухомою та фіксованою комою, а також методи перевірки виконання арифметичних операцій з використанням контролю за модулем три (або за модулем сім). Наведено приклад VHDL –проекту мікропроцесорної системи на функціональному рівні з використанням інструментального пакету Active-HDL фірми ALDEC, США (з дозволу фірми).

Укладачі

доц. Лапко В.В.,
доц. Губарь Ю.В.

Відповідальний
за випуск

проф. Святний В.А.

Рецензент

проф. Аверін Г. В.

Автори висловлюють подяку студентам Мирошкіну А. Н. (гр.СП-02б), Альохіну О. Г. (гр. СП-01н) та Гоголенко С. Ю. (гр.СП-01н) за сприяння у виданні методичних вказівок до курсового проекту.

ПЕРЕЛІК ОСНОВНИХ СКОРОЧЕНЬ

ЕОМ - електронна обчислювальна машина.

МОП - мікропроцесорний обчислювальний пристрій.

ЦОП - цифровий обчислювальний пристрій.

ОП - оперативна пам'ять.

РЗП - регістровий запам'ятовуючий пристрій.

КОП - код операції.

РК - реєстр команд.

МПП - мікропрограмна пам'ять.

ПК - пульт керування.

ФАМ - формувач адреси мікрокоманд.

РАП - реєстр адреси основної пам'яті.

ЛАК - лічильник адреси команд.

АЛП - арифметико - логічний пристрій.

БК - блок контролю.

СМЗ - схема формування залишків за модулем три або сім.

БМК - блок мікропрограмного керування.

ДК - додатковий код.

ВСТУП

Посібник містить методичні вказівки, індивідуальні завдання і додатки до курсового проекту з курсу “Архітектура комп’ютерів”.

Метою курсового проєктування є поглиблення і узагальнення знань спеціалістів за напрямком “Комп’ютерна інженерія”. Теми індивідуальних завдань охоплюють питання проєктування різноманітних архітектур, вузлів і модулів комп’ютерних систем на основі мікропроцесорного комплексу серії K1804 (процесора, оперативної пам’яті та схем обрамлення). Основна увага у посібнику приділяється системному рішенню питань проєктування апаратних засобів та мікропрограмної підтримки одно-, дво- і трьохрівневих конвеєрних архітектур комп’ютерних систем. Курсовий проект містить також завдання науково – дослідного характеру, наукову і довідкову літературу.

Для поглиблення студентами практичних навичок проєктування машин різноманітних архітектур у посібнику розглядається приклад розробки мікропроцесорного обчислювального пристрою (МОП) дворівневої конвеєрної архітектури з використанням конкретних ВІС - мікропроцесорних схем серії K1804 (аналог Am2900) для команд змінної довжини (RR, RX та RS) і операндів з рухомою та фіксованою комою. Розглянуті також питання перевірки роботи арифметичного пристрою (окремо для мантис і порядків) з використанням контролю за модулем три.

Важливе місце відведено питанням апаратної та мікропрограмної реалізації арифметичних операцій (підсумування, множення чисел у додатковому коді та чисел з негативним нулем), а також операції перевірки арифметичних операцій з використанням контролю за модулем три або за модулем сім.

У посібнику приділяється також увага питанням початкового запуску і зупинки роботи МОП, читування команд з оперативній пам’яті та їхнього декодування, розробці функціональних та принципових схем блоків МОП, таблиць кодування оперативної та мікропрограмної пам’яті, розрахунку параметрів системи синхронізації.

Посібник містить також перелік літературних джерел та стандартів. Додатки вміщують приклад оформлення технічного завдання, а також лістинги програм симуляції роботи МОП.

Матеріали посібника містять також приклади використання мови апаратного опису VHDL та інструментального засобу Active – HDL для проєктування апаратних засобів комп’ютерної техніки, які, як відомо [17 - 24], дають оперативну змогу виконати симуляцію (з наступним тестуванням) на функціональному та структурному рівні, швидко виявити та усувати хиби проєктування. Ця частина посібника дає змогу студенту за відведений навчальним планом час практично опанувати методи розробки VHDL – проектів комп’ютерної системи та симуляцію її роботи.

1. ЗАВДАННЯ НА ПРОЕКТУВАННЯ

1.1. Мета курсового проектування

Метою курсового проектування за курсом “Архітектура комп’ютерів” є поглиблення та узагальнення знань в області проектування засобів обчислювальної техніки, і застосування цих знань для системного проектування і симуляції мікропроцесорних пристрій. Курсове проектування спрямоване також на придбання навичок виконання наукових досліджень та роботи з науковою і довідковою літературою з комп’ютерної інженерії.

Завдання на курсове проектування передбачає розробку і виконання симуляції апаратної частини та програмного забезпечення мікропроцесорного обчислювального пристрою (МОП) для реалізації спеціальної функції. Елементну базу МОП складають ВІС мікропроцесорного комплексу серії K1804, які знаходять широке застосування в галузі обчислювальної техніки [3 – 7].

1.2. Початкові дані на проектування

Курсове проектування виконується згідно з індивідуального завдання. Кожен студент одержує від викладача номер варіанта завдання (N), згідно з яким вибирає з відповідних таблиць свої початкові дані.

Розрахункова формула, яку варто реалізувати на МОП, наведена в табл. 1. При обчисленні арифметичних операцій слід прийняти, що аргументи функцій цієї таблиці зображені у форматі з рухомою комою [1, 3, 8]. Роботу МОП варто організовувати в такий спосіб. У головній програмі в залежності від результату порівняння змінних A і В здійснюється виклик першої підпрограми (верхня формула) або другої підпрограми (нижча формула). Підрахунок значення суми (Σx_i) або добутку ($\prod x_i$) масиву значень x_i варто виконувати з урахуванням можливостей реалізації індексних операцій заданої команди [1, 8, 30].

Формат операндів A, B, x_i та Y наведено на рис. 1. Код зображення порядку P та кількість розрядів порядку p наведені у табл. 2 і табл. 3 відповідно. Код зображення мантиси M та кількість розрядів мантиси m наведені в табл. 4 і табл. 5 відповідно. Підстава характеристики S наведена в табл. 6.

Вибірка алгоритмів множення нормалізованих мантис та метод прискорення операції множення виконується згідно з табл. 7 і табл. 8 відповідно [8, 26, 30]. Вибірка алгоритмів ділення нормалізованих мантис виконується згідно з табл. 9 [8, 26, 30]. Контроль арифметичних операцій здійснюється згідно з табл. 10 [1, 2, 8, 9].

Вибірка формата базової команди МОП (одноадресної або двоадресної машини) здійснюється згідно з табл. 11 і рис. 2, де наведені наступні позначки: КОП - код команди (наприклад, додавання, множення, безумовний переход, останов і інші операції); ПЗ - ознака запису (его призначення відбивають табл. 12 і табл. 13); ПА, ПА1 і ПА2 - поля для завдання способу адресації операнда (значення цього поля відбито в табл. 14); ПІ, ПІ1 і ПІ2 - поля для визначення ознак індексації (значення цих полів відбивають табл. 15 і табл. 16) [8, 30].

Тип архітектури МОП слід формувати згідно з даними, які наведено на рис. 3 та в табл. 17 [3, 5]. Варіанти процесорних елементів проекта наведено в табл. 18 [3, 4, 6, 7]. Організація блоку основної (оперативній) пам’яті МОП та тип мікросхем для її побудови наведені в табл. 19 і табл. 20 відповідно [13 – 16]. Способ синхронізації реєстра ознак (коли він є у складі МОП) відображає табл. 21. Варіанти мікросхем для побудови МОП наведено в табл. 22 [12, 27 – 29]. Способи синхронізації блоків МОП слід обирати з табл. 23 [5].

Розрахункова формула.

Таблиця 1.

(N)mod4	Формула Y
0	$Y_0 = \begin{cases} A \cdot \sum_{i=1}^{N+5} x_i - B; & \text{коли } A \geq B \\ A + B, & \text{коли } A < B \end{cases}$
1	$Y_1 = \begin{cases} A / \sum_{i=1}^{N+6} x_i - B; & \text{коли } A < B \\ A - B, & \text{коли } A \geq B \end{cases}$
2	$Y_2 = \begin{cases} A + \prod_{i=1}^{N+5} x_i - B, & \text{коли } A < B \\ A + B, & \text{коли } A \geq B \end{cases}$
3	$Y_3 = \begin{cases} A / \prod_{i=1}^{N+7} x_i - B, & \text{коли } A \geq B \\ A - B, & \text{коли } A < B \end{cases}$

3 _H					
±	1	P	n	1	M

Рисунок 1. Формат операндів із рухомою комою.
(P - порядок числа; M - мантиса числа; Зн - знак числа).

Зображення порядку.

Таблиця 2.

(N)mod3	Код порядку
0	ДК (додатковий код)
1	НН (з негативним нулем)
2	ПН (з позитивним нулем)

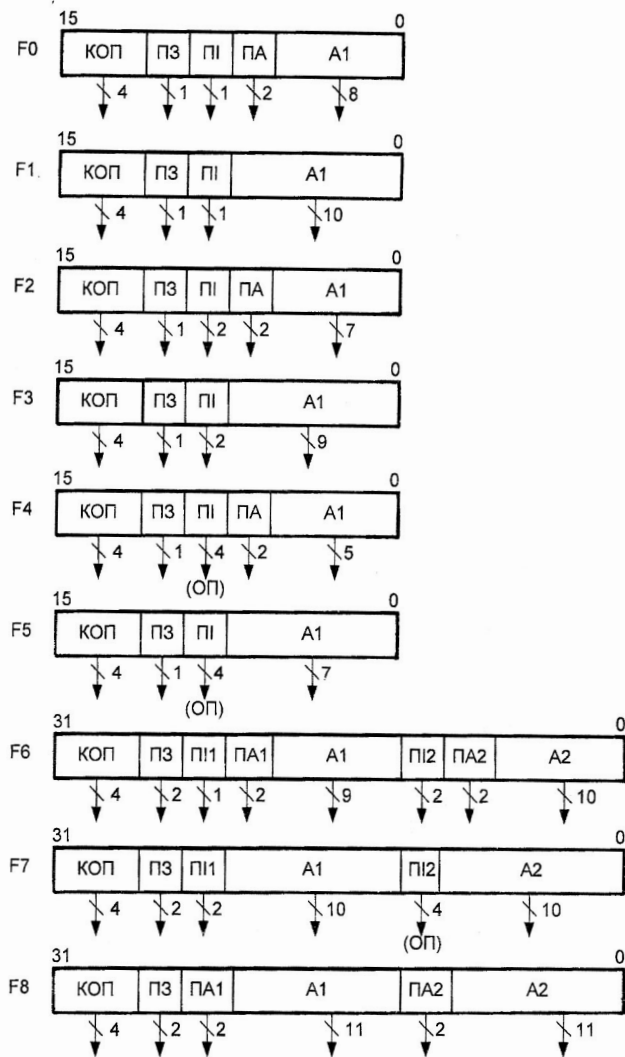


Рисунок 2. Варіанти форматів команд МОП

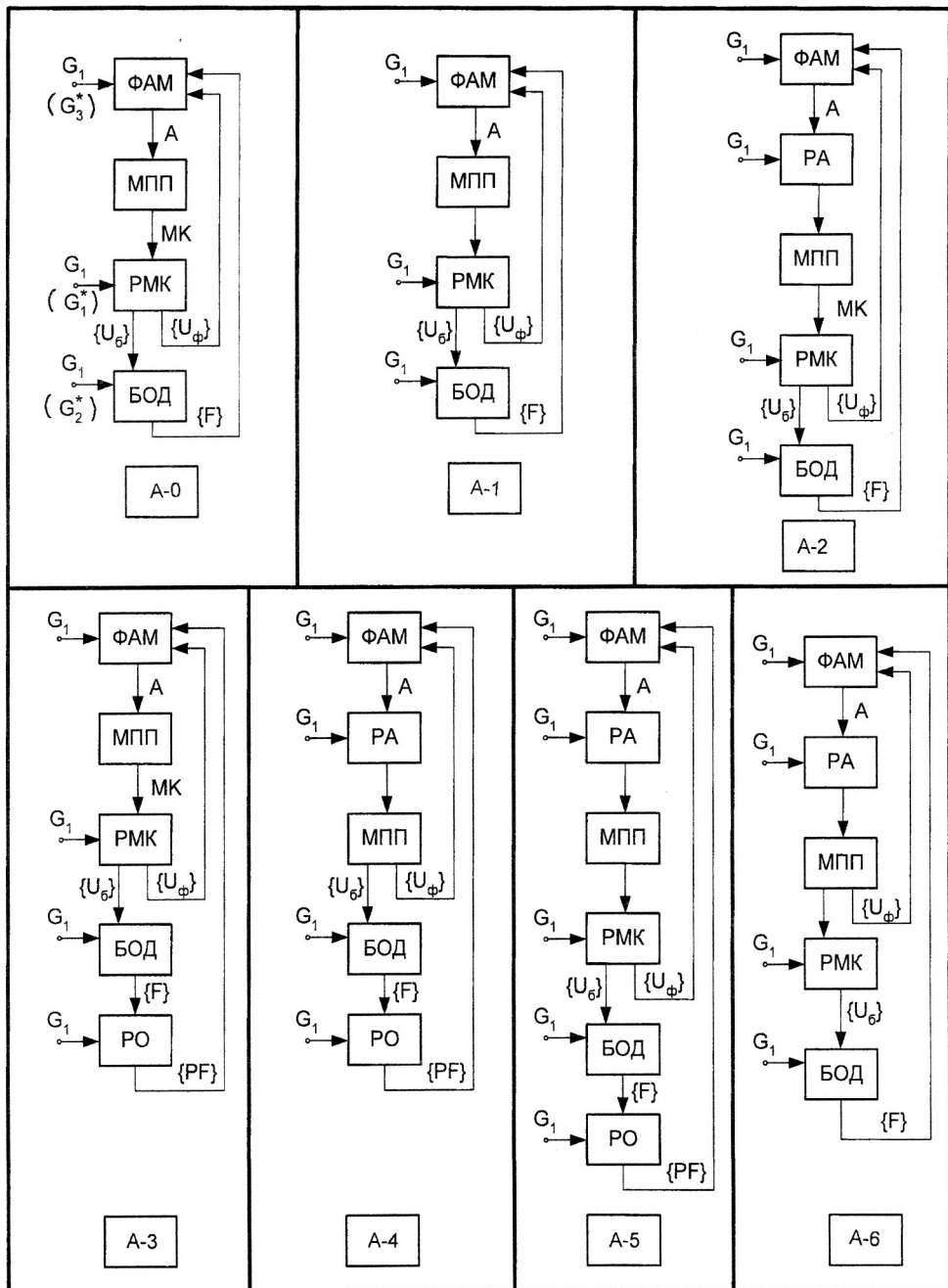


Рисунок 3. Варіанти задаваних архітектур МОП (A0 ÷ A6)

Кількість розрядів порядку.

Таблиця 3.

(N)mod4	n
0	5
1	6
2	7
3	8

Зображення мантиси M.

Таблиця 4.

(N)mod2	Код мантиси
0	ПК (прямий код)
1	ДК (додатковий код)

Кількість розрядів мантиси.

Таблиця 5.

(N)mod5	M
0	10
1	14
2	16
3	20
4	24

Підстава характеристики S.

Таблиця 6.

(N)mod3	S
0	2
1	4
2	8

Алгоритм множення мантис.

Таблиця 7.

(N)mod4	Алгоритм множення
0	"А" (з молодших розрядів Mk, зсув Mk та Σ праворуч)
1	"Б" (з молодших розрядів Mk, зсув Mk – праворуч , Mn – ліворуч)
2	"В" (з старших розрядів Mk, зсув Mk та Σ ліворуч)
3	"Г" (з старших розрядів Mk, зсув Mk – ліворуч, Mn - праворуч)

Примітки. Mk – множник; Mn - множене; Σ - часткові добутки.

Метод прискорення множення мантис.

Таблиця 8.

(N)mod5	Метод множення
0	Лемана
1	Бута
2	Карцева
3	Мак – Сорлі
4	Груповий метод (довжина групи - два розряди)

Алгоритм ділення мантис. Таблиця 9.

(N)mod2	Алгоритм ділення
0	“а” (зсув залишків ліворуч)
1	“б” (зсув дільника праворуч)

Модуль контроля арифметичних операцій. Таблиця 10.

(N)mod2	Модуль контроля
0	Mod 3
1	Mod 7

Формат команд МОП. Таблиця 11.

(N)mod9	Формат команди
0	F0
1	F1
2	F2
3	F3
4	F4
5	F5
6	F6
7	F7
8	F8

Кодування признака адресації (ПА) команди. Таблиця 12.

ПА	Спосіб адресації операнда
0 0	Пряма (адреса операнда задається в полі A1 (або A2) команди)
0 1	Безпосередня (в полі A1 (або A2) команди знаходиться операнд)
1 0	Побічна (в полі A1 (або A2) команди знаходиться адреса операнда)
1 1	Не використовується (*)

Кодування признака запису результату (ПЗ) Таблиця 13.
в одноадресних командах.

ПЗ	Виконуєма дія
0	ОП (A1) → PP (АЛП); [PP – реєстр результату]
1	PP (АЛП) → ОП (A1)

Кодування признака запису результату (П3)
в двоадресних командах.

Таблиця 14.

П3	Виконуєма дія
0 0	(A1) * (A2) → (A2)
0 1	(A1) * (A2) → PP
1 0	PP * (A1) → (A2)
1 1	PP * (A1) → PP

Примітка. * - арифметична або логічна операція АЛП.

Кодування признака індексації (ПІ) в форматах
команд F0, F1 та F6.

Таблиця 15.

ПІ	Формування виконавчої адреси Авік
1	Авік = A1 + IP
0	Авік = A1

Кодування признака індексації (ПІ) в форматах
команд F2, F3, F6 та F7.

Таблиця 16.

ПІ	Формування виконавчої адреси Авік
0 0	Авік = A1
0 1	Авік = A1 + IP1
1 0	Авік = A1 + IP2
1 1	Авік = A1 + IP3

Примітка. IP1, IP2, IP3 - індексні реєстри МОП. В командах форматів F4, F5, F7 індексні реєстри розташовані в перших 15 комірках оперативній пам'яті (ОП). Поле ПІ команди в цьому разі задає адрес комірки ОП, яка відбиває індексний реєстр.

Варіанти архітектур МОП.

Таблиця 17.

(N)mod7	Номер варіанта архітектури МОП
0	A - 0
1	A - 1
2	A - 2
3	A - 3
4	A - 4
5	A - 5
6	A - 6

ВІС МОП.

Таблиця 18.

(N)mod4	Процесорні елементи проекта
0	K1804BC1, K1804BV1
1	K1804BC1, K1804BV4
2	K1804BC2, K1804BV1
3	K1804BC2, K1804BV4

Параметри оперативної пам'яті МОП.

Таблиця 19.

(N)mod4	Ємність (в кілобайтах) та довжина (в бітах) комірки ОП
0	4 К x 8
1	16 К x 16
2	32 К x 32
3	64 К x 64

Базові елементи оперативній пам'яті.

Таблиця 20.

(N)mod7	Мікросхема	Організація МС	Тип МС	Література
0	K565РУ3	16 К x 1	DRAM	13
1	K565РУ5	64 К x 1	DRAM	13
2	K565РУ7	256 x 1	DRAM	14
3	KM185РУ7	256 x 4	SRAM	14
4	K589РУ01	16 x 4	SRAM	14
5	K537РУ4А	4 К x 1	SRAM	14
6	K565РУ1	4 К x 1	DRAM	15

Способи синхронізації реєстра ознак (РО). Таблиця 21.

(N)mod2	Синхронізація РО
0	Керована
1	Не керована

Схеми обрамування ВІС МОП.

Таблиця 22.

(N)mod4	Типи мікросхем	Література
0	K155TM2, K155IM1, K155IE6, K155LA3	12, 27, 29
1	K155TM5, K155IM2, K155IE7, K155LA2	12, 27, 29
2	K155TB1, K155IM3, K155IE5, K155LP1	12, 27, 29
3	K155IP1, K155IM2, K155IE2, K155LP3	12, 27, 29

Способи синхронізації реєстрових схем МОП.

Таблиця 23.

(N)mod2	Тип синхронізації
0	Однофазна
1	Багатофазна

Технічне завдання на курсове проектування (додаток 1) під керівництвом викладача складається на першій консультації (занятті), підписується студентом і керівником проекту, а також затверджується завідуючим кафедрою ЕОМ.

У курсовому проекті підлягають розробці: алгоритми обчислень для заданої функції в зазначеному форматі команд, граф – схеми мікропрограм вибірки і виконання команд арифметичних операцій, функціональні і принципові електричні схеми операційного та керуючого блоків цифрового обчислювального пристрою (ЦОП). Крім

того, повинні бути виконані розрахунки параметрів системи синхронізації та основних технічних характеристик мікрообчислювача, а також побудовані часові діаграми його роботи у типових режимах.

У курсовому проекті з метою верифікації прийнятих рішень бажано розробити VHDL - модель мікрообчислювального пристрою з використанням пакета Active – HDL [17 – 24]. Провести симуляцію на функціональному рівні блоків ЦОП (конкретні варіанти модифікації узгоджуються з керівником). При проведенні модельних експериментів може бути застосована при бажані також програма Electronics Workbench (електронна лабораторія) версії 6.02 (MultiSim) [25].

1.3. Загальні вимоги до курсового проекту

Курсовий проект мусить містити пояснівальну записку і графічний матеріал. Пояснювальна записка повинна включати наступні обов'язкові елементи:

- Титульну сторінку.
- Підписане та затверджене технічне завдання.
- Реферат (з великим штампом).
- Зміст.
- Вступ.
- Основну частину, до складу якої повинні входити наступні розділи:
 1. Програмна реалізація заданої формули в форматі заданої команди і приклади обчислень.
 2. Розробка функціональної схеми мікрообчислювача.
 3. Методика запуску МОП у роботу та його зупинка.
 4. Розробка алгоритмів виконання заданих арифметичних операцій.
 5. Розробка таблиць кодування.
 6. Розробка функціональних і принципових схем мікрообчислювача.
 7. Розрахунок параметрів блоку синхронізації та основних технічних характеристик МОП.
 8. Часові діаграми роботи МОП у типових режимах.
- Висновки.
- Список використаних літературних джерел.
- Додатки (програми симуляції арифметичних операцій та результати симуляції алгоритмів).

Графічна частина курсового проекту повинна включати наступні обов'язкові креслення:

- Схема електрична функціональна мікрообчислювача (формат А1).
- Схеми алгоритмів обчислення заданої функції на рівні реєстрів процесора (формат А1).
- Схема електрична принципова вузлів МОП (формат А1).

Усі креслення і пояснівальна записка вважаються конструкторською документацією і повинні мати позначки відповідно до діючих стандартів ЄСКД і ЄСПД [32, 33].

До записки необхідно додати архів файлів проекту аj, короткий опис яких повинен містити додаток.

Проекти, які не відповідають чинним вимогам, до розгляду не приймаються.

2. ОСНОВНІ ЕТАПИ ПРОЕКТУВАННЯ

2.1. Структура складу операцій процесора. Адресація операндів у командах

Для виконання довільної програми система команд ЕОМ повинна складатися по-перше, із арифметичних і булевських операцій з використанням як чисел з фіксованою комою, так і арифметичних операцій для чисел із рухомою комою. Для завдання необхідної послідовності як команд, так і програми в цілому, множина команд процесора мусить мати також групу команд передачі управління (для виконання операцій управління).

В кожній команді операція задається двійковим кодом КОП (КОП – код операції). Адресна частина команди вказує безпосередньо адресу операндів, які приймають участь в операції, або алгоритм, як сформувати адрес. У командах управління коди адреси вказують, куди (в яку комірку ОП) треба передати управління.

Припустимо, що код операції та ознака формату (Φ) в кожній команді вмістить вісім розрядів - один байт (рис. 4), а адресна частина має різну довжину: байт (RR) або три байта (24 біта). Цей спосіб адресації дозволяє адресувати ієрархічну структуру пам'яті, яка складається з великого об'єму основної оперативної пам'яті (ОП) і реєстрового швидкодіючого запам'ятовуючого пристрою (РЗП) відносно малого об'єму.

Припустимо, що РЗП складається з 16 безпосередньо адресуемых реєстрів, яким присвоєні номера від 0000 (0) до 1111 (15). З метою економії часу реєстри будемо використовувати при роботі програми для зберігання початкових операндів і результату арифметичних та булевських операцій, а також для зберігання базової адреси і індекса (константи модифікації адреси), які використовуються для формування виконавчого адреса ОП. Номер реєстра РЗП задається в командах 4 - х розрядними двійковими числами в полі РОН. При виконанні арифметичних операцій з рухомою комою два суміжних реєстра використовуються спільно. В цьому випадку у команді вказується адреса реєстра, де зберігається мантиса. При цьому порядок цієї мантиси обов'язково зберігається в слідувачому реєстрі РЗП. При цьому конкретний тип даних РЗП залежить від поточної команди процесора.

Адреса основної оперативної пам'яті (ОП) в загальному випадку обчислюється значно складніше. Звертання до неї може виконуватися з використанням відносної адресації. За такої адресації ОП умовно розподіляється на секції, кожна з яких складається, наприклад, з 2048 слів. Початоккої секції визначається адресом її першого слова. Цю адресу будемо називати **базовою**. Секції можуть бути в довільному місці ОП, починаючи з довільного слова. В звязку з цим для завдання всіх можливих базових адресів для ОП, наприклад, об'єму 1М слів необхідно 20 біт. В межах секції адреса кожного слова відносно базової визначається 12 – розрядним двійковим числом (у секції об'ємом 2048 слів), яке називається зсувом (зміщенням) адреси поточного слова відносно адреси початку секції (базового адреси) і позначається буквою D.

З використанням бази В та зміщення D виконавча адреса Авік , по якій виконується звертання до ОП, обраховується як сума по $\text{mod } 2^{20}$ кода базової адреси і кода зміщення. Підсумовуються ці коди як цілі числа без знаку (формат int, але без знаку).

В залежності від кількості команд і обсягу (об'єму) даних програма може бути розташована в межах однієї секції або в межах декількох секцій. Якщо програма не виходить за межі однієї секції, то для формування виконавчої адреси основної пам'яті для всіх команд достатньо буде однієї базової адреси. Така адреса розміщується в одному із реєстрів РЗП, який в цьому випадку називається реєстром бази. Базова адреса займає у такому реєстрі з 19 – ої до 0 – ої позиції реєстра бази. Для вказівки адреси ОП в команді RX (рис.4) в адресній частині розміщується 12 – розрядний двійковий код зміщення D і 4 – розрядний код адреси В (який визначає номер реєстра РЗП, де знаходиться базова адреса).

Умовне зображення формату	Формат і структура команди	Двійковий код ознаки формату команди (Ф)						
RR	<p>15 (півслово) 0</p> <table border="1"> <tr> <td>Ф</td> <td>КОП</td> <td>РОН1</td> <td>РОН2</td> </tr> </table> <p>↓ 2 ↓ 6 ↓ 4 ↓ 4</p>	Ф	КОП	РОН1	РОН2	01		
Ф	КОП	РОН1	РОН2					
RX	<p>31 (слово) 0</p> <table border="1"> <tr> <td>Ф</td> <td>КОП</td> <td>РОН1</td> <td>X2</td> <td>B2</td> <td>D2</td> </tr> </table> <p>↓ 2 ↓ 6 ↓ 4 ↓ 4 ↓ 4 ↓ 12</p>	Ф	КОП	РОН1	X2	B2	D2	10
Ф	КОП	РОН1	X2	B2	D2			
RS	<p>31 (слово) 0</p> <table border="1"> <tr> <td>Ф</td> <td>КОП</td> <td>РОН1</td> <td>S2</td> </tr> </table> <p>↓ 2 ↓ 6 ↓ 4 ↓ 20</p>	Ф	КОП	РОН1	S2	11		
Ф	КОП	РОН1	S2					

Рисунок 4. Формати команд, їх умовне зображення та структура команд

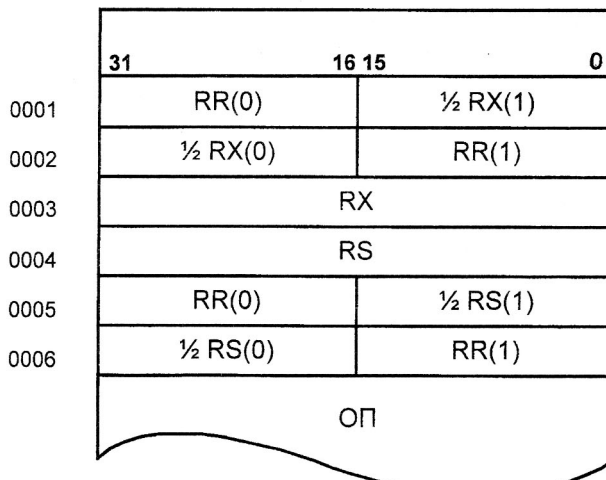


Рисунок 5. Схема компактного розміщення команд змінної довжини, які кратні півслову, в 32-розрядних комірках ОП:
 (0), (1) - номер відповідно старшого та молодшого півслова комірки ОП;
 0001, 0002, ... - номер (адреса) комірки пам'яті;
 0001(0), 0001(1), ... - адреса півслова ОП.

Якщо програма розміщується в декількох секціях пам'яті, то в РЗП зберігаються адреса декількох секцій. При цьому в конкретній команді RX вказується той реєстр РЗП, який зберігає поточну базу програми. Як базові можуть бути використані будь-які реєстри РЗП, крім нульового. Якщо в команді RX вказується В = 0, то припускається, що базова адреса дорівнює нулю незалежно від місця реєстра з номером 0000 (0).

Припустимо, що будь-які операнди (з фіксованою або рухомою комою) в ОП розміщаються в одній комірці і мають довжину, яка дорівнює одному слову. При цьому адреса операндів явно вказується в адресній частині будь якої із трьох типів команд (рис.4). При цьому в двомісних операціях припускається, що результат розміщується на місці першого операнда. В залежності від місця і способу адресації початкових операндів, формати команд позначаються як RX, RS та RR. Форматний код RR позначає операції реєстр – реєстр; формати RX та RS - операції, в яких один із операндів знаходитьться в ОП. При цьому для визначення операнда із РЗП в будь-якій команді (RR, RX, RS) використовується пряма адресація – в командах вказуються 4-роздрядна адреса реєстра РЗП.

Другий операнд в команді RX (рис. 4) знаходиться в ОП за адресою

$$A2_{\text{ВИК}} = < X2 > + < B2 > + D2, \quad (1)$$

де $< X2 >$ - вміст реєстра РЗП з номером X2;

$< B2 >$ - вміст реєстра РЗП з номером B2.

Модифікація адреси шляхом підсумування індекса X2 використовується для організації циклічних обчислювальних процесів. При цьому індекс, як і базова адреса, до початку виконання програми повинен бути в будь-якому реєстрі РЗП, який в цьому разі отримує назву реєстра індекса.

Команда формату RS відноситься до типу реєстр – пам'ять. При цьому модифікація адреси ОП тут не передбачається – в полі S команди вказується прямий адрес комірки ОП. При цьому необхідно враховувати слідуєчое. Так як виконавча адреса завжди формується до початку виконання операції, в принципі вміст одного і того ж реєстра РЗП в одній команді може бути використаний як для формування виконавчої адреси, так і операнда.

Повну інформацію про тип операції, яка повинна бути виконана, і тип даних вміщує код операції (КОП) команди. Команди RX та RS мають кожна довжину у два півслова, а RR - потребує менше розрядів - тільки одне півслово. Команди для більш економноїтрати об'єму ОП розміщаються, як правило, в ОП компактно (рис.5). В цьому випадку якщо довжина комірки дорівнює 32 біта, адреса команди складається з двох частин: адреси комірки ОП та адреси півслова в цій комірці. При цьому довга команда може починатися із старшої половини комірки, тобто з нульового півслова і займати всю комірку пам'яті і, навпаки, якщо "голова" команди починається з молодшого півслова комірки ОП, тобто команда починається з першого півслова комірки ОП, для зчитування "хвоста" команди необхідно звертатися до слідуєчої по порядку комірки і використовувати її нульове півслово (старше півслово в такому випадку). Наприклад, початок команди RX може мати адресу 0001 (1), а кінець - 0002 (0). Очевидно, що для формування адреси молодшої частини команди RX 0002 (0) необхідно до адреси старшої половини RX 0001 (1) додати (+1), тобто виконати операцію: 0001(1) + 1 = 0002(0).

З використанням розглянутих форматів команд побудуємо, наприклад, програму для обчислення добутку:

$$Y = \prod_{i=1}^5 \alpha_i, \quad (2)$$

де α_i - масив змінних, які мають формат з рухомою комою (рис.1).

При програмуванні для обчислення Y використуємо схему:

$$\begin{aligned} Y &= \alpha_5; \\ Y &= Y * \alpha_i \quad (i = 4 \div 1). \end{aligned} \quad (3)$$

Для конкретності припустимо, що до початку виконання програми розподіл ОП та призначення реєстрів РЗП і комірок ОП має вигляд, який наведено в табл. 24. З урахуванням цього розподілу пам'яті та уведенної системи команд один із варіантів програми обчислення Y наведено у табл. 25. При побудові програми передбачалося, що РЗП вміщує 16 реєстрів, а об'єм ОП вміщує 2^{20} слів (1Мс) і відповідно 2^{21} півслів (2Млс). При побудові програми також передбачено, що команда пересилки даних ОП \rightarrow РЗП з рухомою комою (F) записує мантису числа комірки ОП та порядок відповідно у реєстри R0 та R1. Припустимо також, що мнемоничне зображення кода операції цієї команди відображається як MOV_FMR. Таким чином, число з рухомою комою розміщується цією командою у двох суміжних реєстрах РЗП. З другого боку, команда пересилки даних із рухомою комою (F) РЗП \rightarrow ОП (команда запису MOV_FRM) формує одне слово ОП на основі вмісту відповідних двох суміжних реєстрів РЗП. Наприклад, на основі вмісту реєстрів R0 та R1 (R0.R1) команда MOV_FRM може формувати число із рухомою комою (F) у 35 комірці ОП (рис. 6).

Призначення комірок ОП і реєстрів РЗП та початкове значення змінних. Таблиця 24

Адреса комірки ОП	31 Вміст комірки ОП 0	Примітки
0 0 0 0 0	0	Const (повний нуль)
0 0 0 3 1	α_1	Елемент масива (float)
0 0 0 3 2	α_2	Елемент масива (float)
0 0 0 3 3	α_3	Елемент масива (float)
0 0 0 3 4	α_4	Елемент масива (float)
0 0 0 3 5	α_5	Елемент масива (float)
0 0 0 3 6	0 0 0 0 0 0 3 0	Базова адреса (B) масиву даних та програми (int)
0 0 0 3 8	4	Початкове значення індексного реєстра (X2) РЗП (int)
0 0 0 3 9	*	Результат обчислення Y (float)
Адреса реєстра РЗП	Призначення реєстра РЗП	Примітки
0 0 0 0 (R0)	Мантиса першого співмножника та в подальшому мантиса поточного Y (*)	У додатковому коді ($m = 27$)
0 0 0 1 (R1)	Порядок першого співмножника та в подальшому порядок поточного Y (*)	З негативним нулем ($n = 5$)
0 0 1 1 (R3)	Індексний реєстр та лічильник циклу (*)	Модуль коду (індекс)
0 1 0 0 (R4)	Реєстр бази (*)	Модуль коду (бази)
1 1 1 0 (R14)	Мантиса другого співмножника (при виконанні програми) (*)	У додатковому коді ($m = 27$)
1 1 1 1 (R15)	Порядок другого співмножника в команді (при виконанні програми) (*)	З негативним нулем ($n = 5$)

Примітка. * - стан реєстру невизначений до початку програми.

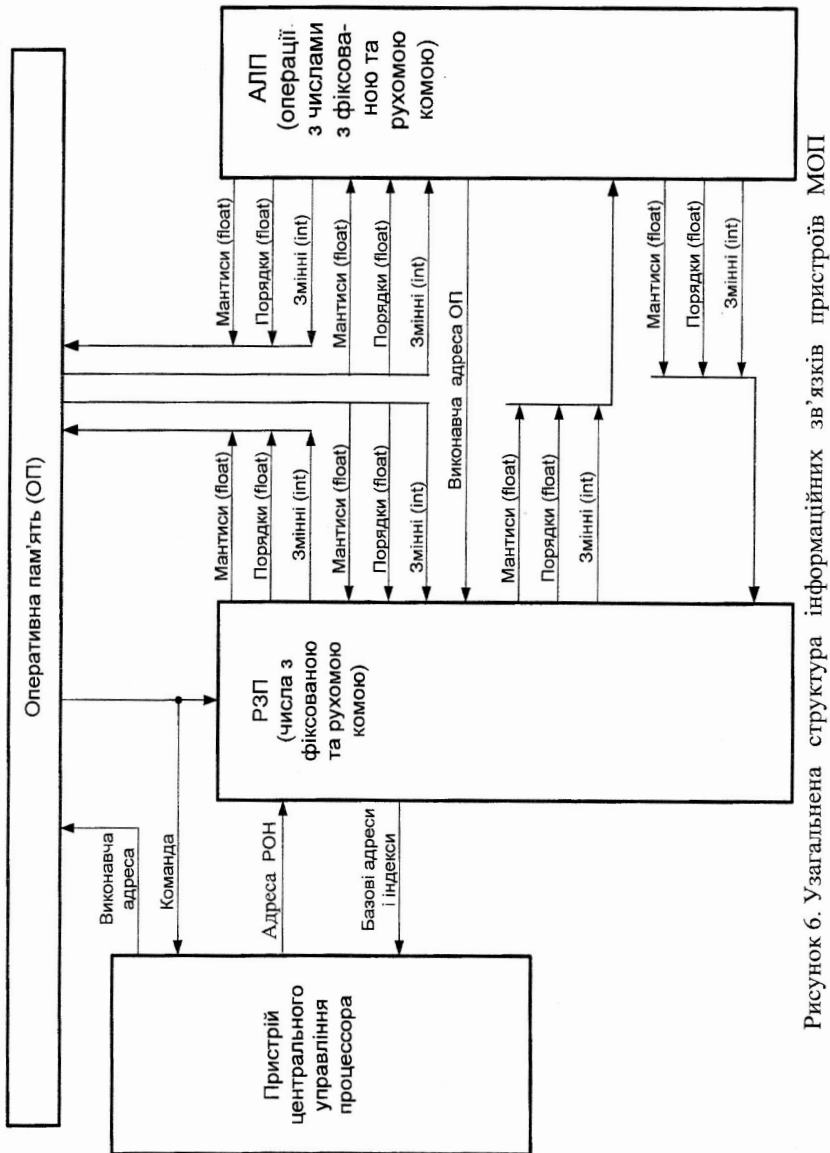


Рисунок 6. Узагальнена структура інформаційних зв'язків пристройів МОП

Програма обчислення функції Y для гіпотетичної ЕОМ. Таблиця 25.

Адреса команд в ОП (адреса півслова)	Ф	КОП	A1	A2	Примітки
0 0 0 4 0 (0)	RS	MOV_FMR	0 0 0 0 (R0)	S = 0 0 0 3 5	M (α_5) \rightarrow R0 Π (α_5) \rightarrow R1
0 0 0 4 1 (0)	RS	MOV_IMR	0 0 1 1 (R3)	S = 0 0 0 3 8	4 (X2) \rightarrow R3
0 0 0 4 2 (0)	RS	MOV_IMR	0 1 0 0 (R4)	S = 0 0 0 3 6	30 (B) \rightarrow R4
0 0 0 4 3 (0)	RX	MOV_FMR	1 1 1 0 (R14)	X2 = 0011 (R3) B2 = 0100 (R4) D2 = 000 ₁₆	M (<X2 + B2 + 0>) \rightarrow R14 Π (<X2 + B2 + 0>) \rightarrow R15
0 0 0 4 4 (0)	RR	MUL_F	0 0 0 0 (R0)	1 1 1 0 (R14)	R0.R1 * R14.R15 \rightarrow R0.R1
0 0 0 4 4 (1)	RR	DEC_I	0 0 1 1 (R3)	*	R3 - 1 \rightarrow R3
0 0 0 4 5 (0)	RS	JMP_Z	*	S = 0 0 0 4 3	УП = { 00046, Z = 1 ; 00043, Z = 0 }
0 0 0 4 6 (0)	RS	MOV_FRM	0 0 0 0 (R0)	S = 0 0 0 3 9	R0.R1 \rightarrow 000 39
0 0 0 4 7 (0)	RR	STOP	*	*	Зупинка програми

Примітки. DEC_I - декремент коду з фіксованою комою (int);
 S – пряма адреса ОП команди RS;
 RX (B2) = R4 (B2 = 30); RX (X2) = R3 [X2 = (4 ÷ 1)]; RX (D2) = 000₁₆.

2.2. Аналіз задаваної формули та приклади її обчислення

Припустимо, що для обчислення добутку (2) потрібно побудувати цифровий обчислювальний пристрій (ЦОП) на базі процесорних секцій ВС1 та ВУ4. При цьому припустимо, що порядок Р відображається у форматі з негативним нулем (n = 5), мантиса M - у додатковому коді (m = 27), а підстава характеристики S дорівнює двом.

По-першому, розглянемо приклад виконання операції множення з рухомою комою.

Нехай співмножники відповідно рівні: A = (+ 5, 0)₁₀; B = (- 3, 0)₁₀. Як відомо, у нормалізованій формі ці числа в форматі з рухомою комою мають вигляд:

$$A = + 0,101 \cdot 2^{+3}; \quad B = - 0,110 \cdot 2^{+2}. \quad (4)$$

У двійковому коді порядки зображаються таким чином: P_A = + 0011'; P_B = + 0010'. У зміщенному коді ці порядки з негативним нулем (в приведеному форматі зміщення E = 15) мають вигляд:

$$P_A^{15} = 1.0010'; \quad P_B^{15} = 1.0001'.$$

Таким чином, у канонічному форматі операнди A і B будуть мати наступний вигляд:

$$\begin{aligned} A: & 0.10010' 1010\ 0000\ 0000\ 0000\ 0000\ 0000\ 00; \\ B: & 1.10001' 0100\ 0000\ 0000\ 0000\ 0000\ 0000\ 00. \end{aligned}$$

Для обчислення порядку добутку визначемо суму зміщених порядків:

$$\begin{array}{r}
 P_A^{15} = | 1.00100' = (+3)^{15} \quad (n=5) \\
 + \\
 P_B^{15} = | 1.0001' = (+2)^{15} \\
 \hline
 Bx\Pi = (+1) = | 1' \\
 S = (P_A + P_B - 1)_{DK} = (1) | 0.01000' = (+4)_{DK} \\
 \text{Вив}\Pi_S | N_S
 \end{array}$$

Як відомо, після підсумовування порядків необхідно перевірити коректність результату операції - відсутність переповнення. В даному випадку знаковий розряд суми порядків з негативним нулем не збігається з вивідним переносом, тому переповнення суми порядків вітсутне. Отже, на виході суматора має місце коректне значення суми порядків (сума порядків мінус одиниця у додатковому коді). Для одержання зміщеного порядку добутку, як відомо, необхідно виконати інвертування старшого знакового розряду цієї суми порядків. Якщо виконати інвертування, одержимо:

$$\begin{array}{r}
 + \quad S = | 0.01000 \\
 NE = | 1.0000 \\
 \hline
 (P_C)^{15} = (0) | 1.0100 \\
 \text{Вив}_NE | N_{PC}
 \end{array}$$

Розглянемо далі множення додаткових кодів мантис. Припустимо, що мантиси операндів мають вигляд:

$$\begin{aligned}
 M_A_{PK} &= 0.'101 (+5/8); \quad M_B_{PK} = 1.'110 (-6/8); \\
 M_A_{DK} &= 0.'101; \quad M_B_{DK} = 1.'010;
 \end{aligned}$$

Як відомо, в симетричній двійковій системі ДК негативної мантиси можливо представити слідуючим чином: $M_B_{DK} = 1.'010 = -1 + 2/8 = -6/8$. Згідно з цим множення на знаковий розряд ДК потребує операції: $(P + A_{DK} + 1)$. Таким чином, множення на цифрові розряди виконуються як множення на беззнакові числа, а множення на знаковий розряд здійснюється, як корекція цього результату (рис. 7).

Знаковий розряд добутку мантис (M_C_{DK}) в розглянутому випадку збігається з суміжним розрядом, що вказує на порушення нормалізації результата праворуч на один розряд (рис. 7). Таким чином, для закінчення операції у цьому випадку необхідно виконати також операцію нормалізації шляхом зсуву мантиси добутку ліворуч на один розряд та зменшення порядку на одиницю. Таким чином, остаточно маємо:

$$\begin{array}{l}
 \leftarrow 1p. \\
 M_C_{DK} = 1.'1000100 \quad (M_C_{DK} = 1.'000100).
 \end{array}$$

$$\begin{array}{r}
 (P_A + P_B)^{15} = | 1.01000 = (+5)^{15} \\
 + \\
 (-1)^{15} = | 0.1110 \\
 \hline
 Bx\Pi = (1) = | 1 \\
 (P_A + P_B - 1)_{DK} = (1) | 0.0011 = (+3)_{DK} = (P_C - 1)_{DK}
 \end{array}$$

Знак декрементування суми порядків в даному випадку не збігається з вивідним переносом ($N_S = 0$, $\text{Вив}\Pi = 1$), тому переповнення декрементора вітсутне. Після інвертування старшого (знакового) розряду суми остаточно одержимо порядок результата, як зміщеного коду:

$$(P_C)^{15} = 1.0011 = (+4)^{15}.$$

З урахуванням усіх перетворень одержимо наступний результат:

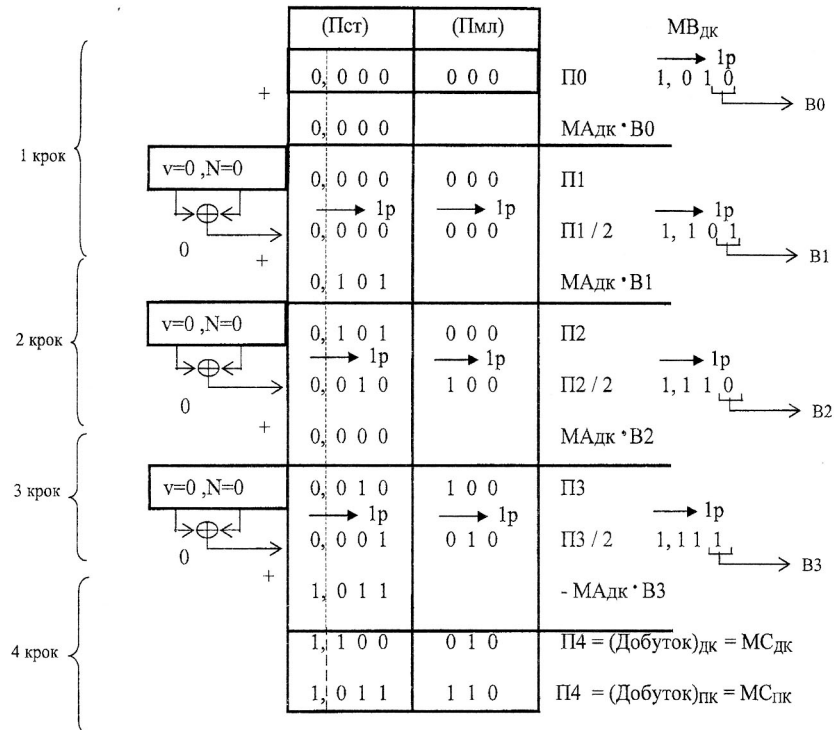


Рисунок 7. Діаграма множення додаткових кодів за алгоритмом “A”
 V – сигнал переповнення суматору, N - знак суми суматору)

Як відомо, множення мантис потребує на кожному кроці операції підсумовування часткових добутків Пст і множеного та зсуву часткових добутків Пст та Пмл (рис. 7).

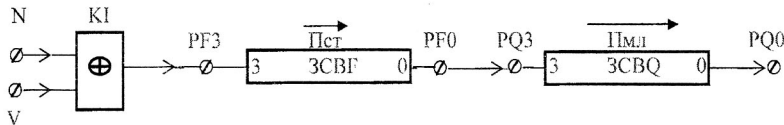


Рисунок 8. Організація зсуву часткових добутків при виконанні операції множення мантис за алгоритмом “A”

Керований інвертор КІ у схемі зсуву (рис. 8) виконує операцію над інформаційними сигналами переповнення V суматору та знака N згідно формули:

$$PF3 = V \oplus N = \bar{V}N \vee V\bar{N}, \quad (5)$$

при цьому на вході PF3 зсувача 3CBF формується правильний знак часткового добутку (знак суми N після зсуву може бути зворотним початкову знаку суми, якщо сума обчислена з переповненням $V = 1$).

$$C = -0,1111 \cdot 2^4, \text{ тобто } C = -1111'0 = (-15)_{10}.$$

Далі розглянемо контроль коректності операцій над мантисами та порядками чисел із рухомою комою за модулем три.

Для формування контрольних рівнянь операції множення мантис у додатковому коді введемо наступні позначення окремих розрядів змінних:

$$MA_{DK} = (N_A 'a)_{DK}, \quad MB_{DK} = (N_B 'b)_{DK}, \quad MC_{DK} = (N_C 'c)_{DK},$$

де N_A, N_b, N_C - знак мантиси M_h (MA), M_k (MB) та добутку Mc відповідно ($N_A = N_b = N_C = 0$);

$'a, 'b, 'c$ - модулі мантиси M_h, M_k та M_c відповідно.

У розглядаєму вище прикладі: $MA_{DK} = \pm .101$; $MB_{DK} = \pm .110$; $MC_{DK} = \pm .011110$. Кількість розрядів співмножників разом із знаковим розрядом дорівнює $n=4$, кількість розрядів добутку - $(2n-1)=7$.

У залежності від знакових розрядів N_A і N_b можливо записати наступні контрольні рівняння.

$$\begin{aligned} 1). \quad & MA > 0; \quad MB > 0 : \\ & MA_{DK} = 0.'a; \quad MB_{DK} = 0.'b; \quad MC_{DK} = MA_{DK} * MB_{DK} > 0. \end{aligned}$$

$$R_K(MC_{DK}) = R(MA_{DK}) * R(MB_{DK}) = R('a) * R('b), \quad (6)$$

де $R_K(MC_{DK})$ - згортка за модулем три добутку MC_{DK} ;

$R(MA_{DK}), R(MB_{DK})$ - згортка M_h та M_k за модулем три.

$$2). \quad MA > 0; \quad MB < 0 :$$

$$\begin{aligned} & MA_{DK} = 0.'a; \quad MB_{DK} = (2_{n+1} - b), \text{ тобто } b = 2_{n+1} - MB_{DK}; \\ & MC < 0, \text{ тому } MC_{DK} = 2_{2n} - a * b = 2_{2n} - a * (2_{n+1} - MB_{DK}) = \\ & = 2_{2n} - 2_{n+1} * a + a * MB_{DK} = 2_{2n} - 2_{n+1} * MA_{DK} + MA_{DK} * MB_{DK}. \end{aligned}$$

Таким чином, в цьому випадку маємо:

$$R_K(MC_{DK}) = R(\sigma_{2n}) - R(\sigma_{n+1}) * R(MA_{DK}) + R(MA_{DK}) * R(MB_{DK}), \quad (7)$$

де σ_{2n} - вага $2n$ -го розряду за модулем три (для $n=4$ $\sigma_{2n} = 10$);

σ_{n+1} - вага $(n+1)$ -го розряду за модулем три (для $n=4$ $\sigma_{n+1} = 01$).

Для розглянутого вище прикладу одержимо:

$$R(\sigma_{2n}) = R(2_{2n}) = 10; \quad R(\sigma_{n+1}) = R(2_{n+1}) = 01.$$

$$3). \quad MA < 0; \quad MB > 0 :$$

$$MA_{DK} = (2_{n+1} - a); \quad MB_{DK} = 0.'b;$$

Так як $MC < 0$ отримаємо:

$$R_K(MC_{DK}) = R(\sigma_{2n}) - R(\sigma_{n+1}) * R(MA_{DK}) + R(MB_{DK}) * R(MA_{DK}), \quad (8)$$

$$4). \quad MA < 0; \quad MB < 0 :$$

$$\begin{aligned} & MA_{DK} = (2_{n+1} - a), \text{ тобто } a = 2_{n+1} - MA_{DK}; \quad MB_{DK} = (2_{n+1} - b), \text{ тобто } b = 2_{n+1} - MB_{DK}; \\ & MC > 0, \text{ тобто } MC_{DK} = a * b = (2_{n+1} - MA_{DK}) * (2_{n+1} - MB_{DK}) = \\ & = (2_{n+1})^2 - 2_{n+1} * MA_{DK} - 2_{n+1} * MB_{DK} + MA_{DK} * MB_{DK}. \end{aligned}$$

Оточ,

$$R_K(MC_{DK}) = [R(\sigma_{n+1})]^2 - R(\sigma_{n+1}) * R(MA_{DK}) - R(\sigma_{n+1}) * R(MB_{DK}) + R(MB_{DK}) * R(MA_{DK}), \quad (9)$$

Поєднуючи усі розглянуті вище викладки, отримаємо наступне контрольне рівняння для згортки добутку:

$$R_K(MC_{DK}) = [R(\sigma_{n+1})]^2 * N_A * N_b + R(\sigma_{2n}) * (N_A \oplus N_b) - R(\sigma_{n+1}) * N_b * R(MA_{DK}) - R(\sigma_{n+1}) * N_A * R(MB_{DK}) + R(MB_{DK}) * R(MA_{DK}). \quad (10)$$

Розглянемо використання формул (10) за умови, коли $MA > 0$ та $MB < 0$. Нехай $MA_{DK} = 0.101$, $(N_A = 0)$; $MB_{DK} = 1.010$, $(N_b = 1)$; $R(MA_{DK}) = R(0.101) = 10$; $R(MB_{DK}) = R(1.010) = 01$; $R(\sigma_{n+1}) = 01$; $(n = 4)$; $[R(\sigma_{n+1})]^2 = 01$; $R(\sigma_{2n}) = 10$; $(2n = 8)$.

$$R_K(MC_{DK}) = (01)^2 * 0 * 1 + 10 * (0 \oplus 1) - (01) * 1 * (10) - (01) * 0 * (01) + (10) * (01) = 0 + 10 - 10 - 0 + 10 = 10.$$

Для згортки добутку маємо: $MC_{DK} = 1.100010 \rightarrow R^{3^r}(MC_{DK}) = R(1.100010) = 10$; Таким чином, $R_K(MC_{DK}) = R^{3^r}(MC_{DK}) = 10$.

Отож, результат операції множення мантис коректний.

Для виконання контролю операції обчислення порядку добутку у коді з негативним нулем (при кількості розрядів $m = 5$) можливо записати наступні рівняння:

$$R_K(S) = R[(P_A)^{15}] + R[(P_B)^{15}] + R(Bx\Pi) - \text{ВивП_S} * R(\sigma_{m+1}); \quad (11)$$

$$R_K[(P_C)^{15}] = R_K(S) + R(NE) - \text{ВивП_NE} * R(\sigma_{m+1}), \quad (12)$$

де σ_{m+1} - вага $(m+1)$ -го розряду за модулем три ($\sigma_{m+1} = 2 * NE$, $NE = 1.0000$);

ВивП_S і ВивП_NE - вивідні переноси при формуванні суми S та порядку $(P_C)^{15}$ відповідно.

Недоліком формул (11) та (12) є те, що вивідні переноси ВивП_S і ВивП_NE після декількох тактів роботи МОП губляться. Для їхнього зберігання у склад МОП можливо увести тригери з керованою синхронізацією, але це приводить до ускладнення схеми. Тому формулі (11) і (12) доцільно переписати наступним чином. Як відомо, якщо сигнал переповнення операції підсумування порядків $OVR_{HH} = 0$, $\text{ВивП_S} \neq N_S$, де N_S - знаковий розряд коду $S = (P_A + P_B - 1)_{DK}$. Тому $\text{ВивП_S} = N_S$. З другого боку, $N_S = N_{PC}$, так як для одержання знаку N_{PC} знаковий розряд N_S треба інвертувати. З урахуванням цього можливо записати, що $\text{ВивП_S} = N_{PC}$, а $\text{ВивП_NE} = N_{PC}$.

Таким чином, остаточно формулу для виконання операції контролю над порядками у коді з негативним нулем можливо сформувати наступним чином:

$$R_K[(P_C)^{15}] = R[(P_A)^{15}] + R[(P_B)^{15}] + R(Bx\Pi) - N_{PC} * R(\sigma_{n+1}) + R(NE) - \overline{N_{PC}} * R(\sigma_{n+1}). \quad (13)$$

Розглянемо використання формул (13) у тому разі, коли $(P_A)^{15} = 1.0010$; $(P_A)^{15} = 1.0001$; $m = 5$; $\text{mod } 3$; $R[(P_A)^{15}] = R(1.0010) = 11$; $R[(P_B)^{15}] = R(1.0001) = 10$; $R(Bx\Pi) = 01$; $R(NE) = R(1.0000) = 01$; $R(\sigma_{m+1}) = 10$; $N_{PC} = 1$.

За цих умов:

$$R_K[(P_C)^{15}] = 11 + 10 + 01 - 1 * (10) + 01 - 0 * (10) = 10.$$

$(P_C)^{15} = 1.0100$, таким чином, $R^{3^r}(P_C)^{15} = 10 \rightarrow R_K[(P_C)^{15}] = R^{3^r}(P_C)^{15}$,

що дає підставу рахувати коректним результат операції обчислення порядків.

2.3. Розробка функціональної схеми МОП

Функціональну схему (ФС) МОП доцільно будувати починаючи з окремих її блоків, які потім на завершальному етапі поєднуються в загальну схему. Очевидно, що ФС МОП доцільно поділити на блоки процесорних елементів (на основі ВІС ВС1, ВУ4), оперативної пам'яті (ОП), мікропрограмної пам'яті (МПП) і їх обрамлення (лічильників, реєстрів та інших елементів середнього ступеня інтеграції).

Припустимо, що МОП треба реалізувати на базі архітектури типу А – 0 (рис. 3) з використанням двофазної системи синхронізації та ВІС ВС1 і ВУ4. Для побудови схем обрамлення (реєстрів та лічильників) призначено мікросхеми K155TM2 і K155IE7 [12, 27].

На рис. 9 наведено фрагмент такої ФС з наступними позначками:

- **РК** - реєстр команд (використовується для збереження коду поточної команди впродовж всього циклу виконання програми);
- **ПРА** - перетворювач початкової адреси (здійснює перетворення 8 -розрядного коду операції обраної команди (КОП) у 12 - розрядний початковий адрес (ПОЧ_А) першої мікрокоманди мікропрограми УА);
- **ФАМ** - формувач адреси мікрокоманд (ФАМ) на основі мікросхеми ВУ4;
- **МПП** - мікропрограмна пам'ять (реалізується на елементах пам'яті типу ROM і зберігає мікропрограми команд МОП у вигляді послідовностей окремих зв'язань між собою мікрокоманд);
- **РМК** - реєстр мікрокоманд (використовується для збереження поточної мікрокоманди впродовж всього циклу виконання мікрокоманд);
- **ПК** - пульт керування (задавач початкової адреси поточної програми і формувач сигналів “Пуск” і “Зупинка” МОП);
- **ТП** - тригер пуску - зупинки (вмикає або вимикає тактові сигнали $\overline{G1}$ та $\overline{G2}$ для синхронізації блоків МОП);
- **БС** - блок синхронізації (формувач тактових сигналів $\overline{G1}$ і $\overline{G2}$);
- **БК** - блок кон'юнкторів (формувач початкової (нульової) адреси першої мікрокоманди);
- **ДС** - формувач (дешифратор) керуючих сигналів U_1, U_2, \dots, U_{27} .

2.3.1. Початковий запуск і зупинка МОП

Припустимо, що до початку роботи МОП програма обчислення функції Y (табл. 25) та початкові дані (табл. 24) знаходяться в основній (оперативній) пам'яті, а в МПП записані мікропрограми команд МОП: MOV, MUL, ..., STOP (іх ще треба розробити). Крім того, необхідно брати до уваги, що після вимикання живлення за допомогою RC – ланцюга тригер пуску – зупинки (ТП) скидається у нульовий стан. Припустимо також, що за допомогою тумблерного реєстра з пульта керування в ЛАК автоматично завантажується початкова адреса програми ($A_{\text{поч_ПК}} = 0$).

Запуск системи відбувається після натискання кнопки “Пуск”. При цьому формується короткочасний імпульс низького рівня (логічного нуля), за яким тригер ТП перекидається у стан одиниці і вмикає блок синхронізації (БС). Останній формує тактові сигнали $G1$ і $G2$, після чого на виході блоку кон'юнкторів (БК) під час дії сигналу “Пуск” формується код інструкції ВУ4 JZ (MI = 0000) - тобто виконується безумовний переход за нульовою адресою МПП.

Далі ФАМ (ВУ4) після надходження чергового тактового сигналу $\overline{G2}$ виконує інструкцію JZ. При цьому на його виході Y формується нульова адреса

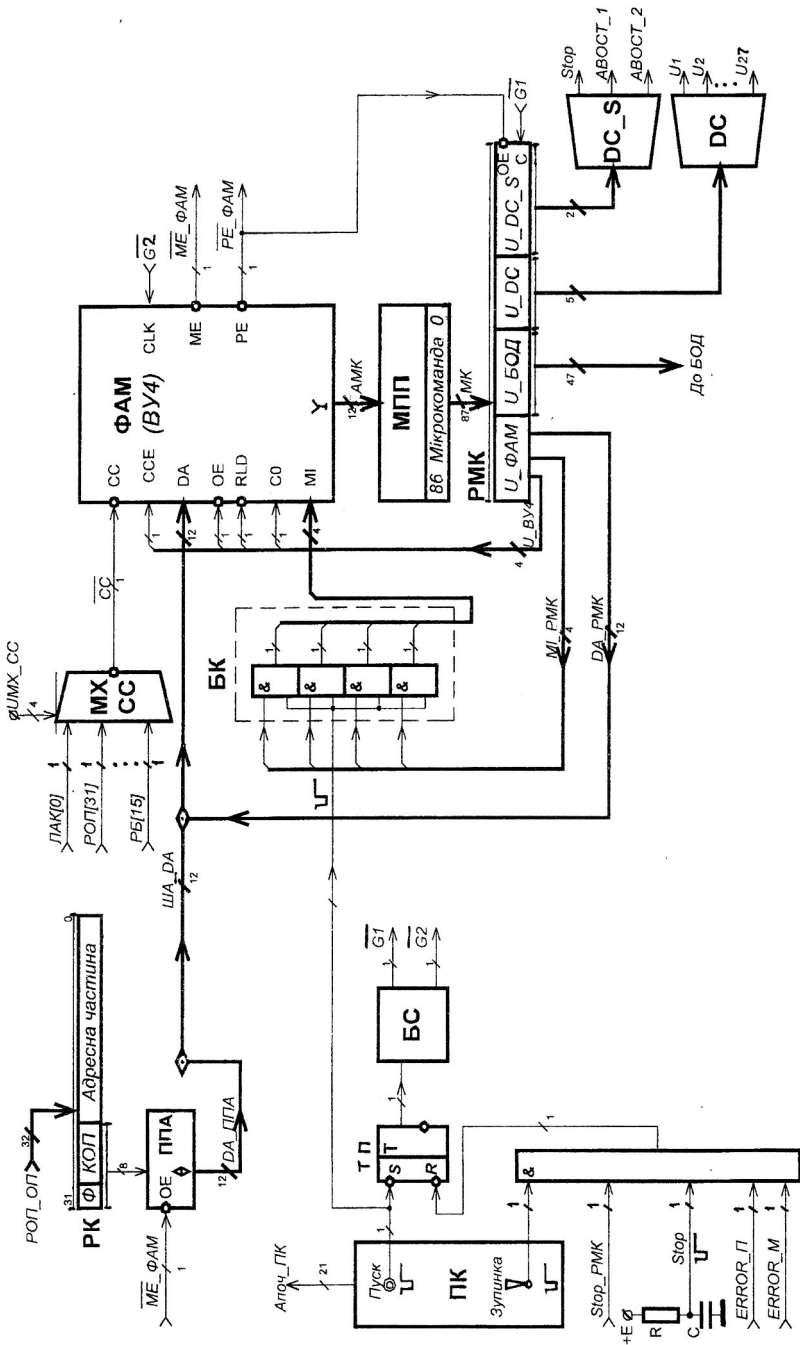


Рисунок 9. Функциональна схема MOPI (фрагмент 1)

мікрокоманди ($AMK = 0$). Одночасно з цим відбувається скидання покажчика стека ($SP = 0$).

За адресою AMK із МПП читається нульова мікрокоманда (MK) мікропрограми і після надходження чергового тактового сигналу $G1$ MK записується у РМК. Вихід РМК утворює множину керуючих сигналів, які активізують необхідні блоки МОП.

Зупинка роботи МОП може бути здійснена трьома шляхами:

- натисканням кнопки "Зупинка" на пульті керування;
- за допомогою сигналу $Stop_PMK = Stop \vee ABOCT_1 \vee ABOCT_2$, де сигнали $Stop$, $ABOCT_1$ і $ABOCT_2$ формуються мікропрограмою і дешифруються DC_S (табл. 26);
- за допомогою апаратних сигналів $ERROR_P$ та $ERROR_M$, які формуються відповідно схемами контролю порядків та мантис.

У всіх цих випадках відбувається скидання тригера ТР по входу R і вимикання блока формування тактових сигналів синхронізації BC, що припиняє роботу МОП (рис. 9).

Формування дешифатором DC_S сигналів зупинки МОП.

Таблиця 26

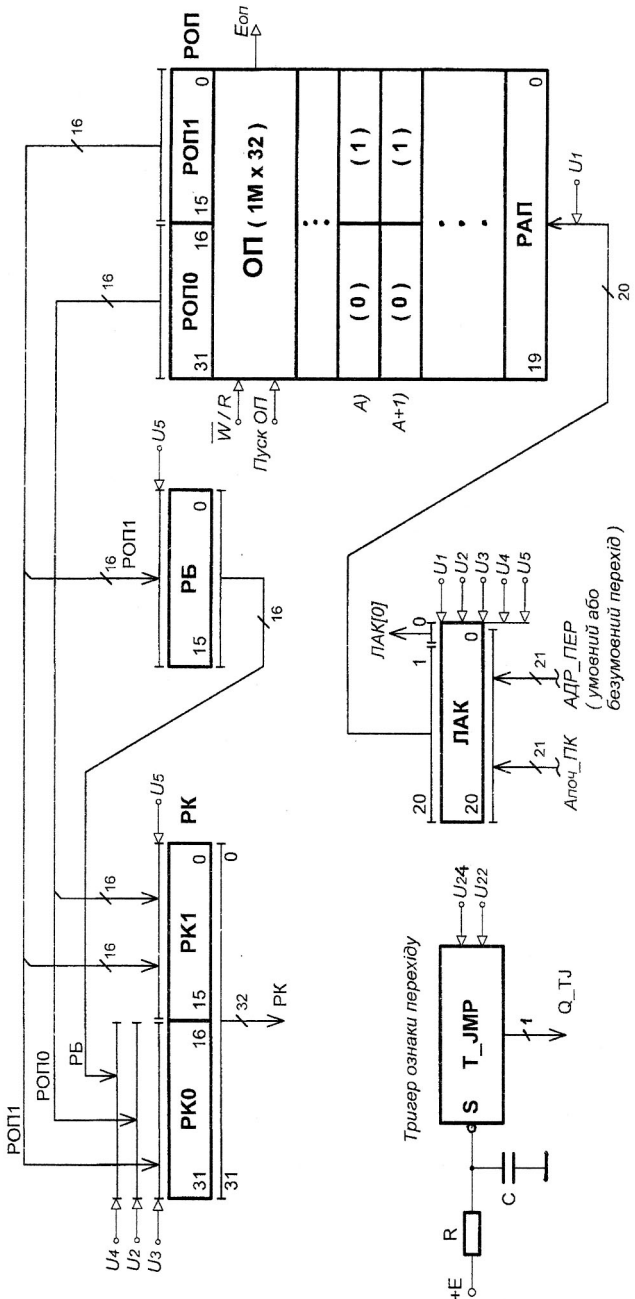
Код управління U_DC_S	Позначка сигналу	Призначення сигналу
0 0	Stop	Нормальне завершення мікропрограми
0 1	ABOCT_1	Переповнення суматору порядків
1 0	ABOCT_2	Порушення адресації
1 1	-	Сигнал зупинки не формується

2.3.2. Зчитування з ОП команди та декодування команди

Як випливає з аналізу складу команд МОП (рис. 4), команди можливо розділити на дві групи: команди довгого формату RS, RX (32 розряду) і команди короткого формату RR (16 розрядів). За умовою одна комірка ОП містить 32 розряду. Отже, в одній комірці оперативної пам'яті може бути розташована одна команда формату RX (RS), або дві команди формату RR, або одна команда типу RR і півкоманди типу RX (RS) (рис. 5). На рис. 10 наведені ці приклади і використані наступні позначки блоків:

- ОП** - оперативна пам'ять обсягом в 1М осередків із 32 розрядів кожна (призначена для збереження програм (на рівні команд) і даних);
- РАІ** - реєстр адреси пам'яті (містить адресу комірки пам'яті, до якої відбувається звернення в поточному такті роботи);
- РОП** - реєстр оперативної пам'яті (є проміжною ланкою (буфером) при виконанні операцій запису або зчитування даних);
- ЛАК** - лічильник адреси команд (містить адресу поточної команди комі'ютера);
- РБ** - реєстр буферний (зберігає одну команду формата RR або півкоманди формату RX або RS).
- T_JMP** - тригер ознаки переходу (використовується при виконанні умовного (або бузумовного) переходу до поточної команди; після викання живлення за допомогою RC – ланцюга тригер установлюється в одиничний стан).

Припустимо, що формат команди задається старшими розрядами команди – полем Φ : $\Phi = 01 \rightarrow$ команда формату RR; $\Phi = 10 \rightarrow$ команда формату RX і



$\Phi = 11 \rightarrow$ команда формату RS. Для зчитування команд використовується сигнал w/g , який задає режим роботи пам'яті. Якщо $w/g = 1$, в ОП відбувається зчитування вмісту комірки ОП в РОП за адресою РАР. Після закінчення зчитування формується сигнал $E_{OP} = 1$ (сигнал завершення операції зчитування).

Нульовий розряд ЛАК вказує, з якого півслова РОП починається команда.

Граф – схема алгоритму вибору із ОП команд зазначених вище форматів наведена на рис.11. Буферний реєстр (РБ) на 16 двійкових розрядів дозволяє організовувати тимчасове збереження однієї команди формату RR або півкоманди формату RX (RS). За рахунок цього вдається уникнути повторного звернення до ОП за командою, якщо раніше уже було звернення до цієї комірки ОП і, таким чином, підвищити продуктивність МОП.

Інакше буде відбуватися вибірка команди із ОП, якщо попередня команда є командою умовного або безумовного переходу. Для вказівки на цей случай тригер ознаки переходу T_JMP установлюється в одиничний стан ($Q_{TJ}=1$). При цьому із ОП відбувається зчитування слова, а надалі у залежності від ознак ЛАК [0], РОП [31] та РОП [15] в РК пересилається команда формату півслова (RR), або слова (RX / RS). Скидання тригера T_JMP у нульовий стан відбувається після завершення етапу вибірки команди з використанням керуючого сигналу U_{24} .

Після етапу зчитування команда зберігається у реєстрі команд (РК). Для декодування команди використовується перетворювач початкової адреси (ППА). Останній працює, якщо на його вході управління ОЕ з'являється активний сигнал низького рівня ($\overline{OE} = 0$). Це можливо організувати з допомогою ФАМ (ВУ4), який у разі виконання інструкції JMAP ($M1 = 0010$) формує на виході МЕ сигнал низького рівня ($\overline{ME} = 0$). В зв'язку з цим на рис. 9 вивід МЕ мікросхеми ВУ4 з'єднується із входом ОЕ ППА і, таким чином, вмикається схема декодування команди. ППА формує на виході (з'єднується через шину ША_DA із входом DA ВУ4) 12-розрядний двійковий код – адресу першої мікрокоманди підпрограми МПП, яка організує виконання у МОП поточної команди (RR, RX або RS), яка знаходиться у реєстрі команд РК.

2.3.3. Команда пересилки даних (MOV)

Якщо обчислення функції Y за формулою (2) виконується з використанням операндів із рухомою комою, операції доцільно виконувати окремо над порядками і мантисами. При цьому, очевидно, розрядність БОД (кратна розрядності однієї МПС BC1, тобто чотирьом) варто вибирати відповідно до розрядності мантиси у додатковому коді (27 розрядів, старший розряд - знаковий). В зв'язку з цим БОД побудуємо із 7-ї секції BC1. При цьому молодший (нульовий) розряд коду мантиси треба заповнити нулем.

Внутрішню пам'ять (РЗП) BC1 із 16 реєстрів будемо використовувати таким чином, як це наведено у табл. 24.

Пересилка значення початкового стівноможника (мантиси і порядку), бази B2, індексу X2 із оперативної пам'яті (ОП) у РЗП БОД здійснюється у МОП з використанням відповідних команд пересилання MOV.

На рис.12 наведено фрагмент з функціональної схеми взаємодії РК, ОП та БОД при виконанні команд пересилання даних. Формувачі коду ФК1 – ФК4 із трьома станами на виході виконують необхідні перетворення кодів (форматів float або integer) згідно із сигналами управління, які надходять із дешифратора DC (табл. 27).

ГСА команд формату RS для пересилання даних із ОП в РЗП БОД наведена на рис.13. Команда **MOV_IMR** пересилає дані типу integer - дані з фіксованою комою (рис. 13, а). При її виконанні вміст осередку ОП (за адресою S2 реєстра команд) читається в РОП. Далі через формувач коду ФК1 дані РОП подаються на

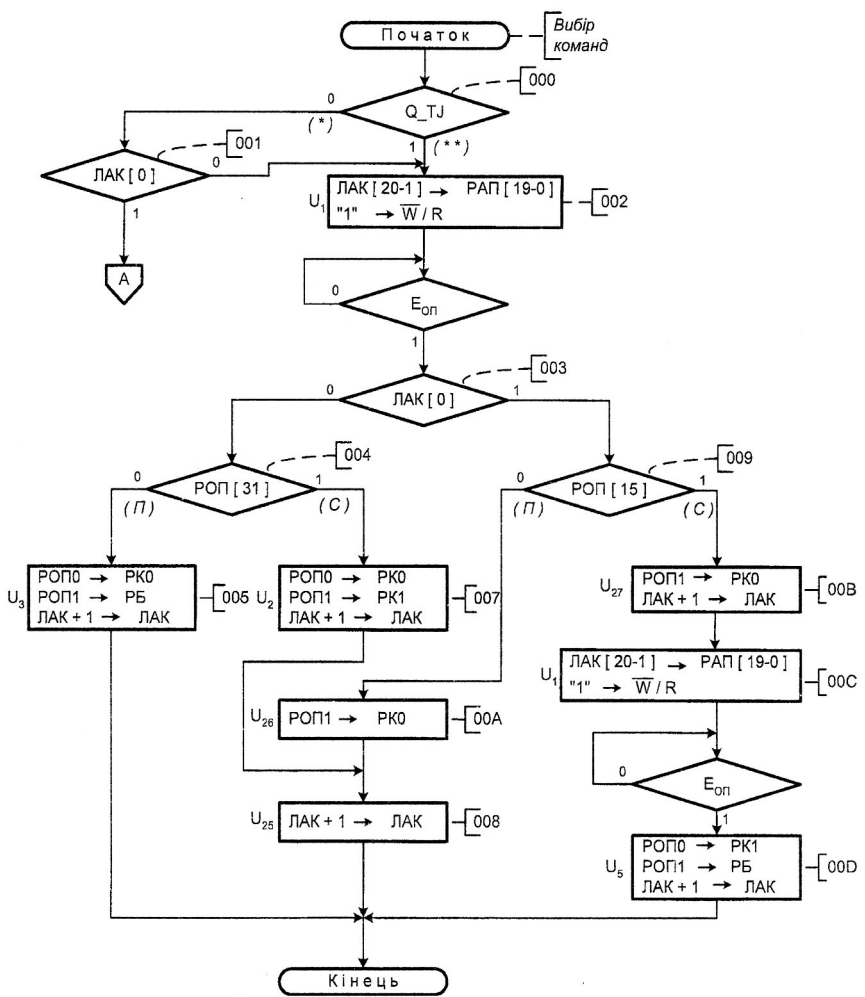


Рисунок 11 (початок). ГСА вибору із ОП команди формату RR (півслово – п) та RX/RS (слово – с):
 * — за природного переходу до початкової команди;
 ** — за умовного (або безумовного) переходу до поточеної команди

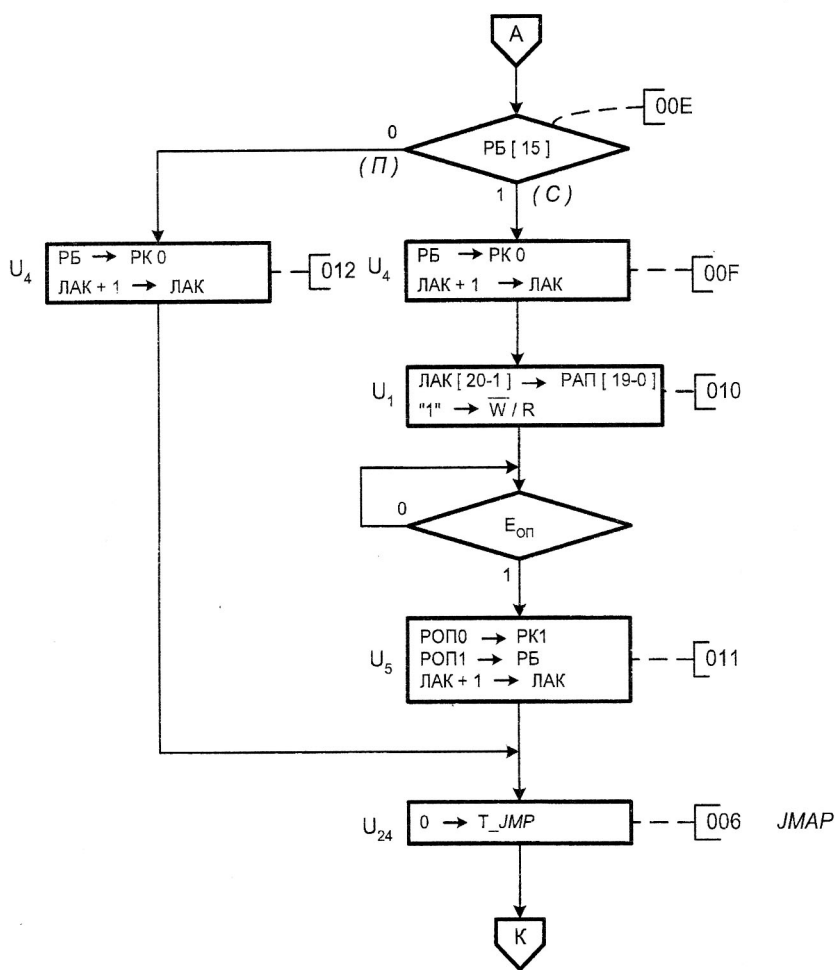
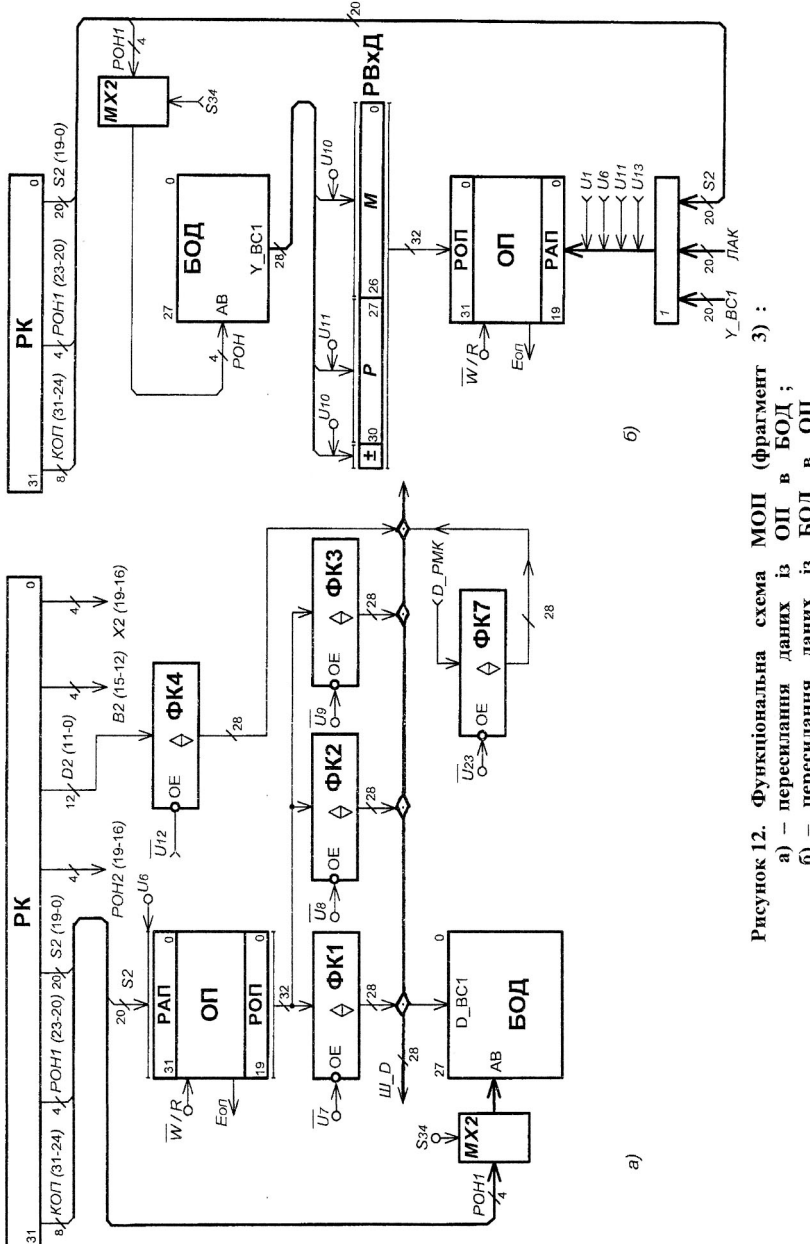


Рисунок 11 (кінець)



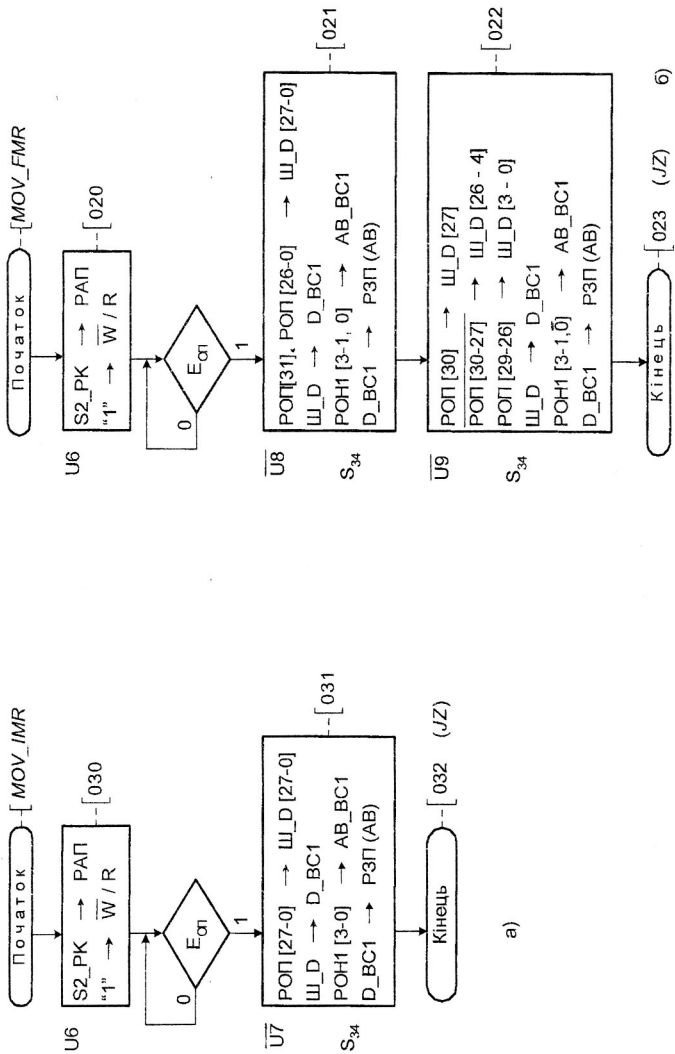


Рисунок 13. ГСА команда формату RS пересилки даних із ОП у РЗП БОД

Код управління U_DC (4-0)	Сигнал управлін.	Виконувані мікрооперації
0 0 0 0 0	U0	Порожня операція
0 0 0 0 1	U1	ЛАК [20 - 1] → РАП [19 - 0]
0 0 0 1 0	U2	РОП0 → РКО ; РОП1 → РК1 ; ЛАК + 1 → ЛАК
0 0 0 1 1	U3	РОП0 → РКО ; РОП1 → РБ ; ЛАК + 1 → ЛАК
0 0 1 0 0	U4	РБ → РКО ; ЛАК + 1 → ЛАК
0 0 1 0 1	U5	РОП0 → РК1 ; РОП1 → РБ ; ЛАК + 1 → ЛАК
0 0 1 1 0	U6	S2 PK → РАП
0 0 1 1 1	U7#	РОП [27 - 0] → III D [27 - 0]; ФК1
0 1 0 0 0	U8#	РОП[31].РОП[26-0] → III D[27-0] → P1 MMK ФК2
0 1 0 0 1	U9#	РОП [30] → III D [27] ; РОП [30]# → III D [26 - 4]; ФК3 РОП [29 - 26] → III D [3 - 0]
0 1 0 1 0	U10	Y BC1 [27] → PBxD [31] ; Y BC1 [26 - 0] → PBxD [26 - 0]
0 1 0 1 1	U11	Y BC1 [4 - 0] → PBxD [30 - 26] ; S2 PK → РАП
0 1 1 0 0	U12	0 [27 - 12].D2 PK → III D [27 - 0] ФК4
0 1 1 0 1	U13	Y BC1 → РАП
0 1 1 1 0	U14	PBxD → РОП
0 1 1 1 1	U15	III D [27 - 0] → P2 MMK
1 0 0 0 0	U16#	РОП [30] → III K [4] ; РОП [30 - 27] → III K [3 - 0] ФК5
1 0 0 0 1	U17	III K [4 - 0] → P1 PMH БК
1 0 0 1 0	U18	III K [4 - 0] → P2 PMK БК
1 0 0 1 1	U19#	Y BC1 [4 - 0] → III FK6 [4 - 0] БК , ФК6
1 0 1 0 0	U20	III FK6 [4 - 0] → P3 PC БК
1 0 1 0 1	U21	Z → TZ , D PMK → D BC1
1 0 1 1 0	U22	S2 PK → ЛАК ; 1 → T JMP
1 0 1 1 1	U23	D PMK → D BC1
1 1 0 0 0	U24	0 → T JMP
1 1 0 0 1	U25	ЛАК + 1 → ЛАК
1 1 0 1 0	U26	РОП1 → РКО
1 1 0 1 1	U27	РОП1 → РКО ; ЛАК + 1 → ЛАК

Примітка. # - позначка низького рівня активності сигналу.

Мультиплексор MX2 у залежності від коду S34 (1 - 0) (табл. 28) виконує функції адресного комутатора на вході порта АВ секцій BC1 БОД.

S34 (1 - 0) – значення адреси на вході MX2	Коди сигналів на виходу MX2
0 0	РОН1 PK (3 - 0)
0 1	РОН1 PK (3 - 1, 0#)
1 0	РОН1 PK (3 - 1, 0#)
1 1	AB PMK (3 - 0)

вивід D_BC1 БОД. Потім за адресою РОН1 РК здійснюється запис цього коду до відповідного реєстру РЗП.

Команда **MOV_FMR** пересилає дані типу float – дані з рухомою комою (рис. 13, б). При її виконанні, аналогічно попередній команді, вміст осередку ОП (за адресою S2) читається в РОП. Надалі з використанням формувачів ФК2 і ФК3 відбувається формування кодів мантиси та порядку на вході БОД згідно з вимогами інтерфейсу БОД. Наприкінці за адресою РОН1 РК здійснюється запис коду у два суміжні реєстри РЗП.

Команда **MOV_FRM** виконується за допомогою команди RS і дозволяє виконати завантаження результату (у форматі float) із РЗП в основну пам'ять МОП. ГСА виконання цієї команди наведена на рис. 14. Припустимо, що результат обчислення функції (2) міститься у реєстрі мантиси R0 (в додатковому коді) і реєстрі порядку R1 (у коді з негативним нулем). Тому до початку операції запису в ОП R0.R1 за допомогою зовнішнього реєстра РВхД згортається у канонічний формат з рухомою комою ; (знак мантиси - порядок - мантиса) Так як мантиса і порядок результату розташовані у суміжних реєстрах РЗП1 (R0.R1), адреса порядку в алгоритмі згортання виконується інвертуванням молодшого розряду поля РОН реєстра команд. Умовно цю операцію інвертування будемо записувати у наступному вигляді: РОН_РК [3 – 1, 0].

На рис. 15 наведена ГСА команди **MOV_FMR** пересилання даних з рухомою комою із ОП в РЗП з використанням команди RX. Цю команду доцільно організовувати у вигляді підпрограм обчислення виконавчої адреси Авик₂ та зчитування операнда з ОП за цією адресою.

ГСА підпрограми обчислення виконавчої адреси Авик₂

При обчисленні Авик₂ згідно з формулою (1) як акумулятор (АКК) використуємо реєстр R2 РЗП. В зв'язку з цим до початку обчислення (рис.15) у ГСА виконується скидання R2 (блок 1). Потім до R2 послідовно додається значення індексу X2 (блок 2), бази B2 (блок 4) і зміщення D2 (блок 5). При цьому, якщо код B2 в РК дорівнює нулю, база безумовно рахується рівною нулю і у цьому випадку блок 4 ГСА не виконується.

В загальному випадку, очевидно, на кожному кроці проміжних обчислень Авик₂ необхідно реалізувати перевірку порушення адресації основної пам'яті. За попередньою умовою обсяг ОП складає 1М осередків з 32 розрядами кожний. Так як $1M = 2^{20}$, тому максимальна кількість розрядів РАП дорівнює 20. В зв'язку з цим, якщо у процесі обчислення Авик₂ в одному з розрядів реєстра R2 з 21 до 31 з'являється хоча б одна одиниця, варто формувати сигнал аварійного завершення операції (ABOCT_2) через порушення адресації.

ГСА підпрограма зчитування операнда за адресою Авик₂

Після обчислення виконавчої адреси Авик₂ виконується підпрограма зчитування з ОП за цією адресою операнда. Для цього виконується цикл читання з основної пам'яті операнда у форматі з рухомою комою. Далі виконується спеціальне перетворення формату операнда з використанням формувачів ФК2 та ФК3 і занесення його в РЗП у суміжні реєстри (блоки 10 та 11 ГСА), наприклад, запис мантиси в R14 і порядку числа в R15.

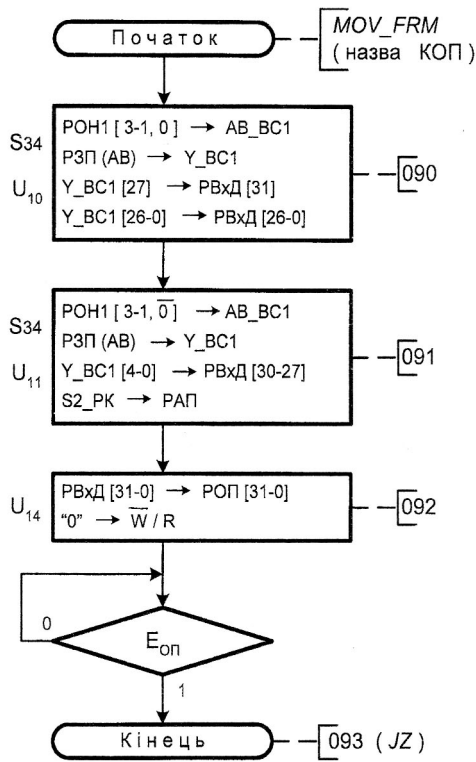


Рисунок 14. ГСА команди формату RS для пересилки даних із РЗП БОД в основну оперативну пам'ять МОП

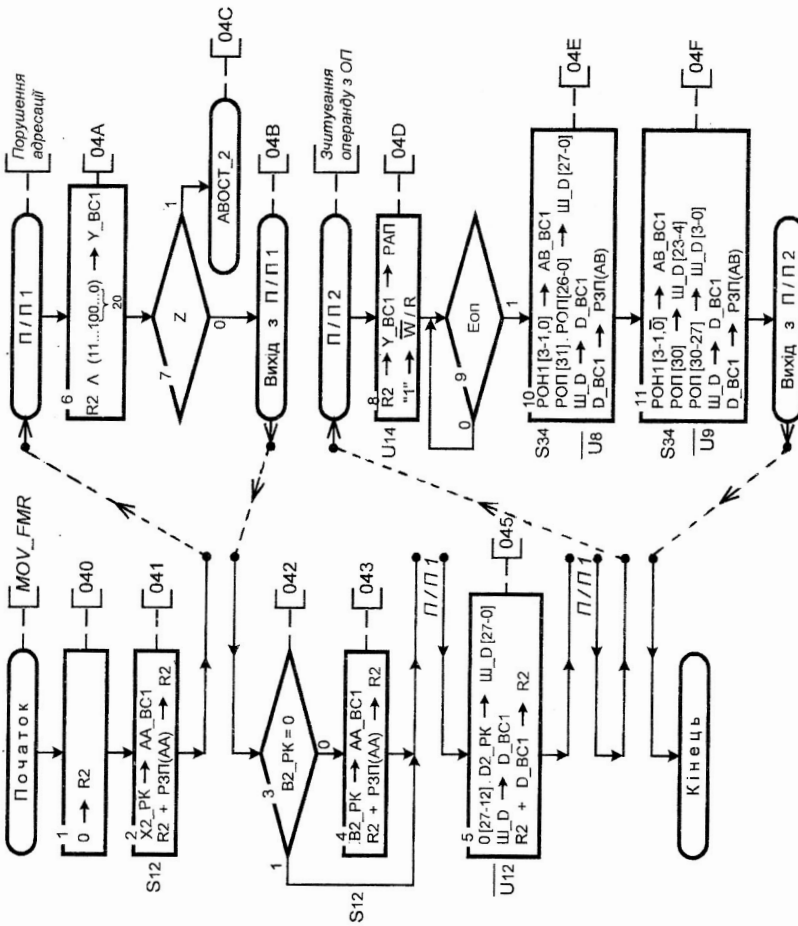


Рисунок 15. ГСА команда RX для пересилки даних із ОП в РЗП БОД

2.3.4. Команди обробки даних (DEC_I, JMP_Z, MUL_F)

Припустимо, що команда декрементування **DEC_I** має формат типу RR і при її виконанні відбувається зменшення на одиницю вмісту реєстру РЗП, номер якого задається в полі РОН1 реєстра команд (рис. 16. а). При цьому одночасно результат операції передається на шину F BC1 і формується ознака нуля Z, яка запам'ятується у тригері TZ за керуючим сигналом U₂₁.

Приймемо також, що команда умовного переходу **JMP_Z** формату RS працює звичайно після команди DEC_I (рис. 16, б). При цьому відбувається перевірка вмісту тригера TZ. Якщо вміст TZ = 1, адреса S2 реєстра команд передається у лічильник адреси команд (ЛАК) (сигнал U₂₂) і, таким чином, змінюється послідовний хід виконання програми. Одночасно відбувається установлення в однійчний стан тригера T_JMP. У протилежному разі (якщо TZ = 0) команда завершує свою роботу звичайним чином, тобто виконується інструкція JZ ФАМ ВУ4.

Припустимо, що команда **MUL** відноситься до команд формату RR. Отож, для її виконання операнди (множене та множник) зазделегідь необхідно розташувати в РЗП БОД. Тому попередньо до виконання команди MUL перший співмножник необхідно завантажити, наприклад, в реєстри R0 (мантиса) і R1 (порядок), а другий - в реєстри R14 (мантиса) та R15 (порядок) за допомогою відповідних команд пересилання даних MOV.

На рис.17 наведено фрагмент 4 функціональної схеми БОД та схем обрамлення, які необхідні для виконання програми. Буферні підсилювачі (БП) з трьома станами підключенні до клем зсуваців БОД PF3, PF0, PQ3 та PQ0 і дозволяють організувати комутацію інформаційних розрядів в операціях зсуву. Для цього команда зсуву праворуч старших розрядів часткових добутків BC1 (у цьому випадку розряд I7 інструкції BC1 дорівнює нулю) подає на клему PF3 вихід керованого інвертора (КІ) відповідно з (5). При виконанні операції відновлення нормалізованого результату мантиси добутку необхідно виконати її зсув ліворуч на один розряд (у цьому випадку розряд I7 = 1). Для цього на клемі PF0 і PQ0 БОД в цьому випадку через БП подається код логічного нуля.

Нехай старша частина добутків Π_{ct} знаходиться в реєстрі R10 РЗП, а молодша Π_{ml} - в реєстрі RQ. Тоді до початку циклу множення (звернення до підпрограми MULT) доцільно переслати мантису множника із реєстру R14 в реєстр RQ, що дозволить у подальшому виконувати зсув подвійної довжини (рис. 8).

Робота формувачів кодів ФК1 – ФК4 та мультиплексора MX2 ФС була розглянута раніше. Мультиплексор коду MX1 у залежності від коду S12 (2 – 0) формує код (табл. 29), який потім подається до адресного порту АА БОД.

Алгоритм роботи мультиплексора MX1. Таблиця 29

S12 (2-0) – значення адреси на вході MX1	Коди сигналів на вихіду MX1
0 0 0	X2 PK
0 0 1	B2 PK
0 1 0	AA PMK
0 1 1	AB PMK
1 0 0	РОН1 PK

Сигнал OVR_{HH} ФС дозволяє виявити виникнення переповнення операції підсумування порядків у коді з негативним нулем і формується згідно з формулою

$$OVR_{HH} = \overline{F3} \oplus C4. \quad (14)$$

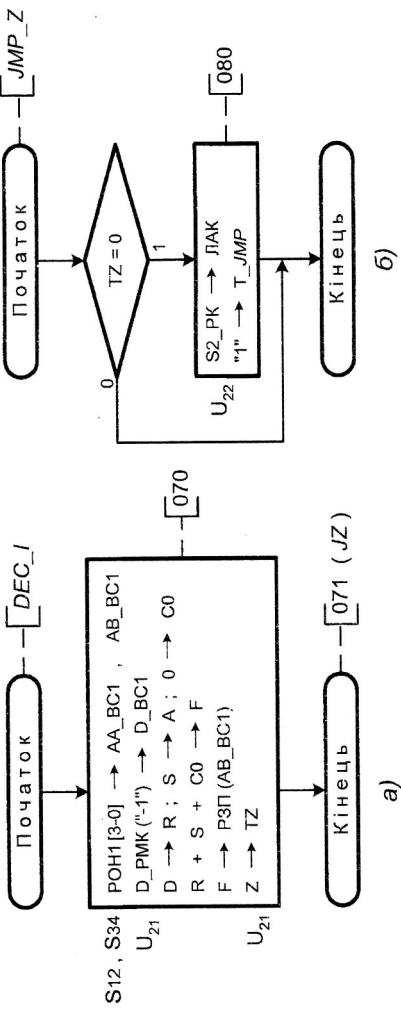


Рисунок 16. ГСА виконання команд DEC_I та JMP_Z

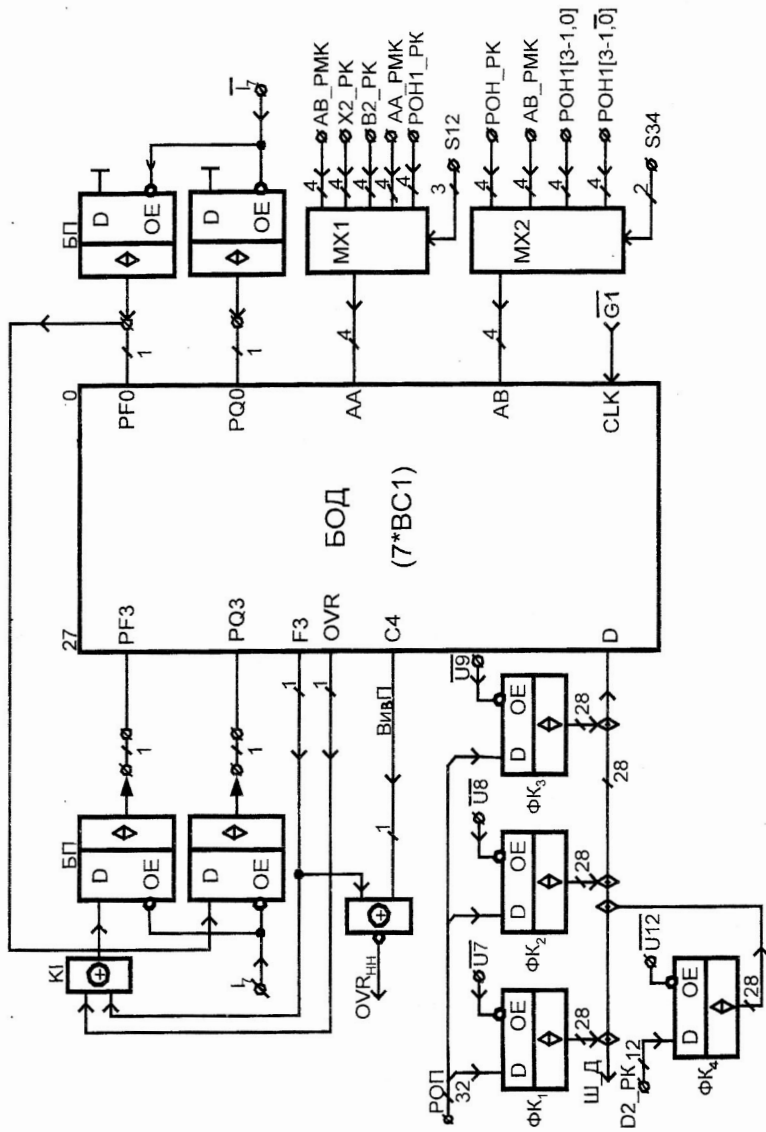


Рисунок 17. Функциональная схема МОИ (фрагмент 4)

ГСА підпрограми множення чисел з рухомою комою

Припустимо, що до звертання до підпрограми множення мантиси (у додатковому коді) множемого $M_{M\bar{H}K}$ та множника $M_{MK\bar{H}K}$ розташовані відповідно в реєстрах R0 і R14 РЗП BC1 у наступному форматі:

$$\pm' XXX \text{ } XXXX \text{ } XXX0. \quad (15)$$

Запис нуля праворуч від молодшого розряду мантиси обумовлено узгодженням розрядності мантиси в ОП (27 розрядів) із розрядністю семи секцій БОД (28 розрядів).

Припустимо також, що до початку операції порядок (у коді з негативним нулем) множемого $P_{M\bar{H}H}$ і множника $P_{MK\bar{H}H}$ знаходяться відповідно в реєстрах R1 і R15 РЗП у наступному форматі:

$$\pm' \underline{+++} \underline{+++} \underline{+++} \underline{+++} \underline{+++} \underline{+++} \underline{+++} XXXX'. \quad (16)$$

Призначемо також реєстр R10 для збереження старших розрядів добутку і RQ - молодших розрядів добутку, а спочатку - мантиси множника (MMK).

При цих умовах граф - схема алгоритму множення операндів наведена на рис.18. До початку циклу множення мантис (за алгоритмом "A") відбувається скидання реєстра старших розрядів часткових добутків (R10) і в лічильник (PA / CT) ВУ4 записується код 26 (на одиницю менше кількості повторень циклу). Ці дії відбіті у блоці 1 ГСА.

Цикл множення мантис (у додатковому коді) виконується у такий спосіб. З використанням операції маскування виконується аналіз (блоки 2, 3) по озnaці нульового результату (Z) молодшого розряду множника $RQ[0]$. Якщо $RQ[0]$ містить одиницю, то до старших розрядів часткових добутків R10 додається множене (блок 4). Далі відбувається зсув праворуч подвійної довжини отриманого результату підсумовування в R10 і множника в RQ , яка наведена за схемою рис.8. Якщо $RQ[0] = 0$, здійснюється тільки операція подвійного зсуву (блок 5) R10 і RQ (без додавання множемого).

Один цикл множення на поточний розряд множника завершується зміненням вмісту лічильника PA / CT на одиницю і перевіркою його стану на нуль. Ця операція здійснюється ФАМ ВУ4 (блок 6). БОД у цьому такті виконує порожню операцію (NOP).

Якщо $PA / CT \neq 0$, цикл множення продовжується шляхом передачі керування до блоку 2. У протилежному випадку відбувається вихід з циклу. Далі виконується крок корекції - множення на знаковий розряд множника (блок 7). Якщо знаковий розряд негативний (дорівнює одиниці), від отриманого часткового добутку віднімається множене (блок 8) шляхом підсумовування перетвореного множемого.

Етап округлення старшої частини мантиси результату виконується у блоках 9 і 10. Для цього виконується аналіз старшого розряду (F3) реєстра RQ . Зазначемо, що після завершення операції множення мантис, у реєстрі RQ зберігаються молодші розряди часткових добутків. Якщо $F3 = 1$, то для округлення результату до старших розрядів часткових добутків R10 додається одиниця (блок 10).

У блоках 11, 12 та 14 ГСА здійснюється перевірка порушення нормалізації результату (MC_{dk}) праворуч на один розряд. Якщо знаковий і суміжний розряди MC_{dk} не збігаються (1.0 або 0.1), то отриманий результат не вважається нормалізованим. Для одержання нормалізованого результату MC_{dk} зсувается

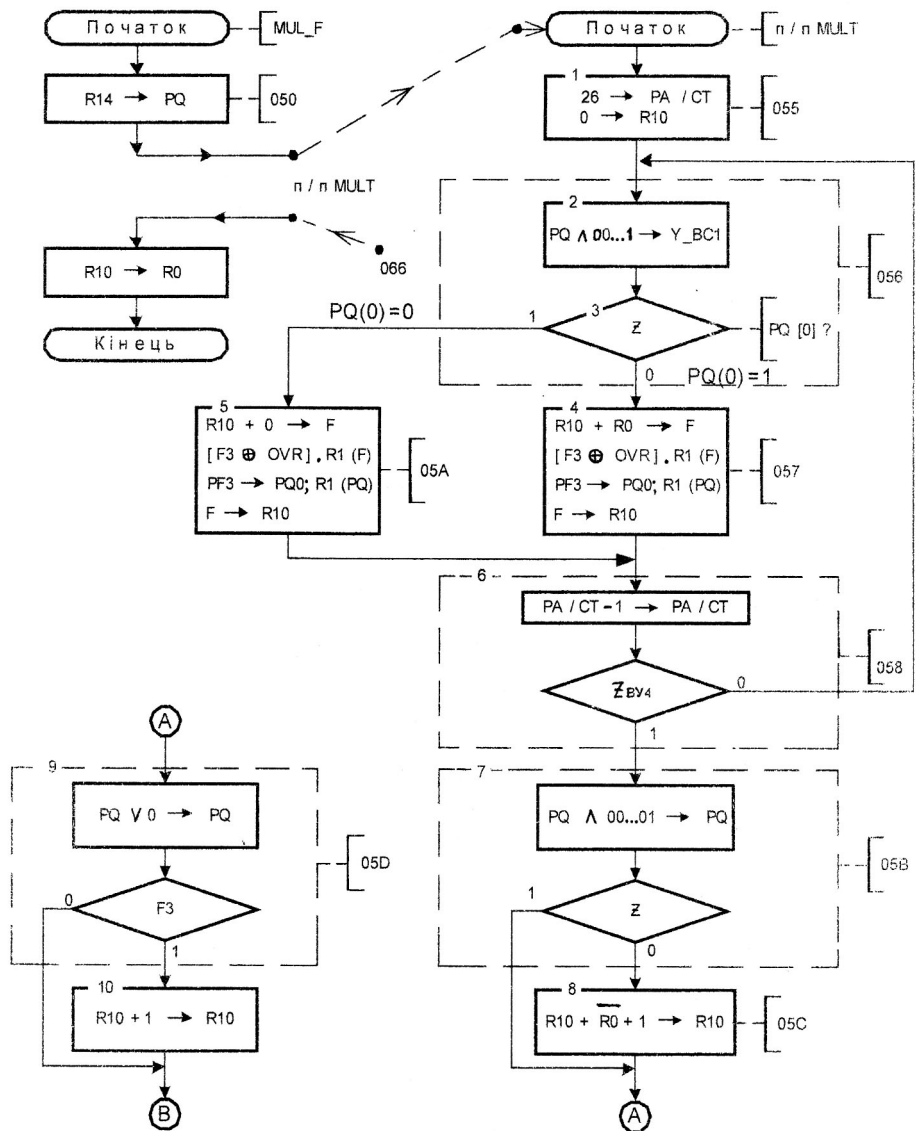


Рисунок 18. ГСА виконання команди множення з рухомою комою (початок)

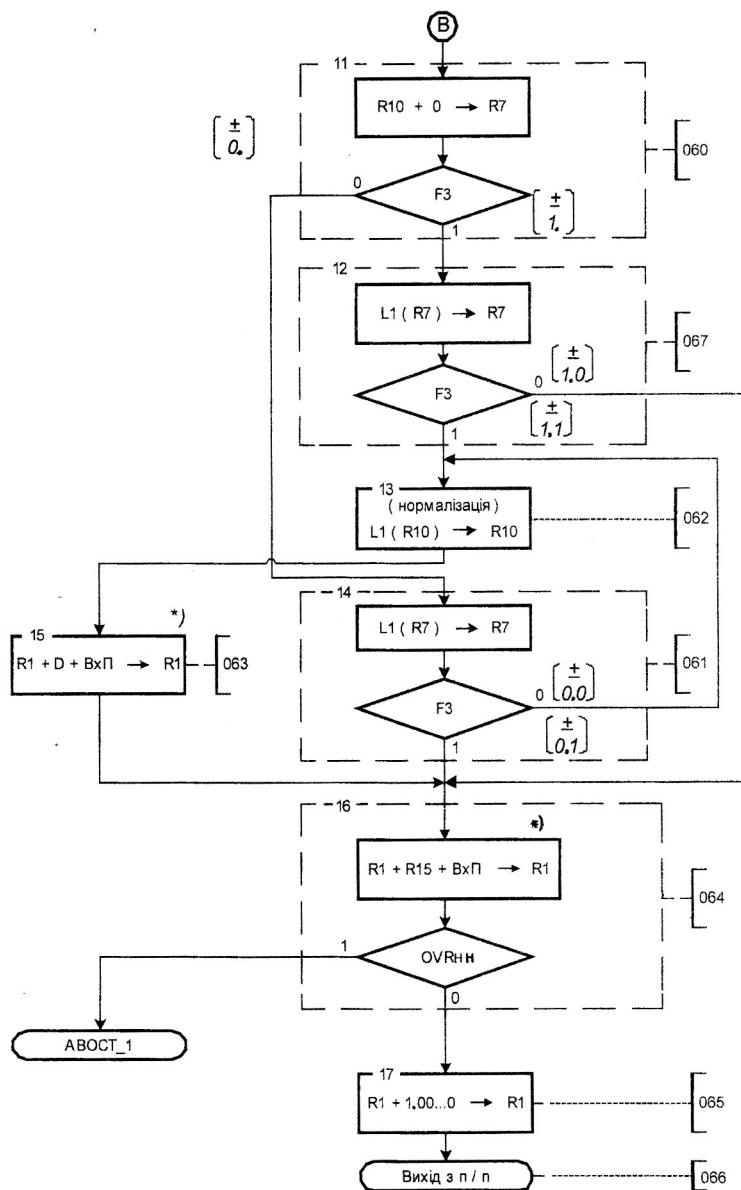


Рисунок 18 . Закінчення .
Примітка: *) $(-1)^{15} = 0.1110 \rightarrow D$;
 $Bx\Pi = 1$

ліворуч на один розряд (блок 13) і до реєстру R1 (у ньому розташуємо порядок результату) додається (-1) у коді з негативним нулем (блок 15).

Далі відбувається формування у реєстрі R1 остаточного порядку добутку шляхом додавання у коді з негативним нулем порядку множника, тобто R15 (блок 16). Якщо виникне переповнення ($OVR_{HH} = 1$), формується сигнал аварійної зупинки (ABOCT_1). У протилежному випадку шляхом інвертування старшого (знакового) розряду (блок 17) остаточно формується значення порядку добутку у коді з негативним нулем.

Після закінчення підпрограми множення для розташування результату в належних реєстрах виконується пересилання старшої частини добутку мантиси із реєстру R10 до реєстру R0.

2.3.5. Розробка блоку контролю (перевірки) операції множення з рухомою комою

Контроль операції множення з рухомою комою за модулем три будемо будувати окремо для порядків та мантис.

Функціональна схема блоку контролю (БК) за модулем три операції множення мантис (у додатковому коді), яка побудована згідно з формулою (10) наведена на рис.19, де використані наступні позначки блоків:

- **P1_MMK** і **P2_MMH** - входні реєстри для зображення у БК додаткових кодів мантис відповідно Mn та Mk;
- **P3_MC** - реєстр для збереження добутку мантис, який формується на виході Y_BC1 БОД;
- **СФЗ** - схема формування залишків за модулем три;
- **БМЗ** - блок множення залишків за модулем три;
- **SM_{M3}** - суматор за модулем три;
- **СП** - схема порівняння.

Алгоритм синтезу та аналізу роботи схем БПЗ та СФЗ можливо знайти у [1, 2].

Докладно алгоритм контролю операції множення мантис можливо звести до наступних послідовних кроків:

1. Мантиси Mn і Mk, які формуються ФК2, запам'ятовуються у реєстрах БК P1_MMK та P2_MMH.
2. З використанням СФЗ знаходяться контрольні залишки мантис за модулем три відповідно R (MB_{Dk}) та R (MA_{Dk}).
3. З використанням блоку множення залишків (БМЗ) знаходиться добуток контрольних залишків операндів.
4. З використанням суматорів за модулем три формується контрольний код R_K(MC_{Dk}) згідно з (10).
5. Добуток початкових значень мантис із БОД записується в реєстр БК P3_MC і далі з використанням СФЗ формується згортка п'ого коду за модулем три ($R^{3^T}(MC_{Dk})$).
6. Далі з використанням схеми порівняння (СП) виконується аналіз кодів R_K(MC_{Dk}) та R^{3^T}(MC_{Dk}). При розбіжності кодів формується сигнал помилки ERROR_M = 1 і відбувається зупинка роботи МОП.

Функціональна схема блоку контролю за модулем три операції підсумування порядків співмножників з негативним нулем, яка побудована згідно з формулою (13), наведена на рис. 20, де використані наступні позначки блоків:

- **P1_PMH** і **P2_PMK** - входні реєстри для збереження в БК порядків Mn та Mk у коді з негативним нулем;
- **P3_PIC** - реєстр збереження результату операції підсумування порядків, який формується на виході Y_BC1 БОД;

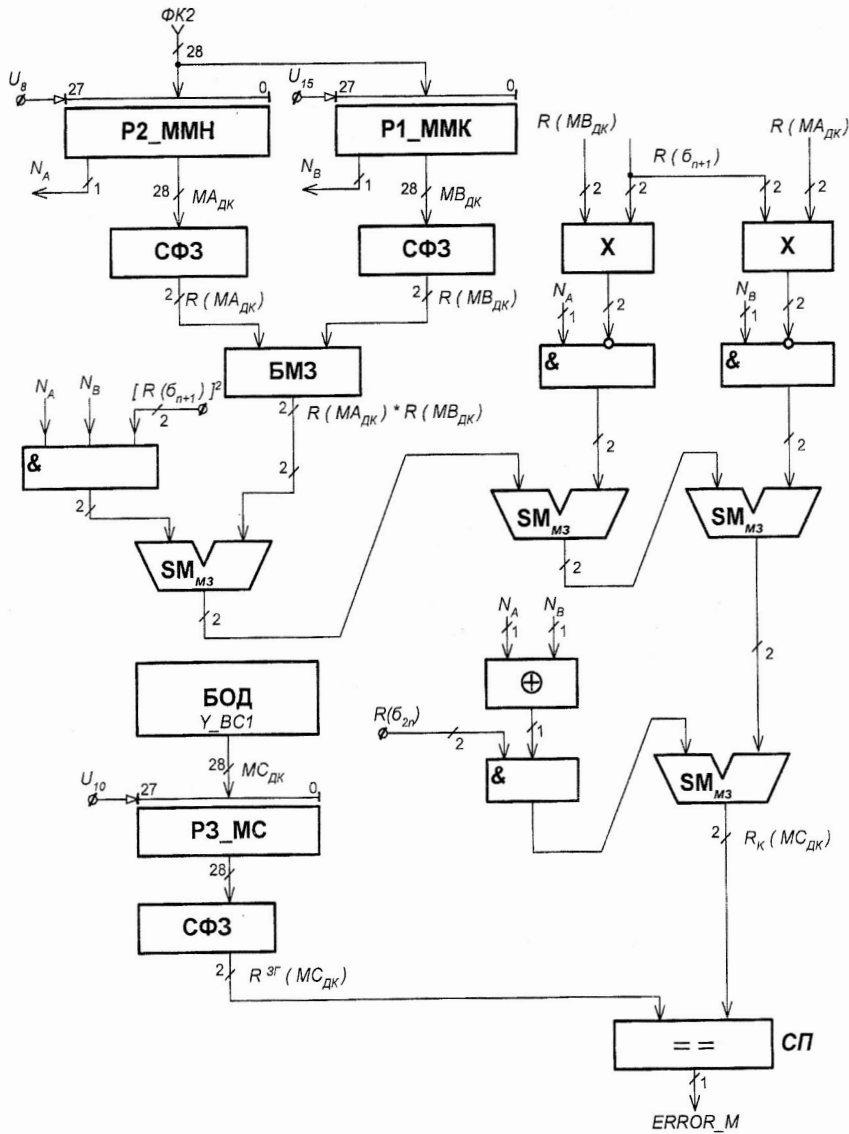


Рисунок 19. Функціональна схема блоку для контролю (перевірки) множення мантис за модулем три (фрагмент 5)

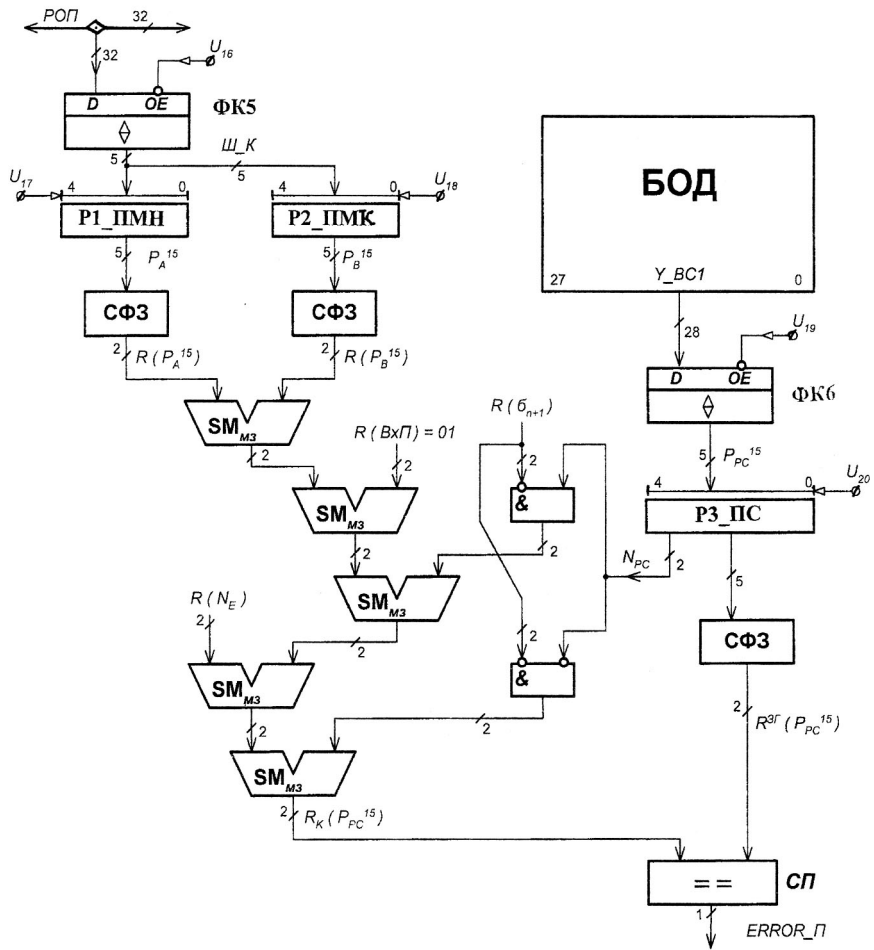


Рисунок 20 . Функціональна схема блоку для контролю (перевірки) підсумовування порядків за модулем три (фрагмент 7).

- **ФК5** і **ФК6** - формувачі 5 – и розрядних порядків у коді з негативним нулем.
- Обчислювальний алгоритм контролю перевірки операції підсумування порядків формально складається з наступних послідовних кроків:
1. Порядки ПМн та ПМк, які знаходяться на виході ФК5, запам'ятовуються в реєстрах Р1_ПМН та Р2_ПМК блоку контролю.
 2. З використанням СФЗ знаходиться згортка порядків, тобто коди R [(P_A)¹⁵] і R [(P_B)¹⁵].
 3. З використанням суматорів за модулем три (SM_{m3}) формується контролювальний код R_K [(P_{PC})¹⁵] згідно з (13).
 4. Результат операції підсумування початкових порядків з виходу БОД Y_BС1 та формувача ФК6 запам'ятується у реєстрі Р3_ПС БК.
 5. Знаходитьсь код згортки результату операції підсумування порядків R^{3Г} [(P_{PC})¹⁵].
 6. З використанням схеми порівняння (СП) виконується аналіз кодів R_K [(P_{PC})¹⁵] та R^{3Г} [(P_{PC})¹⁵]. При розбіжності кодів формується сигнал помилки ERROR_II і відбувається апаратна зупинка роботи МОП.

2.4. Розробка функціональних та принципових схем блоків МОП

Після побудови функціональних схем та алгоритмів роботи МОП може бути виконана розробка окремих блоків: оперативної та мікропрограмної пам'яті, БОД, блока синхронізації, блока контроля та схем обрамлення (реєстрів, формувачів кодів, лічильників).

Блоки МІПІ та ПІПА, як правило, будуються на мікросхемах ПЗП (ROM) або ПЛМ. Як ROM можуть бути використані ТТЛ - схеми з діодами Шоттки: K556РТ4 (за організацією 256 комірок по 4 розряда кожна) або K556РТ5 (512 x 8). При цьому затримка цих мікросхем дорівнює (або менше) 70 нс [11]. На виходах цих мікросхем знаходиться схеми з віткітим колектором, тому для формування сигналів на виході необхідно підключити зовнішній резистор, значення якого залежить від схем навантаження [34].

Реєстри мікрокоманд (PMK), команд (PK) та буферний реєстр (PB) можуть бути виконані на базі мікросхем типу K555ИР23, який має вісім біт та виконує запис даних по передньому фронту сигналу синхронізації [12].

Як мультиплексор коду ознак (MX CC) може бути використана мікросхема комутатора 8 x 1 типу K155КП15 [12, 27]. При реалізації мультиплексорів входів AA та AB БОД (MX1 і MX2), як правило, використовуються мікросхеми типу K555КП12 або K531КП11 [29].

Блок оперативної пам'яті (ОП) побудуємо на мікросхемах статичного типу (SRAM) K541РУ1A за організацією 4K x 1 [13 – 15]. Другі приклади проектування блоків статичної та динамічної пам'яті можливо знайти, наприклад, в [16, 35].

Блок обробки даних (БОД) довжиною 28 двійкових розрядів у МОП складається з 7 процесорних секцій K1804BC1. Приклади проектування варіантів цього блоку можливо знайти, наприклад, в [1].

Формувачі кодів із трьома станами (ФК1 – ФК3) можуть бути реалізовані на мікросхемах типу K155ЛП8 або КР1533ЛП8 [27, 28].

В пояснювальній записці до курсового проекту треба виконати синтез кожного блоку МОП (привести відповідні таблиці роботи і формулі), навести функціональні (або принципові) схеми, часові діаграми роботи блоку та разрахунок його параметрів (час спрацьовування, кількість і типи мікросхем та потужність живлення схеми).

2. 5. Розробка таблиць кодування

Після початкового запуску МОП (пункт 2.3.1) управління передається на мікрокоманду з нульовою адресою (АМК = 0). Ця мікрокоманда виконує зчитування команди із основної пам'яті МОП за адресою А_{поч_ПК} = 000 40, яка попередньо була занесена в ЛАК з пульта керування.

Далі обрана команда із РОП пересилається в РК, а в ЛАК додається одиниця, тобто формується адреса наступної команди. Після цього виконується інструкція ФАМ ВУ4 JMAP (МІ = 0010), яка формує активний сигнал МЕ = 0. Цей сигнал вмікає перетворювач початкової адреси (ППА). Останній на основі полів Ф та КОП регистра команд формує на своєму виходу початкову адресу мікропрограми (знаходиться в МПП) обраної команди (табл. 30).

Алгоритм роботи ППА.

Таблиця 30

РК (2 с. ч.)		Вихід ППА (16 с. ч.) (початкова адреса команди)	Мнемоничне позначення КОП команди та її формат	
Ф	КОП			
0 1	0 0 0 0 0 0	1 0 0	STOP	(RR)
1 1	0 0 0 0 0 1	0 2 0	MOV FMR	(RS)
1 1	0 0 0 0 1 0	0 3 0	MOV IMR	(RS)
1 0	0 0 0 0 1 1	0 4 0	MOV FMR	(RX)
0 1	0 0 0 1 0 0	0 5 0	MUL F	(RR)
0 1	0 0 0 1 0 1	0 7 0	DEC I	(RR)
1 1	0 0 0 1 1 0	0 8 0	JMP Z	(RS)
1 1	0 0 0 1 1 1	0 9 0	MOV FRM	(RS)

Далі відбувається виконання мікропрограми поточної команди, яка активізована у РК. Після її завершення управління передається на нульову адресу МПП, в якій виконується зчитування із ОП наступної команди. Якщо обрана команда STOP (КОП = 0 0 0 0 0 0), формується сигнал зупинки МОП (Stop_PMK = 1).

При виконанні мікрокоманд умовного переходу треба вибирати ознаку, яка буде на вході СС (ФАМ ВУ4). Необхідно формувати ту ознако, по якій виконується перехід в поточній команді. Для цієї мети в схемі передбачено мультиплексор MXCC, роботу і алгоритм якого наведено у табл. 31.

Алгоритм роботи мультиплексора MXCC.

Таблиця 31

UMX_CC (3-0)	Код виходу MXCC	Пояснення ознаки
0 0 0 0	РК [30]	Команда типу RX (0) або RS (1) (*)
0 0 0 1	Z	Нульовий стан АЛП БОД
0 0 1 0	F3	Старший розряд АЛП БОД
0 0 1 1	OVR _{HH}	Переповнення з негативним нулем
0 1 0 0	B2 РК Z	Нульовий стан бази B2
0 1 0 1	ЛАК [0]	Нульовий розряд ЛАК
0 1 1 0	РОП [31]	Команда RR (0) або RS (RX) (1) (*)
0 1 1 1	РБ [15]	Команда RR (0) або RS (RX) (1) (*)
1 0 0 0	TZ	Стан тригера TZ
1 0 0 1	T JMP	Стан тригера T JMP
1 0 1 0	РОП [15]	Команда RR (0) або RS (RX) (1) (*)

Примітка. (*): 0 - команда RR, 1 - команда RX або RS.

Формат слова мікрокоманди (МК) наведено в табл. 32. Одна МК в цілому містить 87 двійкових розрядів.

Формат мікрокоманди (86 – 0).

Таблиця 32.

Розряди МК	Позначення сигналу	Призначення
0 – 2	I (8 – 6)	Код інструкції BC1 для вказівки приймача результату
3 – 5	I (5 – 3)	Код інструкції BC1 для вказівки операції АЛП
6 – 8	I (2 – 0)	Код інструкції BC1 для вказівки джерел операндів
9 – 12	AA (3 – 0)	Адреса каналу А РЗП BC1
13 – 16	AB (3 – 0)	Адреса каналу В РЗП BC1
17	C0_BC1	Вхід переносу АЛП BC1 БОД
18	OE#	Вхід для керування станом виходу Y (з трьома станами)
19 – 47	D (27 – 0)	Зовнішня шина даних BC1
48 – 51	MI (3 – 0)	Шина коду інструкції мікрокоманди ВУ4
52	CCE	Сигнал дозволу перевірки сигналу умови на вході CC#
53	OEY#	Сигнал дозволу зчитування адреси на вихідну шину Y ВУ4
54	RLD#	Сигнал дозволу запису інформації в реєстр PA / CT ВУ4
55	C0_BY4	Сигнал інкрементації лічильника мікрокоманд ВУ4
56 – 68	DA (11 – 0)	Зовнішня шина адреси ВУ4
69 – 70	U_DC_S	Входи дешифратору сигналів зупинки роботи МОП
71 – 75	U_DC	Входи дешифратору керуючих сигналів (DC)
76 – 77	W# / R	Сигнал завдання режиму роботи ОП (0 – запис, 1 – зчитування, 2 – зберігання інформації)
78 – 81	UMX_CC	Сигнал для вмикання дешифратора MXCC
82 – 84	S12	Управляючий вхід мультиплексора MX1
85 – 86	S34	Управляючий вхід мультиплексора MX2

В табл. 33 для розглянутого випадку наведено вміст основної пам'яті ОП (у 16-ій системі числення), тобто програма обчислення функції Y (табл. 25), масив початкових значень змінних α_i (табл. 24), базова адреса (B2), початкове значення індексу (X2). Комірка за адресою 000 39 призначена для розміщення (після закінчення програми) результату $Y = +120$ (у 10-ій системі).

Кодування вмісту ОП для розглянутої програми (табл. 25).

Таблиця 33

Адреса (16 с. ч.)	Вміст комірки ОП (16 с.ч.)	Пояснення
0 0 0 0 0	0 0 0 0 0 0 0 0	Код повного нуля
0 0 0 3 1	4 2 0 0 0 0 0 0	$\alpha_1 = +1$ (float)
0 0 0 3 2	C 6 0 0 0 0 0 0	$\alpha_2 = -2$ (float)
0 0 0 3 3	4 7 0 0 0 0 0 0	$\alpha_3 = +3$ (float)
0 0 0 3 4	C A 0 0 0 0 0 0	$\alpha_4 = -4$ (float)
0 0 0 3 5	4 A 8 0 0 0 0 0	$\alpha_5 = +5$ (float)
0 0 0 3 6	0 0 0 0 0 0 3 0	Базова адреса В2 (int)
0 0 0 3 8	0 0 0 0 0 0 0 4	Початкове значення індексу X2 (int)
0 0 0 3 9	5 B C 0 0 0 0 0	Результат обчислення Y = 120 (float)
0 0 0 4 0 (0)	C 1 0 0 0 0 3 5	MOV FMR (RS)
0 0 0 4 1 (0)	C 2 3 0 0 0 3 8	MOV IMR (RS)
0 0 0 4 2 (0)	C 2 4 0 0 0 3 6	MOV IMR (RS)
0 0 0 4 3 (0)	8 3 E 3 4 0 0 0	MOV FMR (RX)
0 0 0 4 4 (0), (1)	4 4 0 E 4 5 3 0	MUL F (RR), DEC I (RR)
0 0 0 4 5 (0)	C 6 0 0 0 0 4 3	JMP Z (RS)
0 0 0 4 6 (0)	C 7 0 0 0 0 3 9	MOV FRM (RS)
0 0 0 4 7 (0)	4 0 0 0 0 0 0 0	STOP (RR)

На основі побудованих вище ГСА створимо далі таблиці кодування (мікропрограмми) мікропрограмної пам'яті (МПП). Робота БОД (на базі ВС1), мультиплексорів MX1, MX2 і десифратора керуючих сигналів DC відображається табл. 34. Робота ФАМ (на базі ВУ4), оперативній пам'яті, мультиплексора ознак (MXCC) відображається табл. 35. В цих таблицях вказана як адреса мікрокоманд, так і їхній вміст. Для скорочення розмірів таблиць значення усіх полів наведено в 16 – й системі числення. Позначка “*” у таблицях відображає байдужий стан окремих розрядів двійкового коду (0 або 1).

Архітектура МОП (A – 0), відноситься до класу дворівневих конвеєстних структур [3, 5]. При послідовній вибірці мікрокоманд одночасно зчитуються дві мікрокоманди (МК): БОД обробляє зчитану із МПП в РМК мікрокоманду, а ФАМ у цьому такті підготовляє адресу наступної МК. З урахуванням того, що у МОП вітсутній реєстр стану пропорів, мікрокоманди умовного переходу виконуються поспільово: спочатку у БОД виконується обрана МК і формуються ознаки (Z, N, OVR, ВивП), а потім ФАМ ВУ4 перевіряє необхідний пропор (Z або N або OVR або ВивП) і надалі формує адресу наступної мікрокоманди.

Адреса окремих мікрокоманд у таблиці кодування МПП визначається ГСА команд МОП, на яких праворуч з кожною мікрооперацією вказана адреса (у 16 – й системі числення) відповідної мікрокоманди МПП.

Таблиця кодування БОД (ВС1), DC, MX1 та MX2.

Таблиця 34

Адреса МК	Б О Д (В С 1)												Примітки
	I(8-6)	I(5-3)	I(2-0)	AA(3-0)	AB(3-0)	C0_BC1	OE#	D(27-0)	U_DC(4-0)	S12(2-0)	S34(1-0)		
Вибірка команди із ОП													
000	1	4	2	*	*	*	*	*	00	*	*		NOP, U0
001	1	4	2	*	*	*	*	*	00	*	*		NOP, U0
002	1	4	2	*	*	*	*	*	01	*	*		NOP, U1
003	1	4	2	*	*	*	*	*	00	*	*		NOP, U0
004	1	4	2	*	*	*	*	*	00	*	*		NOP, U0
005	1	4	2	*	*	*	*	*	03	*	*		NOP, U3
006	1	4	2	*	*	*	*	*	18	*	*		NOP, U24
007	1	4	2	*	*	*	*	*	02	*	*		NOP, U2
008	1	4	2	*	*	*	*	*	19	*	*		NOP, U25
009	1	4	2	*	*	*	*	*	00	*	*		NOP, U0
00A	1	4	2	*	*	*	*	*	1A	*	*		NOP, U26
00B	1	4	2	*	*	*	*	*	1B	*	*		NOP, U27
00C	1	4	2	*	*	*	*	*	01	*	*		NOP, U1
00D	1	4	2	*	*	*	*	*	05	*	*		NOP, U5
00E	1	4	2	*	*	*	*	*	00	*	*		NOP, U0
00F	1	4	2	*	*	*	*	*	04	*	*		NOP, U4
010	1	4	2	*	*	*	*	*	01	*	*		NOP, U1
011	1	4	2	*	*	*	*	*	05	*	*		NOP, U5
012	1	4	2	*	*	*	*	*	04	*	*		NOP, U4
Команда STOP (RR)													
100	1	4	2	*	*	*	*	*	00	*	*		NOP, U0
Команда MOV_FMR (RS)													
020	1	4	2	*	*	*	*	*	06	*	*		NOP, U6
021	2	0	7	*	*	*	*	*	08	*	1		D_BC1→P3Π(AB),U8
022	2	0	7	*	*	*	*	*	09	*	2		D_BC1→P3Π(AB),U9
023	1	4	2	*	*	*	*	*	00	*	*		NOP, U0
Команда MOV_IMR (RS)													
030	1	4	2	*	*	*	*	*	06	*	*		NOP, U6

031	2	0	7	*	*	*	*	*	07	*	1	D BC1→P3Π(AB),U7
032	1	4	2	*	*	*	*	*	00	*	*	NOP

Команда MOV_FMR (RX)

040	3	4	3	*	2	*	0	*	00	*	3	0 → R2, U0
041	3	0	1	*	2	0	0	*	00	1	3	R2 + P3Π(AA) → R2
042	1	4	2	*	*	*	*	*	00	*	*	NOP, U0
043	3	0	1	*	2	0	0	*	00	0	3	R2 + P3Π(AA) → R2
044	1	4	2	*	*	*	*	*	00	*	*	NOP, U0
045	2	0	5	2	2	0	0	*	0C	2	3	R2 + D BC1 → R2
046	1	4	2	*	*	*	*	*	00	*	*	NOP, U0
047	1	4	2	*	*	*	*	*	00	*	*	NOP, U0
048	1	4	2	*	*	*	*	*	00	*	*	NOP, U0

Підпрограма п / п №1 (порушення адресації)

04A	1	4	5	2	2	*	0	FF00000	00	2	3	R2 ∧ Маска → Y BC1
04B	1	4	2	*	*	*	*	*	00	*	*	NOP, U0
04C	1	4	2	*	*	*	*	*	00	*	*	NOP, U0

Підпрограма п / п №2 (читування з ОП операнду)

04D	1	3	3	2	2	*	0	*	0D	2	3	R2 → Y-BC1 → РАП
04E	2	0	7	*	*	0	0	*	08	*	1	D BC1→P3Π(POH1)
04F	2	0	7	*	*	0	0	*	09	*	2	D BC1→P3Π(POH1)

Команда DEC_I (RR)

070	2	0	5	*	*	0	0	FFFFFFF	15	4	1	DEC [(P3Π(POH1)], Z → TZ (U21)]
071	1	4	2	*	*	*	*	*	00	*	*	NOP, U0

Команда MULT_F (RR)

050	0	0	3	*	E	0	0	*	00	*	3	R14 → PQ
051	1	4	2	*	*	*	*	*	00	*	*	NOP
052	2	0	4	A	0	0	0	*	00	2	3	R10 → R0
053	1	4	2	*	*	*	*	*	00	*	*	NOP

Підпрограма MULT

055	2	4	4	A	A	*	0	*	00	2	3	0 → R10 (C _{CT})
056	1	4	6	*	*	*	0	0000001	00	*	*	RQ ∧ 00...1 → Y
057	4	0	1	0	A	0	0	*	00	2	3	R1 [(R10 + R0), PQ]
058	1	4	2	*	*	*	*	*	00	*	*	NOP
059	1	4	2	*	*	*	*	*	00	*	*	NOP
05A	4	0	3	*	A	0	0	*	00	*	3	R1 [(R10 + 0), PQ]
05B	1	4	6	*	*	*	0	0000001	00	*	*	PQ ∧ 00...1 → Y
05C	2	4	1	0	A	1	0	*	00	2	3	R10 – R0 → R10
05D	0	0	2	*	*	0	0	*	00	*	*	PQ ∨ 0 → PQ

Продовження таблиці 34.

05E	1	4	2	*	*	*	*	*	00	*	*	NOP
05F	1	4	2	*	*	*	*	*	00	*	*	CONT, NOP
060	2	0	4	A	7	0	0	*	00	2	3	R10 + 0 → R7
061	7	0	3	*	7	0	0	*	00	*	3	L1 (R7) → R7
062	7	0	3	*	A	0	0	*	00	*	3	L1 (R10) → R10
063	2	0	5	1	1	0	0	FFFFFF	00	2	3	R1 + (-1) ¹⁵ → R1
064	2	0	1	F	1	0	1	*	00	2	3	R1 + R15 → R1
065	2	0	5	1	1	0	0	8000000	00	2	3	Інвертув. знаку R1
066	1	4	2	*	*	*	*	*	00	*	*	NOP
067	7	0	3	*	7	0	0	*	00	*	3	L1 (R7) → R7
068	1	4	2	*	*	*	*	*	00	*	*	NOP
069	1	4	2	*	*	*	*	*	00	*	*	NOP

Команда MOV_FRM (RS)

090	1	0	3	*	*	0	0	*	0A	*	1	M → PBxD
091	1	0	3	*	*	0	0	*	0B	*	2	П → PBxD, S2 PK → РАП
092	1	4	2	*	*	*	*	*	0E	*	*	NOP, PBxD → РОП
093	1	4	2	*	*	*	*	*	00	*	*	NOP, U0

Команда JMP_F (RS)

080	1	4	2	*	*	*	*	*	00	*	*	NOP
081	1	4	2	*	*	*	*	*	00	*	*	NOP
082	1	4	2	*	*	*	*	*	16	*	*	NOP, S2 PK → ЛАК

Таблиця кодування ФАМ (ВУ4), ОП, МХСС. Таблиця 35

Адреса	МК	Ф А М (В У 4)						STOP	W# / R	UIMX_CC	Примітки
		MI(3-0)	CCE	OEY#	RLD#	C0_BY4	DA (11 - 0)				

Вибірка команди із ОП

000	3	1	0	1	1	002	3	2	9	CJP, Q TJ = 1? Да → 2
001	3	1	0	1	1	00E	3	2	5	CJP, ЛАК [0] = 1? Да → E
002	E	*	0	1	1	*	3	1	*	CONT, читання ОП
003	3	1	0	1	1	009	3	2	5	CJP, ЛАК [0] = 1 ? Да → 9
004	3	1	0	1	1	007	3	2	6	CJP, ЛАК [31] = 1 ? Да → 7
005	E	*	0	1	1	*	3	2	*	CONT
006	2	*	0	1	0	*	3	2	*	JMAP, декодування КОП
007	E	*	0	1	0	*	3	2	*	CONT
008	3	0	0	1	0	006	3	2	*	CJP, БП на 6
009	3	1	0	1	1	00B	3	2	A	CJP, РОП [15] = 1 ? Да → B

Продовження таблиці 35.

00A	3	0	0	1	1	008	3	2	*	CJP, БП на 8
00B	E	*	0	1	0	*	3	2	*	CONT
00C	E	*	0	1	0	*	3	1	*	CONT, читання ОП
00D	3	0	0	1	0	006	3	2	*	CJP, БП на 6
00E	3	1	0	1	0	012	3	2	7	CJP, РБ [15] = 1 ? Да → 12
00F	E	*	0	1	1	*	3	2	*	CONT
010	E	*	0	1	1	*	3	2	*	CONT
011	3	0	0	1	0	006	3	2	*	CJP, БП на 6
012	3	0	0	1	0	006	3	2	*	CJP, БП на 6

Команда STOP (RR)

100	0	*	0	1	1	*	0	2	*	JZ, БП на адресу 0
-----	---	---	---	---	---	---	---	---	---	--------------------

Команда MOV_FMR (RS)

020	E	*	0	1	1	*	3	1	*	CONT, читання із ОП
021	E	*	0	1	1	*	3	2	*	CONT
022	E	*	0	1	1	*	3	2	*	CONT
023	0	*	0	1	0	*	3	2	*	JZ, БП на адресу 0

Команда MOV_IMR (RS)

030	E	*	0	1	1	*	3	1	*	CONT, читання із ОП
031	E	*	0	1	1	*	3	2	*	CONT,
032	0	*	0	1	0	*	3	2	*	JZ, БП на адресу 0

Команда MOV_FMR (RX)

040	E	*	0	1	1	*	3	2	*	CONT
041	1	0	0	1	0	04A	3	2	*	CJS (виклик п / п № 1)
042	3	1	0	1	1	044	3	2	4	CJP, B2 PK Z = 1?
043	E	*	0	1	1	*	3	2	*	CONT
044	1	0	0	1	0	04A	3	2	*	CJS (виклик п / п № 1)
045	E	*	0	1	1	*	3	2	*	CONT
046	1	0	0	1	0	04A	3	2	*	CJS (виклик п / п № 1)
047	1	0	0	1	0	04D	3	2	*	CJS (виклик п / п № 2)
048	0	*	0	1	0	*	3	2	*	JZ, БП на адресу 0

Підпрограма п / п №1 (порушення адресації)

04A	3	1	0	1	1	04C	3	2	1	CJP, Z = 1 ?
04C	A	0	0	1	0	*	3	2	*	CRTN (вихід з п / п № 1)
04B	E	*	0	1	1	*	2	2	*	ABOCT_2 (зупинка МОП)

Підпрограма п / п №2 (читування з ОП операнду)

04D	E	*	0	1	1	*	3	1	*	CONT, читання із ОП
04E	E	*	0	1	1	*	3	2	*	CONT
04F	A	0	0	1	0	*	3	2	*	CRTN, (вихід з п / п № 2)

Команда DEC_I (RR)

070	E	*	0	1	1	*	3	2	*	CONT
071	0	*	0	1	0	*	3	2	*	JZ, БП на адресу 0

Продовження таблиці 35.

Команда MOV_FRM (RS)										
090	E	*	0	1	1	*	3	2	*	CONT
091	E	*	0	1	1	*	3	2	*	CONT
092	E	*	0	1	1	*	3	0	*	CONT, запис в ОП
093	0	*	0	1	0	*	3	2	*	JZ, БП на адресу 0

Підпрограма MULT

055	4	*	0	0	1	01A	3	2	*	PUSH, 26 → PA / CT
056	3	1	0	1	1	05A	3	2	1	CJP, Z = 1?
057	E	*	0	1	1	*	3	2	*	CONT
058	8	*	0	1	1	*	3	2	*	RFCT
059	3	0	0	1	0	05B	3	2	*	CJP, БП на адресу 05B
05A	3	0	0	1	0	058	3	2	*	CJP, БП на адресу 05B
05B	3	1	0	1	1	05D	3	2	1	CJP, Z = 1? (знак Mk)
05C	E	*	0	1	1	*	3	2	*	CONT
05D	3	1	0	1	1	060	3	2	2	CJP, F3 = 1?
05E	3	0	0	1	1	060	3	2	*	БП на адресу 060
05F	E	1	0	1	1	*	3	2	0	CONT
060	3	1	0	1	1	067	3	2	2	CJP, F3 = 1?
061	3	1	0	1	1	064	3	2	2	CJP, F3 = 1?
062	E	*	0	1	0	*	3	2	*	CONT
063	E	*	0	1	1	*	3	2	*	CONT
064	3	1	0	1	1	069	3	2	3	CJP, OVR _{HH} = 1?
065	E	*	0	1	1	*	3	2	*	CONT
066	A	0	0	1	0	*	3	2	*	CRTN (вихід з п/п)
067	3	1	0	1	1	062	3	2	2	CJP, F3 = 1?
068	3	0	0	1	0	064	3	2	*	БП на адресу 064
069	E	*	0	1	1	*	1	2	*	ABOCT 1 (зупинка МОП)

Команда MUL_F (RR)

050	E	*	0	1	1	*	3	2	*	CONT
051	1	0	0	1	0	055	3	2	*	CJS, виклик п/п MULT
052	E	*	0	1	1	*	3	2	*	CONT
053	0	*	0	1	0	*	3	2	*	JZ, БП на адресу 0

Команда JMP_F (RS)

080	3	1	0	1	1	082	3	2	8	CJP, TZ = 1? Да → 082
081	0	*	0	1	0	*	3	2	*	JZ, БП на адресу 0
082	3	0	0	1	1	081	3	2	*	БП на адресу 081

2.6. Розрахунок параметрів системи синхронізації МОП

Розглянемо алгоритм розрахунку окремих часових інтервалів тактових сигналів для конкретної архітектури МОП, яка наведена на рис. 21. Припустимо, що МОП синхронізується з використанням сигналів G1 і G2. При цьому припустимо, що реєстри МОП виконані на DC - тригерах зі спрацьовуванням по позитивному фронту ($n \rightarrow v$) тактового сигналу (мікросхема K155TM2 [27]), а ЛАК - на основі мікросхеми K155IE7 [12]. Синхросигнал G1 будемо подавати на С - входи РМК та в БОД (РЗП, PQ, PA і PB), сигнал G2 - на С- входи реєстрів РК, РВ, РАП, РОП, РВХД, ЛАК, а також ФАМ ВУ4 (PC). Припустимо також, що оперативна пам'ять являє собою масив запам'ятовуючих комірок (МЗК).

Звичайний цикл роботи МОП (якщо не ураховувати роботи оперативної пам'яті) починається з надходженням (з виходу генератора G) сигналів синхронізації G1 і G2, після чого інформація передається від одних компонентів пристрою до інших. Припустимо, що зміна сигналів синхронізації відбувається згідно із рис. 22. Тоді для періоду синхросигналів такту роботи системи можуть бути записані співвідношення:

$$T_1 \geq t_{12} + t_{23} + t_{34} + t_{45}; \quad (17)$$

$$T_2 \geq t_{34} + t_{45} + t_{56} + t_{67}. \quad (18)$$

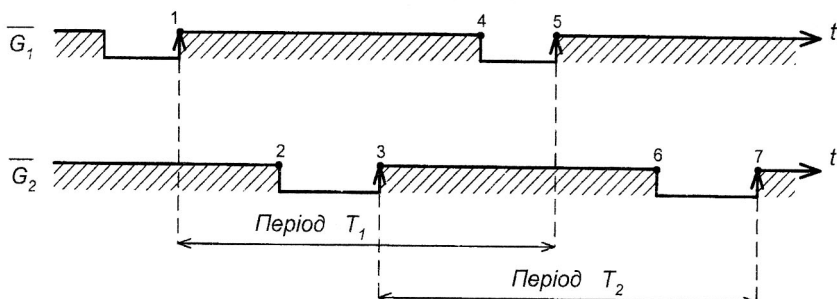


Рисунок 22. Часові діаграми тактових сигналів ($T_1 = T_2$)

Спочатку розглянемо розрахунок окремих інтервалів в такту з урахуванням інформаційного тракту МОП (рис. 23). В схемі тактовий сигнал G1 подається на РМК та БОД (із 7-ї секції BC1) і розповсюджується шляхами, які вказані пунктирними лініями. Згідно з цим після спрацьовування РМК (по позитивному фронту сигналу G1) на виході дешифратора керуючих сигналів (DC) із затримкою $t_{\text{ЗАТ}}^{\text{DC}} = 20$ нс з'являються керуючі сигнали U_i , які потім подаються у відповідні блоки МОП. Після спрацьовування мультиплексорів MX1 і MX2 (із затримкою $t_{\text{ЗАТ}}^{\text{MX}} = 20$ нс) на входах адресних портів БОД з'являються коди AA і AB поточної мікрокоманди, які разом із інструкцією I та переносом на вході C0_BC1 (від РМК) надходять далі у блок обробки даних. Після цього БОД виконує задану арифметичну або логічну операцію. У "тіршому" випадку

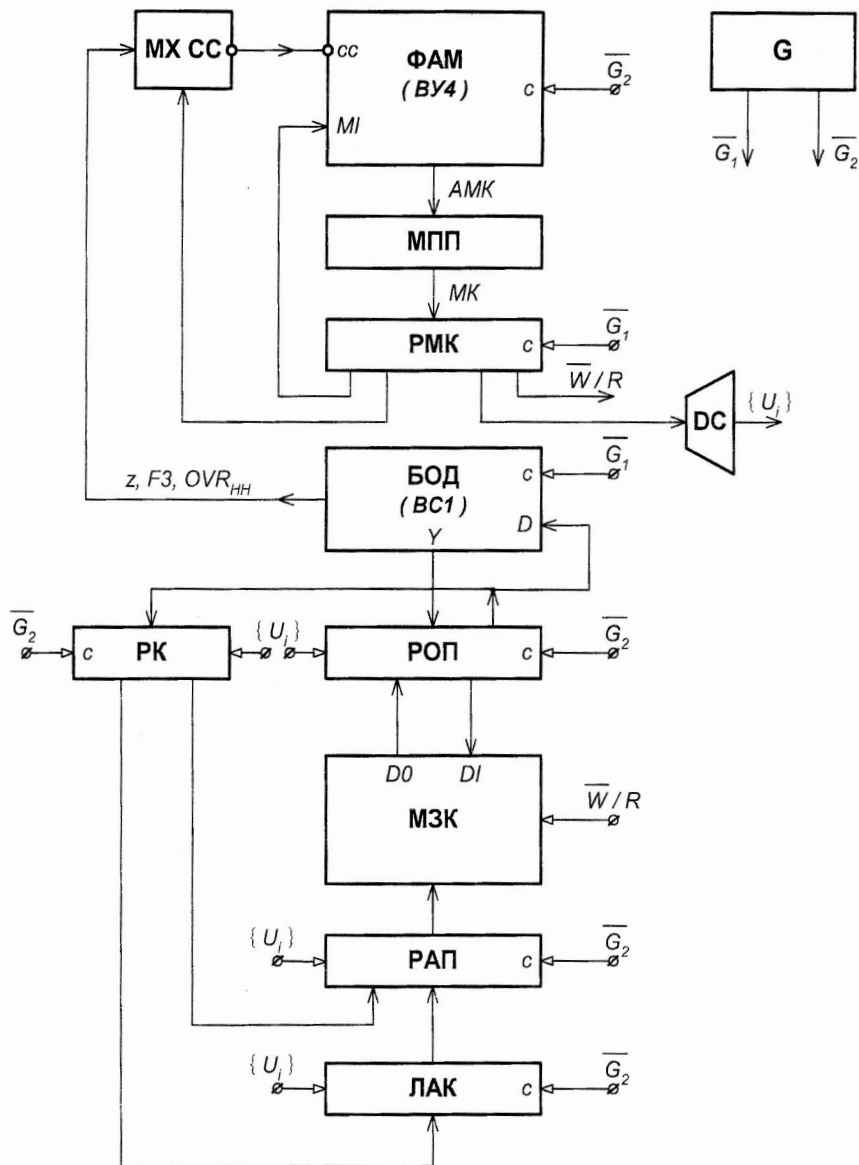


Рисунок 21 . Архітектура МОП

(при виконанні арифметичних операцій) на виводі переносу (ВивП) із затримкою $t_{3AT}^{БОД}$ з'являється сигнал переносу. Далі цей сигнал переносу подається на мультиплексор ознак (MXCC) і після його спрацьовування (із затримкою $t_{3AT}^{MXCC} = 20$ нс) з'являється на виводі (СС) мультиплексора, який потім подається на одноіменний вхід ФАМ (ВУ4).

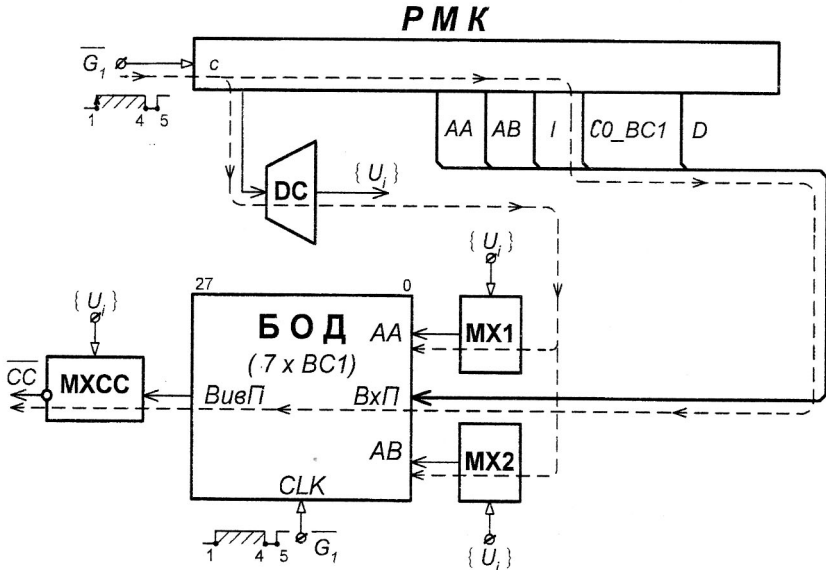


Рисунок 23. Схема розповсюдження керуючих сигналів в інформаційному тракті МОП

Таким чином, для надійного спрацьовування інформаційного тракту МОП інтервал t_{12} необхідно розраховувати слідуючим чином:

$$t_{12}^* \geq t_{3AT}^{PMK} + t_{3AT}^{DC} + t_{3AT}^{MX} + t_{3AT}^{БОД} + t_{3AT}^{MXCC}, \quad (19)$$

де t_{3AT}^{PMK} - час затримки РМК (25 нс).

Надалі розглянемо алгоритм розрахунку параметрів сигналу синхронізації однієї МПС БОД, який розповсюджується згідно з схемою, яка наведена на рис. 24. Згідно з цією схемою у "тіршому" випадку для надійного спрацьовування реєстрів - приймачів BC1, тривалість активного рівня (■) тактового сигналу (G_1) та керуючих кодів I, AA і AB мусить бути не менше:

$$t_{BC1} \geq \max [(t_{KLC}^{BC1} + t_{3AT}^{AJP} + t_{3AT}^{3CBF}), (t_{KLC}^{BC1} + t_{3AT}^{AJP} + t_{3AT}^{MX} + t_{3AT}^{PQ})]; \quad (20)$$

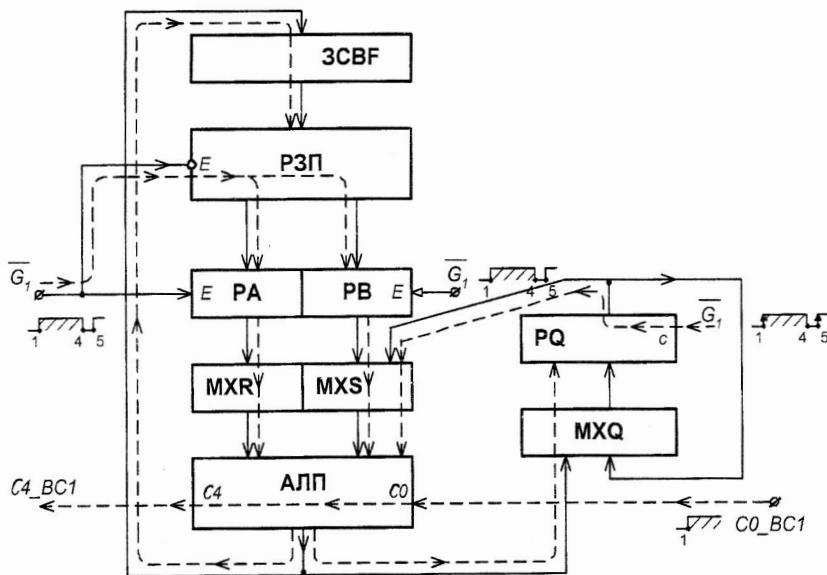


Рисунок 24. Схема для розрахунку системи синхронізації у БОД, який використовує одну секцію ВС1

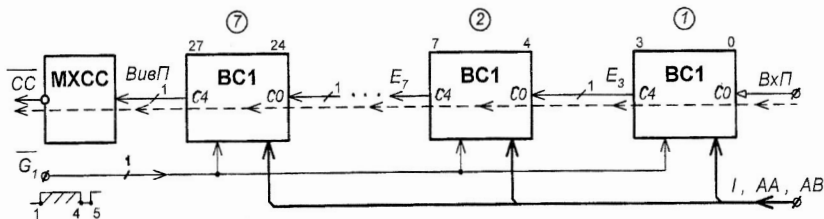


Рисунок 25. Схема поширення переносу в БОД із семи секцій

$$t_{KLC}^{BC1} \geq t_{34}^{PZP} + t_{3AP}^{PA} + t_{3AT}^{MXR},$$

де t_{3AT}^{PQ} - затримка реєстра PQ (25 нс), який спрацьовує по фронту ($H \rightarrow B$) \bar{G}_1 ;
 t_{34}^{PZP} - час вибірки інформації з реєстрової пам'яті BC1 (20 нс) ;

t_{3AT}^{PA} - затримка прозорих реєстрів PA і PB BC1 (10 нс) ;

$t_{3AT}^{MX} = t_{3AT}^{MXQ} (t_{3AT}^{MXR})$ - затримка мультиплексорів MXQ і MXR (MXS) відповідно (10 нс) ;

t_{3AT}^{ZCBF} - затримка КЛС зсувача ZCBF (10 нс) ;

t_{3AT}^{ALP} - затримка КЛС АЛП BC1 (40 нс).

При розрахунку синхронізації у БОД із декількох секцій BC1 (рис. 25) необхідно ураховувати час поширення переносу при виконанні арифметичних операцій. Розглянемо розрахунок часу поширення переносу, якщо в БОД не використовується схема прискореного переносу K1804BP1. У молодшій МПС перенос E_3 на виході схеми затримується відносно керуючих кодів I, AA і AB та переносу на вході BxII на час

$$t_{E3} = t_{KLC}^{BC1} + t_{3AT}^{ALP} = 40 + 40 = 80 \text{ нс.}$$

В інших секціях БОД (середніх і старшої) затримка переносу на виході відносно переносу на вході, очевидно, значно менше і включає затримку тільки в схемі АЛП BC1, так як КЛС BC1 всіх МПС БОД спрацьовують паралельно. В зв'язку з цим, наприклад, для другої секції затримка переносу E_7 відносно переносу E_3 складає $t_{E7} = t_{3AT}^{ALP2} = 40$ нс.

У зв'язку з цим, у БОД, наприклад, із семи секцій BC1 затримка суми і вивідного переносу BxII відносно початку активного рівня керуючих сигналів (I, AA, AB і BxII) буде дорівнювати:

$$t_{3AT}^{BOD7} = t_{E3} + 6 * t_{3AT}^{ALP} = 80 + 6 * 40 = 320 \text{ нс.} \quad (21)$$

З урахуванням (19) і (21) одержуємо $t_{12} \geq 405$ нс.

Для надійного запису інформації у реєстри BC1 часовий інтервал t_{45} необхідно вибирати за умови:

$$t_{45} \geq \max [t_{PDK}^{PMK}, t_{PDK}^{PQ}, t_{3AP}^{PZP}], \quad (22)$$

де t_{PDK}^{PMK} , t_{PDK}^{PQ} - час підготовки (тривалість неактивного рівня синхросигналу \bar{G}_1 \bar{U}) DC - тригерів PMK і PQ відповідно (20 нс) ;

t_{3AP}^{PZP} - час запису (тривалість неактивного рівня синхросигналу \bar{G}_1 \bar{U}) інформації у прозорі D - тригери реєстрової пам'яті BC1 (20 нс).

Остаточно одержимо $t_{45} \geq 20$ нс.

Розглянемо далі розрахунок параметрів синхросигналу для керуючого тракту МОП (рис. 26), тобто формувача адреси мікрокоманд (ФАМ). При цьому припустимо, що на

ФАМ, який побудовано на базі ВУ4, надходить тактовий сигнал $\overline{G_2}$. Як відомо, лічильник адреси мікрокоманд ВУ4 складається із схеми інкрементора (INC) та реєстра (PC) на DC – тригерах із спрацьовуванням по позитивному фронту тактового сигналу (в напівмому випадку G_2). Тому для надійного спрацьовування DC – тригерів PC часові інтервали t_{23} і t_{23} необхідно обирати за умови:

$$t_{12} \geq t_{MX}^{BY4} + t_{INC}^{BY4}; \quad (23)$$

$$t_{23} \geq t_{PC}^{PC}, \quad (24)$$

де t_{MX}^{BY4} , t_{INC}^{BY4} - вітповідно затримки MX та INC ВУ4 (25 нс і 25 нс);

t_{PC}^{PC} - час підготовки до спрацьовування DC – тригерів PC (20 нс).

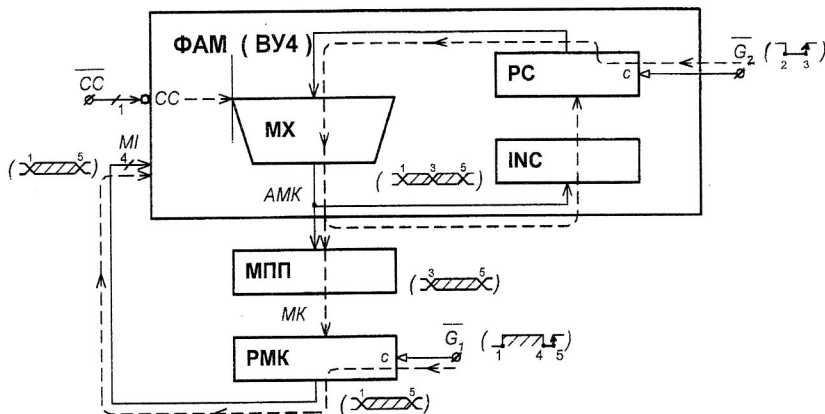


Рисунок 26. Схема поширення сигналів у КЛС керуючого тракту МОП (ФАМ)

До початку підготовки РМК (t_4) на його інформаційних видах необхідно забезпечити сталі значення сигнальів, тому інтервал t_{34} необхідно вибирати згідно з нерівності:

$$t_{34} \geq t_{3AT}^{PC} + t_{MX}^{BY4} + t_{3AT}^{MPP}, \quad (25)$$

де t_{3AT}^{PC} - затримка реєстра PC ВУ4, який спрацьовує після t_3 (25 нс);

t_{MX}^{BY4} - затримка MX ВУ4 (25 нс);

t_{3AT}^{MPP} - затримка мікропрограмної пам'яті (70 нс).

Остаточно одержимо $t_{34} \geq 120$ нс.

Аналогічно розраховуються інтервали t_{56} та t_{67} , тому $t_{56} = t_{12}$ і $t_{67} = t_{23}$.

Деякі мікрокоманди формують керуючі сигнали зчитування або запису інформації в основну (оперативну) пам'ять МОП. У разі роботи ОП при розрахунку часових параметрів тактових сигналів G_1 і G_2 треба враховувати затримки часу ОП, РАП, РОП та ЛАК. Припустимо, що звернення до оперативній пам'яті у режимі запису даних виконується в МОП за два такта роботи (две мікрокоманди). Це обумовлено тим, що пересилка даних та адреси (вітповідно в РОП та РАП) відбувається під дією різних керуючих сигналів (наприклад, U_{14} і U_{11}), які формує дешифратор керуючих сигналів (DC) у різних тактах. Тому під дією однієї мікрокоманди адреса із зовнішнього джерела даних (ЛАК, РК або БОД) записується в РАП, а під дією другої мікрокоманди дані пересилуються в РОП та формується керуючий сигнал дозволу запису в пам'ять ($W/R = 0$), після чого масив запам'ятувочих комірок (МЗК) виконує операцію запису (після спрацьовування РОП) в інтервалі t_{34} .

Операція зчитування даних із пам'яті відбувається після пересилки адреси в РАП та подачі сигналу зчитування даних ($W/R = 1$). До t_4 (до початку режиму підготовки РМК) на виході DO пам'яті мусить сформуватися стабільні дані, які можуть бути далі записуватися в БОД, РК, РБ або РВХД.

Слід також відзначити наступне. Якщо час спрацьовування основної пам'яті ($t_{3AT}^{OP} = 500$ нс) відомо на етапі розробки функціональних та принципових схем МОП, його можливо враховувати при розрахунку довжини тактових інтервалів. При такому підході можливо вилучити із ГСА МОП умовні версії перевірки сигналу завершення роботи ОП (E_{OP}) і значно скоротити розміри таблиці кодування МПП. Крім того, запис команд в РК та обчислення виконавчої адреси операнду в цьому разі виконуються в МОП двома різними мікрокомандами і тільки потім (під дією керуючих сигналів) ця адреса пересилається в РАП.

При цих умовах (з позиції обрамлення ОП) тривалість окремих інтервалів сигналів синхронізації необхідно вибирати згідно з нерівностями:

$$t_{12} \geq \max [t_{12}^*, (t_{3AT}^{PMK} + t_{3AT}^{DC} + t_{3AT}^{KLC-LAK}), (t_{3AT}^{PMK} + t_{3AT}^{DC} + t_{3AT}^{KLC-RAP})]; \quad (26)$$

$$t_{23} = t_{67} \geq \max [t_{pidr}^{ROP}, t_{pidr}^{RAP}, t_{pidr}^{POP}, t_{pidr}^{LAK}, t_{pidr}^{PK}]; \quad (27)$$

$$t_{34} = t_{78} \geq \max [(t_{3AT}^{RAP}, t_{3AT}^{POP}) + t_{3AT}^{OP}, (t_{3AT}^{PC} + t_{MX}^{BY4} + t_{3AT}^{MPP})], \quad (28)$$

де t_{pidr}^{LAK} , t_{pidr}^{ROP} , t_{pidr}^{RAP} , t_{pidr}^{LAK} , t_{pidr}^{PK} - час підготовки спрацьовування відповідно ЛАК, РОП, РАП, ЛАК і РК (20 нс);

t_{3AT}^{LAK} , t_{3AT}^{ROP} , t_{3AT}^{RAP} - затримки відповідно ЛАК, РОП і РАП (25 нс);

$t_{3AT}^{KLC-RAP}$ - затримка КЛС на вході РАП (20 нс);

$t_{3AT}^{KLC-LAK}$ - затримка КЛС на вході ЛАК (20 нс);

$t_{\text{ЗАТ}}^{\text{ОП}}$ - затримка роботи запам'ятувального масиву оперативної пам'яті (500 нс);

Остаточно одержимо $t_{12} \geq 65 \text{ нс}$; $t_{23} \geq 65 \text{ нс}$; $t_{34} \geq 525 \text{ нс}$; $t_{45} \geq 20 \text{ нс}$.

Базовим елементом системи синхронізації МОП є генератор тактових сигналів (ГТС), в якості якого можливо використати мікросхему K1804ГГ1 [6,10] або схему, структура якої наведена на рис. 27. До її складу входять задавальний генератор (ЗГ) з частотою $f = 10 \text{ МГц}$ (період імпульсів $T_G = 100\text{нс}$), розподільник тактових сигналів (РТС) та посилювач – формувач сигналів (ПФС). Як задавальний генератор можливо використати функціональну схему, яка наведена на рис. 28. Для підвищення стабільноти частоти схема побудована з використанням кварцевого резонатора BQ з резонансною частотою 10 МГц [37, 43].

ПФС повинен мати необхідний коефіцієнт розгалуження та стрімкі фронти тактових сигналів. В якості ПФС можуть бути рекомендовані мікросхеми серій K531 [29] або KP1533 [28].

На етапі синтезу РТС послідовність тактових сигналів \bar{G}_1 і \bar{G}_2 доцільно представити у вигляді елементарних імпульсів та пауз, тривалість яких визначається періодом T_G (рис. 29). Далі в схемі РТС для формування тактових сигналів можливо використати автомат з пам'ятью (наприклад, Мілі [30]).

2.7. VHDL – проект симуляції МОП

Мета створення VHDL – проекту МОП полягає в опануванні методів проєктування вузлів та блоків комп’ютерної системи з використанням мови апаратного опису VHDL і виконанні симуляції МОП з наступним тестуванням його роботи на функціональному рівні. VHDL – модель МОП сумісно з інструментальним засобом Active – HDL фірми Aldec забезпечує можливість швидкої модифікації архітектури МОП і дозволяє оперативно виявити та усунути хиби проєктування [17 – 21].

Модель мікропрограмної пам'яті (МПП) та реєстра мікрокоманд (РМК) будемо описувати як пакет (package) та розміщувати його в окремому файлі MPP_FILE (додаток Д4). В подальшому такий підхід дозволить використати цей пакет при опису інших блоків МОП [20]. До пакету MPPPack підключено опис файлу MPP_FILE, з використанням якого відбувається відкриття текстового файлу MPP_content.txt. Останній містить склад МПП (таблиці кодування табл. 34 і табл. 35) у слідуючому вигляді (приведено фрагмент для перших трьох мікрокоманд):

/-- Адр. I86 I53 I20 AA AB C0 OE D MI CCE OEH RLD C0 DA Stop UDC W/R UCC S12 S34

/-- Вибірка команди із ОП

000	1	4	2	0	0	0	0	0000000	3	1	0	1	1	002	3	00	2	9	0	0
001	1	4	2	0	0	0	0	0000000	3	1	0	1	1	00E	3	00	2	5	0	0
002	1	4	2	0	0	0	0	0000000	E	1	0	1	1	000	3	01	1	0	0	0

Для роботи з текстовими файлами доцільно користуватися пакетом TEXTIO, який знаходиться у стандартній бібліотеці IEEE [18]. Цей пакет має опис типів та процедур, які потрібні при виконанні операцій зчитування або операцій запису у текстові файли об’єктів різноманітних типів.

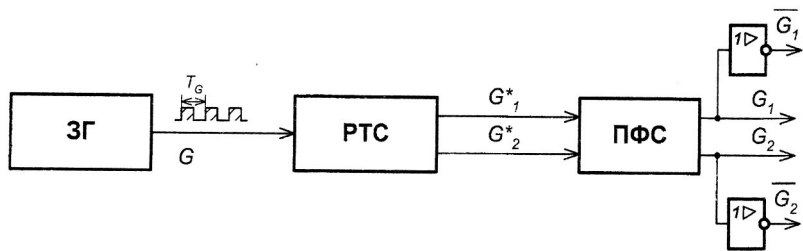


Рисунок 27. Структура генератора тактових сигналів

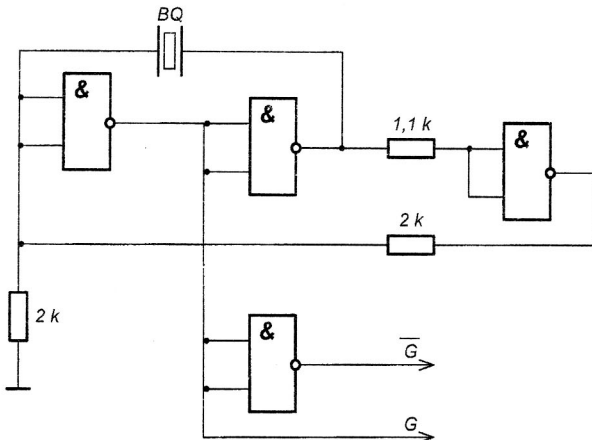


Рисунок 28. Функціональна схема задавального генератора

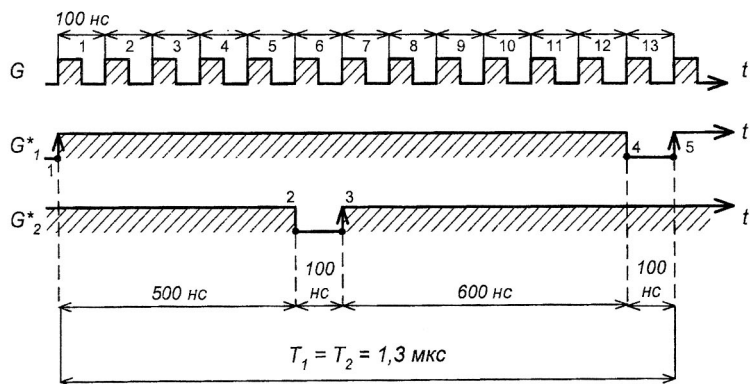


Рисунок 29. Діаграма роботи розподільника тактових сигналів

VHDL - модель МПП наведена в додатку Д4. Спочатку симуляції (змінна now = 0 ps) відбувається ініціалізація МПП шляхом зчитування полів кожної мікрокоманди із окремого рядка файлу MPP_FILE в вітповідний рядок МПП. При виконанні операції зчитування використовується функція read_mode пакету TEXTIO [18]. Для перетворення строкового представлення (у 16 – й системі числення) у двійковий тип даних використовується процедура - функція HstrToBV. Функція SkipSpaces цього пакету використовується на етапі зчитування текстового файлу для відпомлення пропусків, які розділяють окремі поля мікрокоманди. В подальшому у процесі симуляції МОП при кожній зміні адреси (змінна ADDR) в МПП кожного разу обирається відповідна комірка, яка містить актуальну мікрокоманду.

VHDL – модель МПП має наступні порти входу та виходу:

- ADDR - беззнакове ціле число, яке задає номер (адресу) мікрокоманди;
- MPP_CELL – мікрокоманда вітповідного формату (табл. 32).

Беззнакова ціла константа MPP_size задає розрядність адреси МПП.

Підкresлемо, що аналогічним чином відбувається ініціалізація основної оперативної пам'яті МОП, у яку із зовнішнього текстового файлу OP_content.txt пересилиться код поточної програми пристроя.

Після зчитування МК із комірки МПП мікрокоманда позитивним фронтом тактового сигналу G₁ (CLK_PMK) записується у реєстр мікрокоманд (PMK). В додатку Д4 наведено інтерфейс портів сигналів PMK та проведено опис його архітектури з використанням функції чутливості до вітповідного тактового сигналу. Інтерфейс PMK також має у своєму складі опис окремих полів мікрокоманди.

Після спрацювання PMK вітповідні керуючі сигнали надходять в окремі блоки МОП і далі ініціалізують ті чи інші мікрооперації.

Додаток Д4 також вміщує фрагмент VHDL – моделей МПС BC1 та БОД із 7 секцій BC1. VHDL – модель секції BC1 складається із окремих компонентів (АЛП, MXR, MXS, РЗП, реєстра PQ та інших блоків), які взаємодіють з використанням вітповідних процесів з задавальним складом функцій чутливості сигналів.

VHDL - модель БОД із 7 секцій BC1 побудована з використанням структурної технології VHDL, яка дозволяє проводити поєднання окремих підсистем [17]. При цьому використовується оператор мови VHDL port map (). Такий підхід дозволяє створювати копії інтерфейсів окремих МПС BC1, які потім убудуються в тіло вітповідної архітектури. При цьому карта портів дає опис зв'язків інтерфейсу компонента з сигналами архітектури. Можливо також окремий порт не поєднувати з іншими компонентами, тоді його треба описати ключовим словом open.

Аналогічним чином створені фрагменти моделі ФАМ на основі ВІС ВУ4 (Д4). У якості компонентів VHDL – моделі ФАМ використовані стек, реєстр PC, інкрементор INC, мультиплексор адреси MX, реєстр адреси /лічильник PA / CT.

У додатку наведено також фрагмент VHDL – моделі схеми МОП в цілому, яка поєднує усі блоки та елементи пристроя. Створені також опис сигналів та окремих компонентів МОП, та вказана їх взаємодія.

Після завершення опису VHDL – моделі МОП виконується компіляція. Для цього в системі Active – HDL є вітповідна команда Compile All із меню Design. На етапі компіляції можливо усунути можливі синтаксичні помилки. Для проведення симуляції роботи МОП необхідно виконати наступні дії:

- вибрати модель поточної схеми МОП (MOP.vhd) в Design Browser;
- створити нову часову діаграму (позначка з ім'ям New WaveForm);
- вибрати MOP.vhd на вкладку Structural в Design Browser, додати у діаграму порти тактових сигналів G₁ і G₂ та задати для кожного з них генератор (Clock) (з параметрами часових інтервалів, які були розраховані раніше) в якості стимуляторів;

- створити новий склад сигналів (позначка New List);
- додати у цей лист усі порти VHDL-моделі МОП;
- провести симуляцію з використанням команд Initialize Simulation та Run For із меню Simulation;
- вибрати опцію Collapse Details з меню List та зберегти список сигналів симуляції у окремому файлі, наприклад, з ім'ям L1_MOP.lst.

Результати симуляції можливо спостерігати безпосередньо на екрані монітору як часову діаграму сигналів, або (після відкриття файла L1_MOP.lst) як відповідну таблицю. Приклад початкового етапу симуляції МОП наведено у табл. 36. На рис. 30 наведено приклад часових діаграм МОП при обчисленні виконавчої адреси Авик2 (мікрокоманди з адресами 45, 46, 4A, 4C та 47).

Початковий етап симуляції МОП

Таблиця 36.

Time	Delta	U/C1b	U/C2b	UBY4/Y	UBY4/M	UBY4/RCC	ULAK/ADR	ULAK/LAK	UBCD/DY	BC	UBOB/AA	UBOD/AB
0.000	2	1	1	ZZZ	U	U	UUUU	U	UUUUUU	U	U	U
1.000 ns	1	1	1	ZZZ	U	U	UUUU	U	0000000	U	U	U
2.000 ns	0	1	1	ZZZ	U	0	UUUU	U	0000000	0	0	0
5.000 ns	0	1	1	ZZZ	U	0	00000	0	0000000	0	0	0
10.000 ns	1	1	1	UUU	U	0	00000	0	0000000	0	0	0
12.000 ns	0	1	1	UUU	0	0	00000	0	0000000	0	0	0
32.000 ns	1	1	1	000	0	0	00000	0	0000000	0	0	0
55.000 ns	0	1	1	000	0	0	00040	0	0000000	0	0	0
400.000 ns	2	0	1	000	0	0	00040	0	0000000	0	0	0
412.000 ns	0	0	1	000	3	1	00040	0	0000000	0	0	0
500.000 ns	2	1	1	000	3	1	00040	0	0000000	0	0	0
600.000 ns	2	1	0	000	3	1	00040	0	0000000	0	0	0
700.000 ns	2	1	1	000	3	1	00040	0	0000000	0	0	0
730.000 ns	1	1	1	001	3	1	00040	0	0000000	0	0	0
800.000 ns	2	0	1	001	3	1	00040	0	0000000	0	0	0
900.000 ns	2	1	1	001	3	1	00040	0	0000000	0	0	0
1.000 us	2	1	0	001	3	1	00040	0	0000000	0	0	0
1.100 us	2	1	1	001	3	1	00040	0	0000000	0	0	0
1.130 us	1	1	1	002	3	1	00040	0	0000000	0	0	0
1.200 us	2	0	1	002	3	1	00040	0	0000000	0	0	0
1.212 us	0	0	1	002	E	1	00040	0	0000000	0	0	0
1.300 us	2	1	1	002	E	1	00040	0	0000000	0	0	0
1.400 us	2	1	0	002	E	1	00040	0	0000000	0	0	0
1.500 us	2	1	1	002	E	1	00040	0	0000000	0	0	0
1.530 us	1	1	1	003	E	1	00040	0	0000000	0	0	0
1.600 us	2	0	1	003	E	1	00040	0	0000000	0	0	0
1.612 us	0	0	1	003	3	1	00040	0	0000000	0	0	0
1.700 us	2	1	1	003	3	1	00040	0	0000000	0	0	0

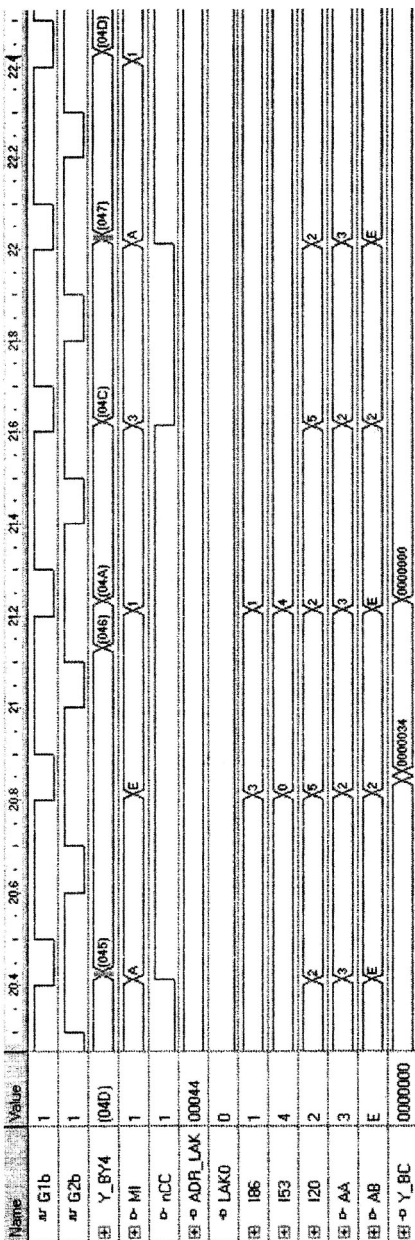


Рисунок 30. Часова діаграма симуляції МОП при обчисленні виконавчої адреси А_{вик2}

ДОДАТОК

д1. ПРИКЛАД ТИТУЛЬНОГО ЛИСТА ПОЯСНЮВАЛЬНОЇ ЗАПИСКИ

МІНІСТЕРСТВО ОСВІТИ І НАУКИ УКРАЇНИ

ДОНЕЦЬКИЙ НАЦІОНАЛЬНИЙ ТЕХНІЧНИЙ УНІВЕРСИТЕТ

ПОЯСНЮВАЛЬНА ЗАПИСКА

з курсового проекту за курсом "Архітектура комп'ютерів"
на тему: "Мікропроцесорний обчислювальний пристрій для реалізації
задаваної формулі"

Розробив студент групи КС – 03а

_____ Іванов І. П.

Керівник проекту _____ Петров І. В.

Завідуючий кафедрою ЕОМ _____ Сідоров К. М.

Донецьк ДНТУ 2005

Д2. ПРИКЛАД ТЕХНІЧНОГО ЗАВДАННЯ

ЗАТВЕРДЖУЮ
Зав. кафедрою ЕОМ
Святний В. А.
14 лютого 2005 р.

ТЕХНІЧНЕ ЗАВДАННЯ

Студентові групи КС – 03б Воскобойнику Сергію Вікторовичу
Термін здачі курсового проекту 20 травня 2005 року.

Початкові дані

Варіант N = 30;

Архітектура МОП: А – 5;

Розрахункова формула:

$$Y_0 = \begin{cases} A + \sum_{i=1}^{N+5} x_i - B; & \text{коли } A \geq B \\ A + B, & \text{коли } A < B \end{cases}$$

Тип процесорних елементів: K1804BC1, K1804BV1;

Алгоритм множення: “A”;

Метод множення: Лемана;

Формат операндів з рухомою комою:

±	1	P	7	1	M	10
---	---	---	---	---	---	----

P – зображення порядку у коді з негативним нулем (НН);

M - зображення мантиси у додатковому коді (ДК);

Формат команди F2:

КОП	ПЗ	ПІ	ПА	А		
↓ 4	↓ 1	↓ 2	↓ 2	↓ 7		

Модуль контроля арифметичних операцій: mod 3;

Параметри оперативної пам'яті МОП: 32К комірок по 32 розряду кожна;

Тип мікросхем RAM: K589РУ1;

Типи мікросхем обрамлення: K155TM2, K155ИМ1, K155ИЕ6, K155ЛА3;

Спосіб синхронізації реєстра ознак: керована;

Спосіб синхронізації реєстрових схем МОП: однофазна;

Розділи пояснювальної записки, що підлягають розробленню:

- аналіз розрахункової формули та приклади її виконання у заданому форматі команди та RAM;
- розробка функціональних та принципових схем МОП;
- розробка ГСА вибірки із RAM та виконання команд МОП;

- розробка мікропрограм та таблиць кодування;
- розробка VHDL – проекту МОП (цей пункт виконується факультативно);
- розробка часових діаграм роботи МОП та розрахунок системи синхронізації;

Зміст графічної частини курсового проекту:

- схема електрична функціональна МОП (формат А1);
- схема електрична принципова основних вузлів МОП (формат А1);
- ГСА виконання команд МОП.

Графік виконання курсового проекту:

- 1 тиждень - аналіз задаваної функції і розробка її реалізації в указаному форматі команди;
- 2 тиждень - розробка функціональних схем фрагментів МОП;
- 3 тиждень - розробка ГСА реалізації мінімального набору команд МОП;
- 4 тиждень - розробка VHDL – проекту МОП (виконується факультативно);
- 5 – 6 тиждень - розробка мікропрограм виконання арифметичних операцій;
- 7 – 8 тиждень - розробка функціональних та принципових схем вузлів МОП;
- 9 тиждень - розробка таблиць кодування;
- 10 – 11 тиждень - розробка часових діаграм МОП та розрахунок системи синхронізації;
- 12 – 13 тиждень - оформлення пояснювальної записки;
- 14 – 15 тиждень - оформлення графічної частини проекту;
- 16 тиждень - захист проекту.

Дата видачі завдання: 14 лютого 2005 року.

Керівник проекту _____ Петров І. С.

Студент _____ Воскобойник С. В.

ДЗ. СКЛАД ПОЯСНЮВАЛЬНОЇ ЗАПИСКИ

Титульний ліст

Технічне завдання (подписане та затверджене)

Реферат (з великим штампом)

Анотація (на англійської мові)

Зміст (з указівкою номерів сторінок)

ВСТУП (одна сторінка)

1. АНАЛІЗ РОЗРАХУНКОВОЇ ФОРМУЛИ ТА ПРИКЛАДИ ЇЇ ВИКОНАННЯ У ЗАДАНОМУ ФОРМАТІ КОМАНДИ

2. РОЗРОБКА ФРАГМЕНТИВ ФУНКЦІОНАЛЬНОЇ СХЕМИ МОП

2.1. Блок обробки даних (БОД)

2.2. Блок мікропрограмного керування (БМК)

2.3. Блок контроля за модулем три арифметичних операцій

2.4. Блок схем обладнання МОП (регистри, лічильники і інші вузли)

3. РОЗРОБКА ГСА РЕАЛІЗАЦІЇ КОМАНД МОП

3.1. Вибірка команди із ОП та її декодування

3.2. Вибірка операндів

3.3. Виконання арифметичних операцій з контролем за модулем три

3.3.1. Операція підсумування з рухомою комою

3.3.2. Операція множення з рухомою комою

4.* РОЗРОБКА VHDL - ПРОЕКТУ МОП ТА ЙОГО СИМУЛЯЦІЯ

(цей пункт проекта виконується факультативно)

5. РОЗРОБКА ПРОГРАМНОГО ЗАБЕСПЕЧЕННЯ МОП

5.1. Формат мікрокоманди

5.2. Таблиці кодування МПП (повинна відповідати розробленої ГСА) окремо для БОД і БМК

5.3. Таблиці кодування для ОП та ППА

6. РОЗРОБКА ФУНКЦІОНАЛЬНИХ ТА ПРИНЦИПОВИХ СХЕМ МОП

6.1. Блок обробки даних

6.2. Блок оперативній пам'яті

6.3. Блок мікропрограмної пам'яті

6.4. Блок синхронізації

6.5. Блок електронного обладнання

7. ПОБУДОВА ЧАСОВИХ ДІАГРАМ РОБОТИ МОП ТА РОЗРАХУНОК ПАРАМЕТРІВ СИНХРОНІЗАЦІЇ

ЗАКЛЮЧЕННЯ

Список використованих джерел

ДОДАТКИ

P. S. До записки необхідно додати архів файлів проекту з результатами симуляції.

Проекти, що не відповідають чинним вимогам, до розгляду не приймаються.

Д4. Файл VHDL – проекту симуляції МОП (фрагмент)

-- Модель МПП (фрагмент)

```
library IEEE;
use IEEE.std_logic_1164.all;
use STD.TEXTIO.all;
use IEEE.STD_LOGIC_TEXTIO.all;
Package MPPPack is
    -- декларування файлу вмісту МПП
    file MPP_FILE: TEXT open read_mode is "MPP_content.txt"; -- завдання ім'я текстового файлу МПП
    type MPP_TYPE is record
        I86 : bit_vector(2 downto 0); -- коди полів інструкції BC1
        I53 : bit_vector(2 downto 0);
        I20 : bit_vector(2 downto 0);
        AA : bit_vector(3 downto 0); -- коди адресних портів BC1
        AB : bit_vector(3 downto 0);
        C0_BC: bit; -- вхідний перенос BC1
        nOE: bit; -- вхід для керування станом виходу Y BC1
        D : std_logic_vector(27 downto 0); -- зовнішня шина даних BC1
        -----
        MI : bit_vector(3 downto 0); -- код інструкції BY4
        CCE : bit; -- сигнал дозволу перевірки умови на вході CC#
        nOEY: bit; -- сигнал дозволу зчитування адреси BY4
        nRLD : bit; -- сигнал дозволу запису інформації в РА / СТ
        C0_BY: bit; -- сигнал інкрементації лічильника мікрокоманд BY4
        DA : std_logic_vector(11 downto 0); -- зовнішня шина адреси BY4
        -----
        Stop_RMK : bit_vector(1 downto 0); -- входи дешифратору сигналів зупинки МОП
        U_DC : std_logic_vector(4 downto 0); -- входи дешифратору керуючих сигналів
        nW_R : bit_vector(1 downto 0); -- сигнал завдання режиму роботи ОП
        UMX_CC : std_logic_vector(3 downto 0); -- сигнал для виканання дешифратора MXCC
        S12 : std_logic_vector(2 downto 0); -- управлюючий вхід мультиплексора MX1
        S34 : std_logic_vector(1 downto 0); -- управлюючий вхід мультиплексора MX2
    end record;
    type MPParr is array(NATURAL range <>) of MPP_TYPE;
end MPPPack;
```

-- Опис мікропрограмної пам'яті

```
library IEEE;
use IEEE.STD_LOGIC_1164.all;
use IEEE.STD_LOGIC_UNSIGNED.all;
use IEEE.NUMERIC_STD.all;
use MPPPack.all;
use STD.TEXTIO.all;

entity MPP is
    generic (MPP_size: natural := 12; delay: time := 70 ns); -- інтерфейс МПП
    port (
        ADDR : in std_logic_vector;
        MPP_CELL : out MPP_TYPE
    );
end MPP;

architecture MPP of MPP is
begin
    process is
        variable MPP: MPParr (0 to 2**MPP_size-1);
        variable FLINE: LINE;
        variable STRDWORD: string (4 downto 1);
    begin
```

```

variable $TRBYTE: string (1 to 1);
variable STRWORD: string (2 downto 1);
variable STR3WORD: string (3 downto 1);
variable SPACE: character;
variable index: natural;

-- процедура пропуску усіх пробілів у рядку

procedure SkipSpaces (variable ILINE: inout LINE) is
variable C : character;
begin
loop
    C := ILINE (ILINE, all' LEFT);
    if (C = ' ') then read (ILINE,C);
    else exit;
    end if;
end loop;
end SkipSpaces;

function bit_vec2int (A : BIT_VECTOR) return integer is
variable RESULT: integer := 0;
variable TMP : integer := 1;
begin
if A' length = 0 then return RESULT;
end if;
for i in A' reverse_range loop
if a (i) = '1'
then RESULT := RESULT + TMP;
end if;
TMP := TMP * 2;
end loop;
return RESULT;
end;
-- Функція перетворення 16 - е число у двійковий тип (фрагмент)

procedure HStrToBV (variable Str : in string;
                     variable Vec : out bit_vector) is
begin
for N in Str' range loop
case Str (N) is
when '0' => Vec ((N-1) * 4+3 downto (N-1) * 4) := "0000";
when '1' => Vec ((N-1) * 4+3 downto (N-1) * 4) := "0001";
when '2' => Vec ((N-1) * 4+3 downto (N-1) * 4) := "0010";
when '3' => Vec ((N-1) * 4+3 downto (N-1) * 4) := "0011";
when '4' => Vec ((N-1) * 4+3 downto (N-1) * 4) := "0100";
when '5' => Vec ((N-1) * 4+3 downto (N-1) * 4) := "0101";
when '6' => Vec ((N-1) * 4+3 downto (N-1) * 4) := "0110";
when '7' => Vec ((N-1) * 4+3 downto (N-1) * 4) := "0111";
when '8' => Vec ((N-1) * 4+3 downto (N-1) * 4) := "1000";
when '9' => Vec ((N-1) * 4+3 downto (N-1) * 4) := "1001";
when 'A' => Vec ((N-1) * 4+3 downto (N-1) * 4) := "1010";
when 'B' => Vec ((N-1) * 4+3 downto (N-1) * 4) := "1011";
when 'C' => Vec ((N-1) * 4+3 downto (N-1) * 4) := "1100";
when 'D' => Vec ((N-1) * 4+3 downto (N-1) * 4) := "1101";
when 'E' => Vec ((N-1) * 4+3 downto (N-1) * 4) := "1110";
when 'F' => Vec ((N-1) * 4+3 downto (N-1) * 4) := "1111";
when others => Vec ((N-1) * 4+3 downto (N-1) * 4) := "0000";
report "error reading from hex string: "& Str severity warning;
end case;
end loop;
end HStrToBV;

variable buff2 : bit_vector (7 downto 0);
variable buff3 : bit_vector (11 downto 0);
variable buff : bit_vector (3 downto 0);
begin
if (Now = 0 ps) then -- читання у момент часу 0 (до початку виконання програми)
index := 0; -- індекс комірки пам'яті
while not (endfile (MPP_FILE) or index = (2**MPP_size-1)) loop
readline (MPP_FILE, FLINE); -- читання рядка
-- аналіз рядка на нульову довжину та на коментарі
if (FLINE' length /= 0 and FLINE (1) /= '/') then
SkipSpaces (FLINE);

```

```

        Read (FLINE, STR3WORD);
        HStrToBV (STR3WORD, buff3);
        SkipSpaces (FLINE);
        Index := bit_vec2int (buff3);
        read (FLINE, STRBYTE);           -- читання поля I86
        HStrToBV (STRBYTE, buff);
        MPP (index).I86 := buff (2 downto 0);
        SkipSpaces (FLINE);           -- пропустити пробіли

    end if;
    end loop;
else
    index := bit_vec2int (to_bitvector (ADDR));
    MPP_CELL <= MPP (index) after delay;          -- читання комірки пам'яті

    end if;
    wait on ADDR;
end process;
end MPP;

```

-- Модель РМК (фрагмент)

```

library IEEE;
use IEEE.STD_LOGIC_1164.all;
use MPPpack.all;
use OutFilePack.all;
use STD.TEXTIO.all;
use IEEE.STD_LOGIC_TEXTIO.all;

entity RMK is                                     -- інтерфейс РМК
    generic (delay: time := 30 ns);
    port(
        MK :      in MPP_Type;
        nOE :     in std_logic;
        CLK_RMK : in std_logic;
        I86 :      out std_logic_vector (2 downto 0);
        I53 :      out std_logic_vector (2 downto 0);
        I20 :      out std_logic_vector (2 downto 0);
        AA_RMK :   out std_logic_vector (3 downto 0);

        S34 :      out std_logic_vector (1 downto 0);
    );
end RMK;

```

```

architecture RMK of RMK is
begin
process (CLK_RMK) is
variable FLINE: LINE;
variable MKbuf: MPP_TYPE;
begin
if CLR_RMK = '1' and CLK_RMK'event then
    I86 <= to_stdlogicvector (MKbuf.I86) after delay;
    I53 <= to_stdlogicvector (MKbuf.I53) after delay;
    I20 <= to_stdlogicvector (MKbuf.I20) after delay;
    AA_RMK <= to_stdlogicvector (MKbuf.AA) after delay;
    . . .
    S34 <= MKbuf.S34 after delay;
end process;

```

end RMK;
-- Модель BC1 (фрагмент)

```

library IEEE;
use IEEE.STD_LOGIC_1164.all;
use ieee.std_logic_unsigned.all;
use IEEE.std_logic_arith.all;
entity ALU is
    generic (delay: time= 40 ns);           -- завдання затримки
    port(
        C0: in std_logic;                  -- вхідний перенос BC1
        R: in bit_VECTOR(3 downto 0);       -- операнд 1 на вході АЛП
        S: in bit_VECTOR(3 downto 0);       -- операнд 2 на вході АЛП
        I: in std_logic_vector(2 downto 0); -- інструкція мікрокоманди BC1
        C4: out std_logic;                -- вивідний перенос BC1
        OVR: out bit;                   -- познака переполнення АЛП
        Z: out bit;                     -- познака нульового результату
        F3: out bit;                   -- познака знаку
        F: out bit_VECTOR(3 downto 0)    -- вихідна шина АЛП
    );
end ALU;

-----
architecture ALU of ALU is           -- опис архітектури АЛП
begin
    process (C0, R, S, I)
        variable C: std_logic := '0';
        variable R1, S1: bit_vector(3 downto 0);
        variable buf1, Rbuf1, Sbuf1: std_logic_vector(3 downto 0);
        variable buf, Rbuf, Sbuf: std_logic_vector(4 downto 0); -- тимчасові буфери
    begin
        C := C0;
        -- в молодші 4 разряди буферів запам'ятовуються значення R і S
        Rbuf := '0' & to_stdlogicvector(R); Sbuf := '0' & to_stdlogicvector(S);
        R1 := R; R1(3) := '0'; S1 := S; S1(3) := '0';
        -- в молодші 3 разряди буферів запам'ятовуються значення R1 і S1
        Rbuf1 := to_stdlogicvector(R1); Sbuf1 := to_stdlogicvector(S1);
        buf := "00000"; buf1 := "0000";
        case I is
            when "000" => buf := Rbuf + Sbuf + C; buf1 := Rbuf1 + Sbuf1 + C;
            when "001" => Rbuf := '1' & to_stdlogicvector(R);
                buf := Sbuf + not (Rbuf) + C; R1(3) := '1';
                Rbuf1 := to_stdlogicvector(R1);
                buf1 := Sbuf1 + not (Rbuf1) + C;
            when "010" => Sbuf := '1' & to_stdlogicvector(S);
                buf := Rbuf + not (Sbuf) + C; S1(3) := '1';
                Sbuf1 := to_stdlogicvector(S1);
                buf1 := Rbuf1 + not (Sbuf1) + C;
            when "011" => buf := Rbuf or Sbuf; buf1 := Rbuf1 or Sbuf1;
            . . .
            when others => null;
        end case;
        C4 <= buf(4) after delay;           -- формування сигналів ознак АЛП BC1
        F3 <= to_bit(buf(3)) after delay;
        OVR <= to_bit(buf(4) xor buf1(3));
        F <= transport to_bitvector(buf(3 downto 0)) after delay;
        Z <= not to_bit(buf(0) or buf(1) or buf(2) or buf(3)) after delay;
    end process;
end ALU;
```

-- Модель однієї секції BC1

```
library IEEE;
use IEEE.STD_LOGIC_1164.all;

entity BC1 is
    port(
        PQ0 : inout std_logic; PF0 : inout std_logic; PQ3 : inout std_logic; PF3 : inout std_logic;
        CLK : in std_logic; OE : in std_logic; C0 : in std_logic; I : in std_logic_vector(8 downto 0);
        AB : in std_logic_vector(3 downto 0); AA : in std_logic_vector(3 downto 0);
        D : in std_logic_vector(3 downto 0); OVR : out bit; F3: out bit;
        Z : out bit; C4: out std_logic; Y: out std_logic_VECTOR(3 downto 0));
    );
end BC1;

architecture BC1 of BC1 is

component ALU is
    generic (delay : time := 40 ns); -- АЛП BC1
    port(
        C0 : in std_logic; R: in bit_VECTOR(3 downto 0); S : in bit_VECTOR(3 downto 0);
        I : in std_logic_vector(2 downto 0); C4 : out std_logic; OVR : out bit;
        Z : out bit; F3 : out bit; F: out bit_VECTOR(3 downto 0)
    );
end component;

component MXR is
    generic ( delay : time := 10 ns); -- мультиплексор на вході R АЛП BC1
    port(
        I: in std_logic_vector(2 downto 0); PA: in bit_VECTOR(3 downto 0);
        D: in std_logic_vector(3 downto 0); R: out bit_VECTOR(3 downto 0)
    );
end component;

-- Опис сигналів BC1

signal QD , FC, A, B, PA, PB, R, S, Q, F, CQ, Yout :bit_vector (3 downto 0);
begin
    -- реєстри РЗП
    P1 : RON port map (CLK=>CLK, AA=>AA, AB=>AB, FC=>FC,
    I => I(8 downto 6), A=>A, B=>B );
    -- реєстри PA та PB
    P21 : RG_A port map (D=>A, CLK=>CLK, RG_A=>PA);
    P22 : RG_B port map (D=>B, CLK=>CLK, RG_B=>PB);
    -- мультиплексори MXR та MXS
    P31 : MXR port map (I=>I(2 downto 0), PA=>PA, D=>D, R=>R );
    P32 : MXS port map (I=>I(2 downto 0), PA=>PA, PB=>PB, PQ=>Q, S => S);
    -- АЛП
    P4 : ALU port map (C0=>C0, R=>R, S => S, I=>I (5 downto 3),
    C4=>C4, OVR = >OVR, Z =>Z, F3=>F3, P =>P, G=>G, F =>F );
    -- мультиплексор MXY
    P5 : MXY port map (I=>I (8 downto 6), PA=>PA, F=>F, Yout => Yout );
    -- шинний формувач
    P61 : SF port map (OE=>OE, Yout=>Yout, Y=>Y);
    -- зсувачі 3CBF і 3CBQ
    P62 : SDVF port map (F=>F, I=>I(8 downto 6), FC=>FC, PF0 => PF0, PF3 => PF3);
    P7 : SDVQ port map (PQ=>Q, I=>I(8 downto 6), CQ=>CQ, PQ0 => PQ0, PQ3 => PQ3);
    -- мультиплексор MXQ
    P8 : MXQ port map (I=>I(8 downto 6), CQ=>CQ, F =>F, QD => QD);
```

```
-- periexpr PQ
P9 : PQ port map (QD => QD, I => I(8 downto 6), CLK => CLK, RQ => Q);
end BC1;
```

-- Модель БОД із 7 секцій BC1 (фрагмент)

```
library IEEE;
use IEEE.std_logic_1164.all;
entity BOD is
port(
    CLK : in std_logic;
    D_BC1 : in std_logic_vector (27 downto 0);
    I : in std_logic_vector (8 downto 0);
    AA : in std_logic_vector (3 downto 0);
    AB : in std_logic_vector (3 downto 0);
    C0 : in std_logic;
    OE : in std_logic;
    Y_BC : out std_logic_VECTOR (27 downto 0);
    OVRmn : out std_logic;
    Z : out std_logic
);
end BOD;
```

architecture BOD of BOD is

```
component BC1 is
port(
    PQ0 : inout std_logic; PF0 : inout std_logic; PQ3 : inout std_logic; PF3 : inout std_logic;
    CLK : in std_logic; OE : in std_logic; C0 : in std_logic; I : in std_logic_vector (8 downto 0);
    AB : in std_logic_vector (3 downto 0); AA : in std_logic_vector (3 downto 0);
    D : in std_logic_vector (3 downto 0); OVR : out bit;
    F3 : out bit; Z : out bit; C4 : out std_logic;
    Y : out std_logic_VECTOR (3 downto 0)
);
begin
```

end component ; -- перелік сигналів БОД

```
signal PF3_0, PQ3_0, PQ3_1, PF3_1, PF3_2, PQ3_2, PF3_3, PQ3_3, PQ3_4, PF3_4, PF3_5, PQ3_5 : std_logic;
signal C4_0, C4_1, C4_2, C4_3, C4_4, C4_5, C4_6, C4_7, b3 : std_logic;
signal Z_0, Z_1, Z_2, Z_3, Z_4, Z_5, Z_6, b1, b2 : bit; -- вивідні переноси із секцій BC1
signal PQ0, PQ3, PF0, PF3 : std_logic;
```

begin

```
-- нульова секція BC1
MPS0 : BC1 port map (PQ0 => PQ0, PF0 => PF0, PQ3 => PQ3_0, PF3 => PF3_0, CLK => CLK,
OE => OE, C0 => C0, I => I, AB => AB, AA => AA, D => D_BC1 (3 downto 0),
OVR => open, F3 => open, Z => Z_0, C4 => C4_0, Y => Y_BC (3 downto 0));
```

```
-- перша секція BC1
MPS1 : BC1 port map (PQ0 => PQ3_0, PF0 => PF3_0, PQ3 => PQ3_1, PF3 => PF3_1, CLK => CLK,
OE => OE, C0 => C4_0, I => I, AB => AB, AA => AA, D => D_BC1(7 downto 4),
OVR => open, F3 => open, Z => Z_1, C4 => C4_1, Y => Y_BC (7 downto 4));
```

```
-- шоста секція BC1
MPS6 : BC1 port map (PQ0 => PQ3_5, PF0 => PF3_5, PQ3 => PQ3, PF3 => PF3, CLK => CLK,
```

```
OE => OE, C0 => C4_5, I => I, AB => AB, AA => AA, D => D_BC1 (27 downto 24),
OVR => b1, F3 => b2, Z => Z_6, C4 => b3, Y => Y_BC (27 downto 24));
```

```
Z <= to_stdulogic (Z_0 and Z_1 and Z_2 and Z_3 and Z_4 and Z_5 and Z_6);
```

```
PQ0 <= '0' when I(7) = '0' else '1'; PF0 <= '0' when I(7) = '0' else '1';
```

```
PQ3 <= PF0 when I(7) = '1' else '0'; PF3 <= to_stdulogic (b1 xor b2) when I(7) = '1' else '0';
```

```
OVRmn <= to_stdulogic (not (b2 xor to_bit(b3)));
```

```
end BOD;
```

-- Модель ФАМ на базі ВУ4 (фрагмент)

```
library IEEE;
use IEEE.STD_LOGIC_1164.all;
use ieee.std_logic_unsigned.all;
use IEEE.std_logic_arith.all;

library IEEE;
use IEEE.std_logic_1164.all;
use IEEE.std_logic_unsigned.all;
use IEEE.std_logic_arith.all;
entity Incrementor is
    port(
        X : in std_logic_vector (11 downto 0);           Y: out std_logic_vector (11 downto 0);
        C0: in std_logic
    );
end Incrementor;

architecture Incrementor of Incrementor is
procedure Inc_stdlogvect (variable Vect: inout std_logic_vector) is
variable int: integer := 0;
begin
    int := conv_integer (Vect); int := int + 1;
    Vect := CONV_STD_LOGIC_VECTOR (int, Vect' LENGTH);
end;
begin
process (C0, X)
variable tempvect : std_logic_vector (11 downto 0);
begin
    if (C0 = '1') then tempvect := X; Inc_stdlogvect (tempvect); Y <= tempvect after 25 ns;
    else tempvect := X; Y <= tempvect after 25 ns;
    end if;
end process;
end Incrementor;
```

-- Модель перистра PC

```
library IEEE;
use IEEE.std_logic_1164.all;
use IEEE.std_logic_unsigned.all;
use IEEE.std_logic_arith.all;
entity RGCMK is
    generic (delay: time := 25 ns);
    port(
        CLK : in std_logic; DY: in std_logic_vector (11 downto 0);
        PC : out std_logic_vector (11 downto 0)
    );
end RGCMK;

architecture RGCMK of RGCMK is
begin
process (CLK) is
variable temp: std_logic_vector (11 downto 0);
begin
    if (Now = 0 ns) then PC <= "000000000000"; end if;
```

```

    .if (CLK' event and CLK = '1' and not (Now = 0 ns)) then PC <= DY after delay; end if;
end process;
end RGCMK;

```

-- Модель мультиплексора MX

```

library IEEE;
use IEEE.STD_LOGIC_1164.all;
entity MX is
    generic (delay : time := 25 ns);
    port(
        D : in std_logic_vector (11 downto 0); R : in std_logic_vector (11 downto 0);
        F : in std_logic_vector (11 downto 0); M : in std_logic_vector (11 downto 0);
        PLM : in bit VECTOR (2 downto 0);           -- вхідна шина з ПЛІМ
        DY : out std_logic_vector (11 downto 0)      -- вихідна шина
    );
end MX;

```

```

architecture MX of MX is
begin
    process (PLM, D, F, R, M)
    variable DY_buf: std_logic_vector (11 downto 0);
    begin
        if (PLM = "000") then DY_buf := D; elsif (PLM = "001") then DY_buf := R;
        elsif (PLM = "010") then DY_buf := F; elsif (PLM = "011") then DY_buf := M;
        else DY_buf := "000000000000"; end if;
        DY <= DY_buf after delay;
    end process;
end MX;

```

-- Модель BIC BY4 (фрагмент)

```

library IEEE;
use IEEE.STD_LOGIC_1164.all;

entity BY4 is
    port(
        D : in std_logic_vector (11 downto 0); CLK : in std_logic; RLD : in std_logic;
        C0 : in std_logic; nCC : in std_logic; CCE : in std_logic; OE : in std_logic;
        MI : in std_logic_vector (3 downto 0); nPE : out std_logic; nME : out std_logic;
        NVE : out bit; NFL : out bit; Y : out std_logic_vector (11 downto 0)
    );
end BY4;

```

```

architecture BY4 of BY4 is
component Incrementor is
    port(
        X : in std_logic_vector (11 downto 0); Y : out std_logic_vector (11 downto 0); C0 : in std_logic
    );
end component;

```

```

component RGCMK is
    generic (delay : time := 25 ns);
    port(
        CLK : in std_logic;     DY : in std_logic_vector (11 downto 0);
        PC : out std_logic_vector (11 downto 0)
    );
end component;

```

```

component MX is
    generic (delay : time := 25 ns);
    port(
        D : in std_logic_vector (11 downto 0); R : in std_logic_vector (11 downto 0);
        F : in std_logic_vector (11 downto 0); M : in std_logic_vector(11 downto 0);
        PLM : in bit_VECTOR (2 downto 0); DY : out std_logic_vector (11 downto 0)
    );
end component;
-----
signal Z, U : bit;
signal CT, PC, DY, ST, Inc_ADR : std_logic_vector ( 11 downto 0 );
signal S : bit_vector ( 2 downto 0 );

begin
    -- реєстр / лічильник PA / CT
    P1: RGA port map ( CLK => CLK, RLD => RLD, U => U, MI => MI, D => D, CT => CT );
    -- детектор нуля
    P2: FPN port map ( CT => CT, Z => Z );
    -- стек
    P3: STACKBY4 port map ( CLK => CLK, U => U, Z => Z, MI => MI , PC => PC , NFL => open,
        -NFL => NFL, ST => ST );
    -- лічильник мікрокоманд
    P4: RGCMK port map ( CLK => CLK, DY => Inc_ADR, PC => PC );
    -- мультиплексор
    P5: MX port map ( D => D, R => CT, F => ST, M => PC, PLM => S, DY => DY );
    -- ПЛМ
    P6: PLM port map ( NCC => NCC, CCE => CCE, Z => Z, MI => MI,
        NPE => NPE, NME => NME, NVE => open, -- NVE => NVE, PLM => S, U => U );
    -- шинний формувач
    P7: BF port map ( OE => OE, DY => DY, Y => Y );
    -- інкрементатор
    P8: Incrementor port map ( X => DY, Y => Inc_ADR, C0 => C0 );
end BY4;
-----
```

-- Модель усієї схеми МОП (фрагмент)

```

library IEEE;
use IEEE.STD.LOGIC_1164.all;
use MPPPack.all;

entity Shema is
    port(
        Pusk_PK : in std_logic; Stop : in std_logic; Stop_PK : in std_logic
    );
end Shema;
-----
architecture Shema of Shema is
    -- перелік компонентів схеми МОП
    component BOD is
        -- БОД із 7 секцій BC1
        port(
            CLK : in std_logic; D_BC1 : in std_logic_vector (27 downto 0);
            I : in std_logic_vector ( 8 downto 0 );
            AA : in std_logic_vector(3 downto 0); AB : in std_logic_vector ( 3 downto 0 );
            C0 : in std_logic; OE : in std_logic; Y_BC : out std_logic_VECTOR (27 downto 0);
            OVRnn : out std_logic; Z : out std_logic
        );
    end component;
    -----
    component BY4 is
        -- мікросхема BY4
        port(
            D : in std_logic_vector (11 downto 0); CLK : in std_logic; RLD : in std_logic;
            ...  


```

```

C0 : in std_logic; nCC : in std_logic; CCE : in std_logic; OE : in std_logic;
MI : in std_logic_vector (3 downto 0); nPE : out std_logic; nME : out std_logic;
NVE : out bit; NFL : out bit; Y : out std_logic_vector (11 downto 0)
);
end component;

component MPP is -- мікропрограмна пам'ять (МПП)
port(
    ADDR : in std_logic_vector; MPP_CELL : out MPP_TYPE
);
end component;

component RMK is -- реєстр мікрокоманд (PMK)
port(
    MK : in MPP_Type; nOE : in std_logic; CLK_RMK : in std_logic;
    I86 : out std_logic_vector (2 downto 0); I53 : out std_logic_vector (2 downto 0);
    I20 : out std_logic_vector (2 downto 0); AA_RMK : out std_logic_vector (3 downto 0);
    AB_RMK : out std_logic_vector (3 downto 0); C0_BC : out std_logic; nOE_BC : out std_logic;
    D_BC : out std_logic_vector (27 downto 0); CCE : out std_logic; nOEY : out std_logic;
    nRLD : out std_logic; C0_BY : out std_logic; DA_RMK : out std_logic_vector (11 downto 0);
    MI_RMK : out std_logic_vector (3 downto 0); STOP_RMK : out std_logic_vector (1 downto 0);
    U_DC : out std_logic_vector (4 downto 0); nW_R : out std_logic_vector(1 downto 0);
    UMX_CC : out std_logic_vector (3 downto 0); S12 : out std_logic_vector (2 downto 0);
    S34 : out std_logic_vector (1 downto 0)
);
end component;

component BS is -- блок синхронізації (БС)
port(
    Work : in std_logic; G1 ,G2 : out std_logic
);
end component;

signal MPP_REC: MPP_TYPE; signal KOP_RK : std_logic_vector (7 downto 0); -- передлк сигналів
signal RON1_RK : std_logic_vector (3 downto 0); signal S2_RK : std_logic_vector (19 downto 0);

begin
    -- реєстр команд (РК)
    URK: RK port map (CLK_RK => G1b, RB => RB_RB, ROP0 => ROP0_OP ,ROP1 => ROP1_OP,
    ROP => ROP_OP, U2 => U2, U3 => U3, U4 => U4, U5 => U5, U26 => U26, U27 => U27,
    KOP => KOP_RK, RON1 => RON1_RK, S2 => S2_RK, B2 => B2_RK, D2 => D2_RK, X2 => X2_RK,
    RON2 => RON2_RK, RK30 => RK30_RK);
    -- буферний реєстр (РБ)
    UBR: RB port map (CLK_RB => G1b, ROP0 => ROP0_OP, U3 => U3, U5 => U5,
    RB => RB_RB, RB15 => RB15_RB);

    -- тригер ознаки переходу (T_JMP)
    UT_JMP: T_JMP port map (u22 => u22, u24 => u24, Q_TJ => Q_TJ);

    Y_BC1 <= Y_BC (19 DOWNTO 0); G1b <= not (G1); --U23 <= U8 or U9;
    G2b <= not (G2);
end Schema;

```

Список рекомендованої літератури

1. Методичні вказівки до лабораторного практикуму з курсу “Архітектура комп’ютерів” для студентів спеціальностей “Комп’ютерні системи і мережі” та “Системне програмування” / Укл. Лапко В. В., Губарь Ю. В. - Донецьк: Видавництво ДНТУ, 2005.- 120 с.
2. Методичні вказівки до лабораторного практикуму PC&EWB з курсу “Цифрові ЕОМ” для студентів спеціальностей “Комп’ютерні системи і мережі” та “Системне програмування” / Укл. Лапко В. В., Губарь Ю. В. - Донецьк: Видавництво ДНТУ, 2004.- 78 с.
3. Проектирование цифровых систем на комплектах микропрограммируемых БИС / С.С. Булгаков, В. М. Мещеряков, В.В. Новоселов, Л.А. Шумилов; Под ред. В. Г. Колесникова – М.: Радио и связь, 1984. – 240 с.
4. Жабин В. И. Однокристальные и микропрограммируемые ЭВМ. – К.: Диалектика, 1995. – 116 с.
5. Мик Дж., Брик Дж. Проектирование микропроцессорных устройств с разрядно – модульной организацией – М.: Мир, 1984. – т.1, т.2.
6. Хвощ С.Т., Варлинский Н.Н., Попов Е.А. Микропроцессоры и микроЭВМ в системах автоматического управления – Л.: Машиностроение, 1988. – 640 с.
7. Справочник по устройствам цифровой обработки информации / Н.А. Виноградов, В. Н. Яковлев, В.В. Воскресенский и др. – К.: Техника, 1988. - 415 с.
8. Каган Б. М. Электронные вычислительные машины и системы. 3 – е изд – е. - М.: Энергоатомиздат, 1991.
9. Путинцев Н. Д. Аппаратный контроль управляющих цифровых вычислительных машин. – М.: Советское радио, 1966.
10. Микропроцессоры и микропроцессорные комплекты интегральных микросхем: Справочник: В 2 – х томах. / Под ред. В. А. Шахнова. – М.: Радио и связь, 1988.
11. Аналоговые и цифровые интегральные микросхемы / Под ред. С. В. Якубовского. - М.: Радио и связь, 1984. – 432 с.
12. Шило В. Л. Популярные цифровые микросхемы: Справочник. - М.: Радио и связь, 1988. – 352 с.
13. Полупроводниковые БИС запоминающих устройств. Справочник / В. В. Баранов, Н. В. Бекин, А. Ю. Гордонов и др.; Под ред. А. Ю. Гордонова и Ю. Н. Дьякова – М.: Радио и связь, 1987. – 360 с.
14. Большие интегральные схемы запоминающих устройств: Справочник / А. Ю . Гордонов, Н. В. Бекин, В. В. Цыркин и др.; Под ред. А. Ю. Гордонова и Ю. Н. Дьякова – М.: Радио и связь, 1990. – 288 с.
15. Полупроводниковые запоминающие устройства и их применение / В. П. Андреев, В.В. Баранов, Н. В. Бекин и др.; Под ред. А. Ю. Гордонова – М.: Радио и связь, 1981. – 344 с.
16. Микропроцессорный комплект K1810: Структура, программирование, применение: Справочная книга / Ю. М. Казаринов, В. Н. Номоканов, Г. С. Подклетнов, В. Ф. Филипов; Под ред. Ю. М. Казаринова – М.: Высшая школа, 1990. – 269 с.
17. Семенец В. В., Хаханова И. В., Хаханов В. И. Проектирование цифровых систем с использованием языка VHDL: Учебное пособие – Харьков: ХНУРЭ, 2003. – 492 с.
18. Суворова Е. А., Шейнин Ю. Е. Проектирование цифровых систем на VHDL – СПб.: БХВ – Петербург, 2003. – 576 с.
19. Сергиенко А. М. VHDL для проектирования вычислительных устройств –К.: ЧП “Корнейчук”, ООО “ТИД ДС”, 2003. – 208 с.
20. Поляков А. К. Языки VHDL и VERILOG в проектировании цифровой аппаратуры – М.: СОЛОН–Пресс, 2003. – 320 с.
21. Кондратенко Ю П., Сидоренко С. А., Підопригора Д. М. Поведінковий синтез цифрових пристрій у середовищі Active – HDL: Навчальний посібник / За ред. Ю. П. Кондратенка - Миколаєв: Вид – во МФ НА УКМА, 2002. – 116 с.

22. Бибило' П. Н. Синтез логических схем с использованием языка VHDL – М.: - СОЛОН – Р, 2002. – 384 с.
23. Армстронг Дж. Р. Моделирование цифровых систем на языке VHDL: Пер. с англ. – М.: Мир, 1992. – 175 с.
24. Ящиков А. С. VHDL - язык описания аппаратных средств: Учебное пособие / Под ред. акад. В. С. Бурцева, акад. Б. С. Митина – М.: Изд – во МАТИ – РГТУ “ЛАТМЭС”, 1998. – 119 с.
25. Карлащук В.И. Электронная лаборатория на ПВМ РС. Программа Electronics Workbench и ее применение. – 2-е изд. – М.: “Солон-Р”, 2001. – 726 с.
26. Прикладная теория цифровых автоматов / К.Г. Самофалов, А.М. Романкевич, В.Н. Валуйский и др. – К.: Вища шк. Головное изд – во, 1987. – 375 с.
27. Микросхемы серии К155, КМ155. Краткие технические данные – Северодонецк: НПО “Импульс”, 1988.
28. Логические ИС КР1533, КР1554. Справочник. В двух частях / И.И. Петровский, А.В. Прибыльский, А.А. Троян, В.С. Чувелев – М.: ТОО “Бином”, 1993.
29. Микросхемы серии К531. Краткие технические данные – Северодонецк: НПО “Импульс”, 1981.
30. Майоров С.А., Новиков Г.И. Принципы организации цифровых машин. – Л.: Машиностроение, 1974. – 432 с.
31. Применение интегральных микросхем в электронной вычислительной технике: Справочник / Р.В. Данилов, С.А. Ельцова, Ю.П. Иванов и др.; Под ред. Б.Н. Файзулаева, Б.В. Тарабрина. – М.: Радио и связь, 1987. - 384 с.
32. Усатенко С. Т., Каченюк Т. К., Терехова М. В. Выполнение электрических схем по ЕСКД: Справочник. – М.: Издательство стандартов, 1989. - 325 с.
33. Единая система программной документации. ГОСТ 19.001 – 77. ГОСТ 19.003 – 80. ГОСТ 19.004 – 80. ГОСТ 19.005 – 85. ГОСТ 19.101 – 77. ГОСТ 19.102 – 77. ГОСТ 19.103 – 77. ГОСТ 19.104 – 78. ГОСТ 19.402 - 78. ГОСТ 19.503 – 79. ГОСТ 19.504 – 79.
34. Башков Е. А., Губарь Ю. В. Микропроцессорные системы повышенного быстродействия с микропрограммным управлением. – Донецк: ДПИ, 1983. – 112 с.
35. Методичні вказівки і завдання до лабораторних робіт за курсом “Проектування запам’ятовуючих пристройів” / Укл. Губарь Ю. В. – Донецьк: ДонДТУ, 2001. -- 64 с.
36. Самофалов К. Г., Корнейчук В. И., Тарасенко В. П. Цифровые ЭВМ: Теория и проектирование / Под общ. ред. К. Г. Самофалова - 3 – е изд., перер. и доп. – К.: Выща школа. Головное изд – во, 1989. – 424 с.
37. Угрюмов Е. П. Цифровая схемотехника. – СПб.: БХВ – Петербург, 2004. – 528 с.
38. Карцев М. А., Брик В. А. Вычислительные системы и синхронная арифметика. – М.: Радио и связь, 1981. – 360 с.
39. Карцев М. А. Арифметика цифровых машин. М.: Наука, 1969.
40. Потемкин И. И. Функциональные узлы цифровой автоматики. – М.: Радио и связь, 1985. – 210 с.
41. Каламбеков Б. А. Микропроцессоры и их применение в системах передачи и обработки сигналов. – М.: Радио и связь, 1988. – 415 с.
42. Корнейчук В. И., Тарасенко В. П. Основы компьютерной арифметики. – К.: 2002. 175 с.
43. Уэйкерли Д. Проектирование цифровых устройств. В 2 – х томах. – М.: Постмаркет, 2002. – 544 с. (1 т.); 528 с. (2 т.).

ЗМІСТ

ПЕРЕЛІК ОСНОВНИХ СКОРОЧЕНЬ.....	3
ВСТУП.....	4
1. ЗАВДАННЯ НА ПРОЕКТУВАННЯ.....	5
1.1. Мета курсового проектування.....	5
1.2. Початкові дані на проектування.....	5
1.3. Загальні вимоги до курсового проекту.....	13
2. ОСНОВНІ ЕТАПИ ПРОЕКТУВАННЯ.....	14
2.1. Структура складу операцій процесора. Адресація операндів в командах.....	14
2.2. Аналіз задаваної формули та приклади її обчислення.....	19
2.3. Розробка функціональної схеми МОП.....	24
2.3.1. Початковий запуск і зупинка МОП.....	24
2.3.2. Зчитування з ОП команди та декодування команди.....	26
2.3.3. Команда пересилки даних (MOV).....	28
2.3.4. Команди обробки даних (DEC_I, JMP_Z, MUL_F).....	37
2.3.5. Розробка блоку контролю(перевірки) операції множення з рухомою кошовою.....	43
2.4. Розробка функціональних та принципових схем блоків МОП.....	46
2.5. Розробка таблиць кодування.....	47
2.6. Розрахунок параметрів системи синхронізації МОП.....	55
2.7. VHDL – проект симуляції МОП.....	62
ДОДАТОК.....	67
Д1. Приклад титульного листа пояснівальної записки.....	67
Д2. Приклад технічного завдання.....	68
Д3. Склад пояснівальної записки.....	70
Д4. Файл VHDL – проекту симуляції МОП (фрагмент).....	71
Список рекомендованої літератури.....	81

